



(12)

BẢN MÔ TẢ SÁNG CHẾ THUỘC BẰNG ĐỘC QUYỀN SÁNG CHẾ

(19)

CỘNG HÒA XÃ HỘI CHỦ NGHĨA VIỆT NAM (VN)
CỤC SỞ HỮU TRÍ TUỆ

(11)



1-0045007

(51)^{2020.01}

A61K 35/76; C12N 5/10; C12N 15/864; (13) B
A61P 27/02; C12N 15/67

(21) 1-2020-04595

(22) 14/01/2019

(86) PCT/GB2019/050092 14/01/2019

(87) WO 2019/138250 18/07/2019

(30) 1800546.2 12/01/2018 GB

(45) 25/04/2025 445

(43) 26/04/2021 397A

(71) UCL Business Ltd (GB)

The Network Building, 97 Tottenham Court Road, London, Greater London W1T
4TP, United Kingdom

(72) ALI, Robin (GB); MATSUKI, Takaaki (JP); SMITH, Alexander (NL);
GEORGIADIS, Anastasios (GR).

(74) Công ty TNHH Tầm nhìn và Liên danh (VISION & ASSOCIATES CO.LTD.)

(54) ĐƠN VỊ KIỂM SOÁT PHIÊN MÃ (TCU), VECTƠ CHÚA NÓ VÀ DUỢC PHẨM
CHÚA VECTƠ NÀY

(21) 1-2020-04595

(57) Sáng chế đề cập đến đơn vị kiểm soát phiên mã (TCU) dài 2500 nucleotit. Ngoài ra, sáng chế còn đề cập đến cấu trúc biểu hiện chứa TCU, vectơ chứa TCU, tê bào chủ chứa vectơ và dược phẩm chứa vectơ này.

Lĩnh vực kỹ thuật được đề cập

Sáng chế đề cập đến liệu pháp điều trị và/hoặc ngăn ngừa rối loạn võng mạc, cụ thể là loạn dưỡng tế bào nón, loạn dưỡng tế bào nón-que và mù màu.

Tình trạng kỹ thuật của sáng chế

Trong nhiều loài động vật có vú bao gồm chuột và người, số tế bào nhận sáng hình que mà làm trung gian quan sát trong ánh sáng mờ lớn hơn nhiều số tế bào nhận sáng hình nón. Tuy nhiên, ở thế giới công nghiệp hóa nơi mà sự chiếu sáng cho phép tế bào nón hoạt động suốt ban ngày và ban đêm, quan sát qua trung gian tế bào que ít quan trọng hơn. Nhiều bệnh nhân không có chức năng tế bào que từ khi ra đời chỉ được nhận ra một cách bất ngờ và, thực tế là, không thể nhận ra thị lực bất thường của họ. Ngược lại, khi loạn chức năng tế bào nón có mặt, bệnh nhân luôn có triệu chứng và thường chịu sự cản trở về hình ảnh mà phụ thuộc vào độ loạn chức năng tế bào nón của họ.

Trong một số tình trạng, chỉ, hoặc hầu hết là, tế bào nón bị mất hoặc loạn chức năng, và tế bào que vẫn được bảo quản tương đối. Các tình trạng này có thể được biết là loạn dưỡng tế bào nón hoặc loạn dưỡng tế bào nón-que (cone-rod dystrophy - CRD). Loạn dưỡng tế bào nón hoặc tế bào nón-que là loạn dưỡng võng mạc di truyền được đặc trưng bằng sự mất sợi cấp tế bào nón, hoặc đôi khi mất đồng thời cả tế bào nón và tế bào que. Triệu chứng bao gồm mất thị lực, nhạy với ánh sáng chói và sự nhìn màu kém. Ví dụ, mù màu là loạn dưỡng võng mạc di truyền, nghiêm trọng với sự vắng mặt hoàn toàn của chức năng tế bào nón từ khi ra đời nhưng, có thể đoán được, có chức năng tế bào que bình thường. Đột biến ở nhiều gen bao gồm *CNGA3*, *CNGB3* và *PDE6C* có liên quan đến bệnh. Mỗi gen gây bệnh mã hóa thành phần thiết yếu của phân cấp truyền dẫn quang hình nón mà chuyển ánh sáng thành tín hiệu điện bằng cách gây quá phân cực tế bào nhận sáng. Sự thiếu, ví dụ, *CNGA3* hoặc *CNGB3* protein ở tế bào nhận sáng hình nón dẫn đến sự bất lực của tế bào để quá phân cực đáp ứng với ánh sáng. Kết quả là, tế bào ban đầu sống sót, nhưng không có chức năng, và bệnh nhân có tính sắc bén hình ảnh kém, không thể nhìn màu và sợ ánh sáng từ khi ra đời. Các nhóm khác nhau đã phát triển giao thức liệu pháp ở chuột thiếu *CNGA3* mà cải thiện sự sống sót và chức năng của tế bào hình nón, cũng như thị lực.

Các ví dụ khác của gen gây bệnh có liên quan đến sự gây bệnh loạn dưỡng tế bào nón bao gồm *KCNV2*, *PDE6H*, *GNAT2* và *CACNA2D4*. Gen *KCNV2* mã hóa protein thành phần 2 siêu họ V cải biến kênh kali có công điện áp. Đột biến ở *KCNV2* liên quan đến loạn dưỡng tế bào nón với điện võng mạc đồ (ERG) tế bào que khác thường, hoặc loạn dưỡng tế bào nón võng mạc тип 3B, rồi loạn gen lặn nhiễm sắc thể thường mà gây ra mất thị lực suốt đời kết hợp với đáp ứng ERG khác thường với ánh sáng chói nháy. Gen *PDE6H* mã hóa nhóm con (gamma) úc chế của phosphodiesteraza cGMP đặc hiệu tế bào nón. Đột biến ở gen này có liên quan đến loạn dưỡng tế bào nón võng mạc тип 3A (RCD3A). Gen *GNAT2* mã hóa nhóm con alpha đặc hiệu tế bào nón của transducin. Đột biến ở gen có thể dẫn đến loạn dưỡng tế bào nón phát ở trẻ em. Gen *CACNA2D4* mã hóa nhóm con 4 alpha-2/delta, phụ thuộc điện áp, kênh canxi. Đột biến ở gen có thể gây ra loạn chức năng tế bào nón không tiến triển (loạn dưỡng tế bào nón võng mạc 4, RCD4).

Trong thoái hóa điểm vàng liên quan đến tuổi tác (age-related macular degeneration - AMD), suy giảm thị lực chủ yếu do thoái hóa hố giàu tế bào nón ở điểm vàng trung tâm gây ra. Vì vậy bệnh nhân mất thị lực trung tâm và tính sắc bén, nhưng thường có điểm vàng ngoại biên được bảo quản tương đối tốt và vì vậy có một số hình ảnh dư thừa hữu ích mà bị giới hạn bởi số ít ỏi tế bào nón bên ngoài hố.

Cần phát triển liệu pháp mà có thể cải thiện sự sống sót và chức năng tế bào nón, để điều trị hoặc ngăn ngừa rối loạn võng mạc như loạn dưỡng tế bào nón-que.

Bản chất kỹ thuật của sáng chế

Sáng chế đề xuất axit nucleic, đơn vị kiểm soát phiên mã (transcriptional control unit - TCU), trình tự gen được tối ưu hóa, cấu trúc biểu hiện, và vectơ để biểu hiện gen ở tế bào nhận sáng hình nón.

TCU được sáng chế mô tả chứa gen khởi đầu M-opsin hoặc mảnh của nó trong sự kiểm soát của vùng kiểm soát quỹ tích M/L-opsin (locus control region - LCR) và hữu ích để điều khiển mức biểu hiện cao ở tất cả ba loại tế bào nón của người.

Sáng chế còn đề xuất cấu trúc biểu hiện, chứa gen *CNGA3* của người trong sự kiểm soát của TCU được tối ưu hóa để biểu hiện gen ở tế bào nhận sáng hình nón, trong đó TCU chứa gen khởi đầu M-opsin hoặc mảnh của nó trong sự kiểm soát của vùng kiểm soát quỹ tích M/L-opsin.

Theo một số phương án, TCU và cấu trúc biểu hiện chứa đột biến của 6 bp ngay xuôi dòng của vị trí khởi đầu phiên mã ở gen khởi đầu M-opsin hoặc mảnh của nó (đột biến “M8”), trong đó đột biến có thể tăng tác dụng điều trị của vectơ và cấu trúc biểu hiện chứa đột biến này theo thời gian.

Sáng chế còn đề xuất trình tự tối ưu hóa codon của gen CNGA3, được đề xuất là SEQ ID NO:8.

Sáng chế còn đề xuất vectơ, như vectơ virut, chứa cấu trúc biểu hiện được sáng chế mô tả. Cấu trúc biểu hiện tốt hơn là được truyền sử dụng vectơ có nguồn gốc từ adenovirut kiêu huyết thanh 8 (AAV8) hoặc kiêu huyết thanh AAV mạnh tương tự.

Sáng chế cũng đề xuất phương pháp sử dụng axit nucleic, đơn vị kiểm soát phiên mã (TCU), trình tự gen được tối ưu hóa, cấu trúc biểu hiện, và vectơ để điều trị và/hoặc ngăn ngừa rối loạn hoặc loạn dưỡng võng mạc, bao gồm nhưng không bị giới hạn ở loạn dưỡng tế bào nón như mù màu.

Do đó, theo một khía cạnh, sáng chế đề xuất:

đơn vị kiểm soát phiên mã (TCU) dài lên đến 2500 nucleotit chứa theo hướng từ 5' đến 3':

(a) vùng kiểm soát quỹ tích (LCR) chứa

(i) SEQ ID NO 1; hoặc

(ii) trình tự có độ tương đồng trình tự ít nhất 90% với trình tự (a)(i) này; và

(b) thành phần gen khởi đầu chứa

(i) ít nhất 200 nucleotit của SEQ ID NO: 2 hoặc SEQ ID NO: 17; hoặc

(ii) trình tự có độ tương đồng trình tự ít nhất 90% với trình tự (b)(i) này;

TCU này biểu hiện hoạt động gen khởi đầu đặc hiệu tế bào nhận sáng hình nón.

Theo khía cạnh trên, thành phần gen khởi đầu (b) có thể tùy ý chứa ít nhất 200 hoặc 500 nucleotit cuối của SEQ ID NO: 2 hoặc SEQ ID NO: 17, hoặc trình tự có độ tương đồng trình tự ít nhất 90% với 200 hoặc 500 nucleotit cuối của SEQ ID NO: 2 hoặc SEQ ID NO: 17.

Theo khía cạnh bất kỳ trong số các khía cạnh trên, thành phần gen khởi đầu (b) có thể chứa ít nhất 200 nucleotit của SEQ ID NO: 3, tùy ý trong đó thành phần gen khởi đầu (b) cũng chứa trình tự của ít nhất 10 nucleotit liền kề được chọn từ nucleotit 1 đến 35 của SEQ ID NO:3, hoặc trình tự chứa ít nhất 10 nucleotit liền kề được chọn từ trình tự có độ tương đồng trình tự ít nhất 90% với nucleotit 1 đến 35 của SEQ ID NO:3.

Theo khía cạnh bất kỳ trong số các khía cạnh trên, thành phần gen khởi đầu (b) có thể chứa SEQ ID NO: 3 [thành phần gen khởi đầu 529 bp ở hG1.7] hoặc SEQ ID NO:5 [thành phần gen khởi đầu 247 bp ở hG1.4] hoặc trình tự có độ tương đồng trình tự ít nhất 90% với SEQ ID NO:3 hoặc SEQ ID NO: 5.

Theo khía cạnh bất kỳ trong số các khía cạnh trên, thành phần gen khởi đầu có thể còn chứa SEQ ID NO:16 [đột biến M8]. Ví dụ, theo khía cạnh bất kỳ trong số các khía cạnh trên, nucleotit tương ứng với nucleotit 1934 đến 1939 (GGGCCG) của SEQ ID NO:2 có thể được thay thế bằng SEQ ID NO:16.

Theo một khía cạnh, TCU chứa SEQ ID NO: 4 [biến thể của cấu trúc gen khởi đầu hG1.7, mất bốn nucleotit], SEQ ID NO: 6 [cấu trúc hG1.4] hoặc SEQ ID NO:15 [cấu trúc gen khởi đầu hG1.7 ở sản phẩm].

Sáng chế cũng đề xuất cấu trúc biểu hiện chứa TCU được mô tả ở đây, trong đó TCU được liên kết có điều khiển với trình tự cần được biểu hiện theo cách đặc hiệu tế bào nhận sáng hình nón. Theo một phương án, trình tự được liên kết có điều khiển với TCU chứa gen mã hóa CNGA3, CNGB3, PDE6C, PDE6H, GNAT2, KCNV2 hoặc CACNA2D4. Theo một số phương án, trình tự được liên kết có điều khiển chứa SEQ ID NO: 7, 8, 9, 10, 11, 12, 13 hoặc 14, hoặc có độ tương đồng trình tự ít nhất 80% với SEQ ID NO: 7, 8, 9, 10, 11, 12, 13 hoặc 14 và có khả năng cứu chữa năng tế bào nhận sáng hình nón. Theo một phương án, trình tự được liên kết có điều khiển chứa SEQ ID NO: 8 [trình tự được tối ưu hóa codon CNGA3], hoặc có độ tương đồng trình tự ít nhất 80% với SEQ ID NO: 8 và có khả năng cứu chữa năng tế bào nhận sáng hình nón.

Sáng chế cũng đề xuất vectơ chứa bất kỳ trong số axit nucleic, TCU, mảnh gen khởi đầu, gen được tối ưu hóa codon, và/hoặc cấu trúc biểu hiện được mô tả ở đây. Theo một số phương án, vectơ là vectơ virut.

Theo một số phương án, vectơ là vectơ AAV và/hoặc chứa hệ gen AAV hoặc dẫn xuất của nó. Theo một phương án, dẫn xuất là dẫn xuất khám, được bố trí lại hoặc

được cài biến capsit. Theo một phương án, hệ gen AAV là từ kiểu huyết thanh có nguồn gốc tự nhiên hoặc thể phân lập hoặc nhánh của AAV. Theo một phương án, hệ gen AAV là từ kiểu huyết thanh AAV 2 (AAV2), kiểu huyết thanh AAV 4 (AAV4), hoặc kiểu huyết thanh AAV 8 (AAV8), và/hoặc capsit AAV có nguồn gốc từ AAV8. Theo phương án được ưu tiên, hệ gen có nguồn gốc từ AAV2 và capsit có nguồn gốc từ AAV8. Theo một phương án, vectơ AAV mang gen mã hóa CNGA3.

Sáng chế còn đề xuất tế bào chủ chứa axit nucleic hoặc vectơ được sáng chế mô tả, cũng như tế bào chủ tạo ra axit nucleic hoặc vectơ virut như được sáng chế mô tả. Theo một phương án, tế bào chủ là tế bào HEK293 hoặc HEK293T.

Sáng chế còn đề xuất được phẩm chứa axit nucleic hoặc vectơ được mô tả ở đây và chất mang được dụng.

Sáng chế còn đề xuất phương pháp sử dụng axit nucleic, vectơ, trình tự gen được tối ưu hóa, và/hoặc cấu trúc biểu hiện được mô tả ở đây theo phương pháp ngăn ngừa hoặc điều trị rối loạn võng mạc. Theo một phương án, axit nucleic, vectơ, trình tự gen được tối ưu hóa, và/hoặc cấu trúc biểu hiện được mô tả ở đây được sử dụng trong việc sản xuất thuốc để điều trị hoặc ngăn ngừa rối loạn võng mạc. Sáng chế cũng đề xuất phương pháp điều trị hoặc ngăn ngừa rối loạn võng mạc ở bệnh nhân cần điều trị, bao gồm sử dụng lượng tác dụng chữa bệnh của vectơ được sáng chế mô tả. Theo một phương án, rối loạn võng mạc là mù màu. Theo một số phương án, vectơ được dùng cho bệnh nhân bằng cách tiêm võng mạc trực tiếp, dưới võng mạc, hoặc trong thê kính.

Mô tả văn tắt các hình vẽ

Fig. 1 thể hiện kết quả của nghiên cứu biểu hiện gen chỉ thị *in vivo* ở chuột chuyền gen để đánh giá tác dụng vị trí của vùng kiểm soát quỹ tích (LCR) trên gen khởi đầu lõi opsin xanh lá (M). Trên cùng bên trái: mảng gen sắc tố đỏ và xanh bình thường của người thể hiện vị trí của LCR, đơn vị phiên mã, và exon. Phía dưới bên trái: mảng gen sắc tố hình ảnh được cài biến được thể hiện ở tỷ lệ phóng to gấp 10 lần. Vị trí khởi đầu và hướng phiên mã được thể hiện bằng các mũi tên. $P_{đỏ}$ = gen khởi đầu sắc tố đỏ của người. $P_{xanh lá}$ = gen khởi đầu sắc tố xanh của người. AP, phosphataza kiềm nhau thai của người. lacZ, *E. coli* β-galactosidaza. Phải: Biểu đồ hình tròn thể hiện phần tế bào biểu hiện chuyền gen chỉ thể hiện AP (đỏ), chỉ lacZ (xanh đậm), cả AP và lacZ (vàng), hoặc lacZ>>AP (xanh nhạt) trong chuột chuyền nhiễm tế bào mầm hoặc khám cho cáu

trúc thể hiện bên trái. Số lượng tế bào từ các con chuột khác nhau có nguồn gốc từ cùng dòng tế bào ES đã được gộp lại để tạo ra một biểu đồ hình tròn. Số lượng tế bào cho các dòng chuột mà từ đó đánh dấu PGK-neo được loại bỏ bằng cách lai với chuột tạo tế bào mầm được thể hiện ngay ở bên phải của biểu đồ hình tròn cho dòng cha mẹ tương ứng.

Fig. 2 thể hiện sơ đồ về sự sắp xếp nhiễm sắc thể của gen khởi đầu opsin đỏ (L-) và xanh lá (M-) (trong hộp, hàng đầu). Các sơ đồ trước đây đã phát triển phiên mã đơn vị (pR2.1 và PR1,7), cũng như đơn vị kiểm soát phiên mã thiết kế bộc lộ trong nghiên cứu này. LCR = Vùng kiểm soát quỹ tích.

Fig. 3 minh họa mẫu chuyển nhiễm của tế bào hình nón được chuyển nhiễm với vectơ AAVssh10 biểu hiện protein huỳnh quang xanh (GFP) trong sự kiểm soát của hG1.4 TCU. Được thể hiện là các phân đoạn của vồng mạc có nguồn gốc tế bào gốc phôi của người được chuyển nhiễm với AAVssh10-hG1.4(M8)-GFP. Mẫu chuyển nhiễm của tế bào hình nón được hiển thị hóa bởi hình ảnh GFP (A). Đồng khu trú opsin xanh lam (S-opsin; B) với GFP (B') và opsin đỏ/xanh lá (L/M-opsin; C) với GFP (C') được chỉ định sau khi nhuộm sử dụng kháng thể liên kết với opsin xanh lam (S-opsin) hoặc opsin đỏ/xanh lá (L/M opsin).

Fig. 4 minh họa rằng việc bao gồm trình tự M8 ở TCU nâng cao sự cứu đắp ứng quang phổ ở chuột loại *CNGA3*. Các đáp ứng điện vồng mạc đồ (ERG) chói của chuột loại *Cnga3* được điều trị với vectơ AAV2/8 mang cấu trúc CNGA3 tối ưu hóa codon (coCNGA3) được điều khiển bởi các TCU khác nhau có hoặc không có trình tự M8 được thể hiện. Các đáp ứng ERG ở 1 tháng (thanh bên trái) và 2 tháng (thanh bên phải) sau khi tiêm được thể hiện. Tất cả động vật được điều trị khi được 1 tháng tuổi, trừ nhóm ở cực bên phải; nhóm này được điều trị sau 2 tuần.

Fig. 5 minh họa rằng CNGA3 tối ưu hóa codon cứu đắp ứng quang phổ ở chuột loại *CNGA3* tác dụng nhiều hơn gen *CNGA3* kiểu dại. Các đáp ứng ERG chói ở chuột loại *Cnga3* được điều trị với vectơ AAV2/8 mang cấu trúc CNGA3 tối ưu hóa codon (“co”) và CNGA3 kiểu dại (“non-co”).

Fig. 6 minh họa rằng vectơ AAV2/8 biểu hiện CNGA3 trong sự kiểm soát của hG1.4 TCU tác dụng trong việc khôi phục chức năng tế bào nón ở chuột loại *CNGA3*. (A) Dấu vết ERG chói của chuột loại *Cnga3* được điều trị và không được điều trị AAV8. Sóng A và B được chú thích. Trục Y biểu thị μ V. Cài đặt độ sáng: 10 Cdsm⁻². (B) Các

đáp ứng ERG chói của chuột loại *Cnga3* được điều trị với AAV2/8-hG1.4(M8).coCNGA3 hoặc AAV2/5-hG1.4(M8).coCNGA3. Cài đặt độ sáng: 10 Cdsm⁻².

Fig. 7 minh họa cho việc cứu độ nhạy võng mạc *in vivo* dài hạn với vectơ AAV2/8 biểu hiện CNGA3 trong sự kiểm soát hai TCU được tối ưu hóa khác nhau lên đến 6 tháng sau khi điều trị. Các con chuột thiếu *Cnga3* được tiêm dưới võng mạc ở 2 tuần tuổi với AAV2/8-hG1.4(M8).coCNGA3 (n=14) hoặc AAV2/8-hG1.7(M8).coCNGA3 (n=13) (chuẩn độ 1×10^{12} vg/ml cho cả hai). Không được điều trị (n=3). Cài đặt độ sáng: 10 Cdsm-2.

Fig. 8 minh họa việc sống sót tăng của tế bào nón *in vivo* 3-4 tháng sau khi điều trị với vectơ AAV2/8 biểu hiện CNGA3 trong sự kiểm soát của hG1.7 TCU. Hình ảnh đồng tiêu mặt phẳng đơn của võng mạc ngàm phẳng từ chuột C57BL/6J 3-4 tháng tuổi (A) hoặc chuột thiếu *Cnga3* cùng tuổi không được tiêm (B) hoặc tiêm (C) với AAV2/8-hG1.7(M8).coCNGA3 lúc 2 tuần tuổi. Võng mạc được nhuộm bằng arrestin hình nón và làm sạch. Thanh tỷ lệ: 5 μm.

Fig. 9 minh họa việc sống sót tăng của tế bào nón *in vivo*, 13 tháng sau khi điều trị với vectơ AAV2/8 biểu hiện CNGA3 trong sự kiểm soát của hG1.7 TCU. Hình ảnh tiêu điểm chiêu Z (A, B) hoặc hình ảnh tiêu điểm một mặt phẳng (C, D) của võng mạc ngàm phẳng từ chuột thiếu *Cnga3* 14 tháng tuổi được tiêm AAV2/8-hG1.7(M8).coCNGA3 lúc 2 tuần tuổi. Không được điều trị thể hiện không nhuộm PNA dương tính ở tuổi này. Các ngàm phẳng võng mạc được nhuộm bằng PNA (A, C) và arrestin hình nón (B, D) và làm sạch. Thanh tỷ lệ: 10 μm (A, B), 5 μm (C, D).

Fig. 10 minh họa định lượng cải thiện tính toàn vẹn của khớp thần kinh giữa tế bào hình nón và các tế bào thần kinh hỗ trợ (tế bào lưỡng cực) *in vivo* 3-4 tháng sau khi điều trị với vectơ AAV2/8 biểu hiện CNGA3 trong sự kiểm soát của hG1.7 TCU. Đánh giá được thực hiện sử dụng cường độ tín hiệu của điểm đánh dấu khớp thần kinh Gpr179. Phân tích cường độ tín hiệu nhuộm Gpr179 được thực hiện trên hình ảnh đồng tiêu mặt phẳng đơn của võng mạc gắn kết phẳng từ chuột C57BL/6J 3-4 tháng tuổi hoặc chuột thiếu *Cnga3* cùng độ tuổi không được tiêm hoặc tiêm AAV2/8-hG1.7(M8).coCNGA3 lúc 2 tuần tuổi. Võng mạc được nhuộm bằng Gpr179 và PNA và sau đó làm sạch. Các vết bẩn Gpr179 được truy tìm bằng cách vẽ đường liên tục không đều trên một số nhuộm

Gpr179 liên quan cuồng hình nón (nhuộm PNA được sử dụng để xác nhận các cuồng hình nón) và hơn 10 nhuộm màu Gpr179 liên quan hình cầu nhỏ que (A). Cường độ tín hiệu là đầu ra (B; vạch trắng: Gpr179, vạch đỏ: PNA). Đỉnh của cường độ tín hiệu từ mỗi điểm gốc được tính trung bình, và tỷ lệ GPr179 liên quan cuồng hình nón với hình que (CP/RS) được tính toán. CP/RS từ bốn địa điểm khác nhau được sử dụng để phân tích thống kê (kiểm định so sánh nhiều nhóm Bonferroni (ns: $p>0,05$, **: $p\leq0,01$, *: $p\leq0,05$). Thanh báo lỗi chỉ ra SEM. (C).

Fig. 11 minh họa rằng biểu hiện của CNGA3 trong sự kiểm soát của hG1.4 TCU ở vecto AAV8 dẫn đến đáp ứng ERG cải thiện ở chuột thiếu *CNGA3* so với vecto AAV Anc80L65, AAV44.9, hoặc AAV5, tương ứng. (A). So sánh Anc80L65 và AAV8. AAV-Anc80L65 hoặc AAV8 mang caset biểu hiện hG1.4(M8).coCNGA3 được truyền đến chuột thiếu *Cnga3* ở 2 tuần tuổi. **: $p \leq 0,01$, *: $p \leq 0,05$. Thanh báo lỗi chỉ ra SEM. (B). So sánh AAV8 và AAV44.9 để giao CNGA3 ở chuột thiếu *Cnga3* lúc 4 tuần tuổi. Thanh báo lỗi chỉ ra SEM. (C) So sánh AAV5 và AAV8. AAV5 hoặc AAV8 mang caset biểu hiện hG1.4(M8).coCNGA3 được truyền đến chuột thiếu *Cnga3* ở 2 tuần tuổi. **: $p \leq 0,01$, *: $p \leq 0,05$. Thanh báo lỗi chỉ ra SEM.

Fig. 12 minh họa mức biểu hiện cải thiện cho TCU hG1.4 và hG1.7 mang đột biến M8 so với mức biểu hiện quan sát được cho gen khởi đầu hình nón đã biết. (A) hEB từ 17-19 tuần tuổi được chuyển nhiễm với eGFP biểu hiện AAVShH10 trong hai gen khởi đầu opsin xanh lá khác nhau (hG1.4 và hG1.7) và được thu thập 2 tuần sau đó ($n = 6-8$ cho mỗi gen khởi đầu). Sau khi phân ly, tế bào được phân tích về cường độ huỳnh quang trung bình tương đối (MFI) trong tế bào dương tính GFP (MFI tương đối trong hEB được chuyển nhiễm hEB bằng AAVShH10-eGFP được phân tích trong thí nghiệm cùng ngày được tính theo tỷ lệ với MFI trong EB được chuyển nhiễm với AAV ShH10-1.7L-eGFP) bằng phương pháp đo tế bào dòng. Dấu hoa thị biểu thị sự khác biệt đáng kể ($p \leq 0,01$). Thanh báo lỗi chỉ ra SEM. (B) Các đáp ứng ERG chói của chuột loại *Cnga3* đã điều trị được điều trị với AAV2/8-CAR-CNGA3 hoặc bỏ không điều trị. Trục Y biểu thị μ V. Cài đặt độ sáng: 10 Cdsm^{-2} .

Mô tả văn tắt trình tự

SEQ ID NO: 1 thể hiện trình tự ADN của 1,2 mảnh kb của vùng kiểm soát quỹ tích M/L opsin của người.

SEQ ID NO:2 thể hiện trình tự ADN của mảnh 2,0 kb của gen khởi đầu M opsin của người.

SEQ ID NO:3 thể hiện trình tự ADN của mảnh 500 bp của gen khởi đầu M opsin của người.

SEQ ID NO:4 thể hiện trình tự ADN của biến thể của cấu trúc hG1.7(M8), bao gồm mảnh 1,2 kb của vùng kiểm soát quỹ tích M/L opsin của người theo sau là mảnh 500 bp của gen khởi đầu M opsin của người, mảnh gen khởi đầu opsin này bao gồm đột biến M8.

SEQ ID NO:5 thể hiện trình tự ADN của mảnh 200 bp của gen khởi đầu M opsin của người.

SEQ ID NO:6 thể hiện trình tự cADN của cấu trúc hG1.4(M8), bao gồm mảnh 1,2 kb của vùng kiểm soát quỹ tích M/L opsin của người theo sau là mảnh 200 bp của gen khởi đầu M opsin của người, mảnh gen khởi đầu opsin này bao gồm đột biến M8.

SEQ ID NO:7 thể hiện trình tự cADN của gen *CNGA3* của người.

SEQ ID NO:8 thể hiện trình tự cADN tối ưu hóa codon của gen *CNGA3* của người.

SEQ ID NO:9 thể hiện trình tự cADN của gen *PDE6C* của người.

SEQ ID NO:10 thể hiện trình tự cADN của gen *PDE6H* của người.

SEQ ID NO:11 thể hiện trình tự cADN của gen *GNAT2* của người.

SEQ ID NO:12 thể hiện trình tự cADN của gen *KCNV2* của người.

SEQ ID NO:13 thể hiện trình tự cADN của gen *CACNA2D4* của người.

SEQ ID NO:14 thể hiện trình tự cADN của gen *CNGB3* của người.

SEQ ID NO:15 thể hiện trình tự ADN của cấu trúc hG1.7(M8), chứa mảnh 1,2 kb của vùng kiểm soát quỹ tích M/L opsin của người theo sau là trình tự GATC, và mảnh 500 bp của gen khởi đầu M opsin của người, mảnh gen khởi đầu opsin này bao gồm đột biến M8.

SEQ ID NO:16 thể hiện trình tự của đột biến M8.

SEQ ID NO:17 thể hiện trình tự ADN của mảnh 2,0 kb của gen khởi đầu M opsin của người chứa đột biến M8.

Mô tả chi tiết sáng chế

Cần được hiểu rằng các ứng dụng khác nhau của trình tự polynucleotit được bộc lộ có thể được điều chỉnh với nhu cầu cụ thể trong lĩnh vực kỹ thuật. Cũng cần được hiểu rằng thuật ngữ được sử dụng ở đây chỉ nhằm mục đích mô tả phương án cụ thể của sáng chế, và không nhằm giới hạn.

Ngoài ra, như được sử dụng trong bản mô tả này và bộ yêu cầu bảo hộ kèm theo, dạng số ít bao gồm số nhiều trừ khi nội dung rõ ràng chỉ ra khác. Vì vậy, ví dụ, tham khảo đến “polynucleotit” bao gồm “các polynucleotit”, tham khảo đến “gen khởi đầu” bao gồm “các gen khởi đầu”, tham khảo đến “vecto” bao gồm hai hoặc nhiều vectơ này, và tương tự. “M/L opsin” và “L/M opsin” được sử dụng thay phiên nhau dùng để chỉ opsin xanh lá và đỏ.

Tất cả các công bố, patent và đơn xin cấp patent được nêu ở đây, cho dù ở trên hoặc ở dưới, đều được kết hợp bằng cách tham khảo toàn bộ nội dung của chúng.

Đơn vị kiểm soát phiên mã (TCU)

Theo một khía cạnh, sáng chế đề xuất TCU được tối ưu hóa để biểu hiện gen ở tế bào nhận sáng hình nón. Theo một phương án, sáng chế đề xuất TCU mà chứa mảnh của vùng kiểm soát quỹ tích (LCR) M/L opsin. Theo phương án được ưu tiên, TCU chứa mảnh của vùng kiểm soát quỹ tích (LCR) M/L opsin của người.

Theo phương án khác, sáng chế đề xuất TCU mà chứa vùng gen khởi đầu, như gen khởi đầu M opsin hoặc mảnh của nó. Theo phương án được ưu tiên, TCU được sáng chế mô tả chứa gen khởi đầu M opsin của người hoặc mảnh của nó.

Theo một số phương án, TCU chứa mảnh và/hoặc biến thể của vùng kiểm soát quỹ tích (LCR) M/L opsin của người và gen khởi đầu M-opsin của người hoặc mảnh của nó, trong đó TCU có hoạt động gen khởi đầu đặc hiệu tế bào nhận sáng hình nón.

Theo một phương án, TCU chứa LCR mà chứa trình tự của nucleotit, thông thường là nucleotit liền kề, từ SEQ ID NO:1 mà tạo ra biểu hiện đặc hiệu tế bào nhận sáng hình nón của trình tự polynucleotit được liên kết có điều khiển. Còn được dự định là LCR chứa trình tự mà có độ tương đồng trình tự ít nhất 75%, ít nhất 80%, ít nhất 85%, ít nhất 90%, ít nhất 95%, ít nhất 98%, hoặc ít nhất 99% với SEQ ID NO:1. Theo một số phương án, LCR chứa xóa hoặc chèn một hoặc nhiều nucleotit, trong đó việc xóa hoặc

chèn không xóa bỏ biểu hiện đặc hiệu tê bào nhện sáng hình nón của tải trọng gen được liên kết hoạt động với LCR được cải biến.

Theo một phương án, TCU chứa gen khởi đầu M opsin hoặc mảnh của nó, trong đó gen khởi đầu M opsin hoặc mảnh của nó chứa trình tự của nucleotit, thông thường là nucleotit liền kề, từ SEQ ID NO: 2 hoặc SEQ ID NO:17 mà tạo ra biểu hiện đặc hiệu tê bào nhện sáng hình nón trên trình tự polynucleotit được liên kết có điều khiển. Gen khởi đầu M opsin hoặc mảnh của nó có thể, ví dụ, chứa lên đến 1200 nucleotit của SEQ ID NO:2 hoặc SEQ ID NO:17, và tốt hơn là không quá 1100, không quá 1000, không quá 900, không quá 800, không quá 700, không quá 600, không quá 500, không quá 400, không quá 300, hoặc không quá 200 nucleotit của SEQ ID NO:2 hoặc SEQ ID NO:17. Theo một số phương án, mảnh gen khởi đầu M opsin chứa ít nhất 200, 300, 400 hoặc 500 nucleotit của SEQ ID NO:2 hoặc SEQ ID NO:17. Còn được dự định là mảnh gen khởi đầu M opsin có độ tương đồng trình tự ít nhất 75%, ít nhất 80%, ít nhất 85%, ít nhất 90%, ít nhất 95%, ít nhất 98%, hoặc ít nhất 99% với ít nhất 200, ít nhất 300, ít nhất 400, hoặc ít nhất 500 nucleotit liền kề của SEQ ID NO:2 hoặc SEQ ID NO:17. Theo một số phương án, gen khởi đầu M-opsin hoặc mảnh của nó chứa xóa hoặc chèn một hoặc nhiều nucleotit, trong đó việc xóa hoặc chèn không xóa bỏ biểu hiện đặc hiệu tê bào nhện sáng hình nón của tải trọng gen được liên kết hoạt động với gen khởi đầu M-opsin được cải biến hoặc mảnh. Theo một số phương án, gen khởi đầu M-opsin hoặc mảnh của nó về cơ bản bao gồm SEQ ID NO:2 hoặc SEQ ID NO:17. Theo một số phương án, gen khởi đầu M-opsin hoặc mảnh của nó bao gồm SEQ ID NO: 2 hoặc SEQ ID NO:17.

Tốt hơn là, TCU chứa mảnh gen khởi đầu M opsin mà chứa SEQ ID NO:hoặc trình tự về cơ bản giống hệt với SEQ ID NO:3. Còn được dự định là TCU chứa mảnh gen khởi đầu M opsin mà chứa ít nhất 200, ít nhất 300, ít nhất 400, hoặc ít nhất 500 nucleotit của SEQ ID NO:3 hoặc trình tự có độ tương đồng trình tự ít nhất 75%, ít nhất 80%, ít nhất 85%, ít nhất 90%, ít nhất 95%, ít nhất 98%, hoặc ít nhất 99% với ít nhất 200, ít nhất 300, ít nhất 400, hoặc ít nhất 500 nucleotit của SEQ ID NO: 3. Theo một số phương án, mảnh gen khởi đầu M opsin về cơ bản bao gồm SEQ ID NO:3. Theo một số phương án, mảnh gen khởi đầu M opsin bao gồm SEQ ID NO:3.

Theo một số phương án, TCU chứa ít nhất 200 nucleotit của SEQ ID NO:3 hoặc trình tự có độ tương đồng trình tự ít nhất 90% với ít nhất 200 nucleotit của SEQ ID NO:3

và trình tự chúa ít nhất 10, ít nhất 15, ít nhất 20, ít nhất 25, ít nhất 30 hoặc ít nhất 35 nucleotit liền kề của nucleotit 1-35 của SEQ ID NO:3. Theo một số phương án, TCU chúa ít nhất 200 nucleotit của SEQ ID NO:3 hoặc trình tự có độ tương đồng trình tự ít nhất 90% với ít nhất 200 nucleotit của SEQ ID NO:3 và trình tự có độ tương đồng trình tự ít nhất 90% với ít nhất 10, ít nhất 15, ít nhất 20, ít nhất 25, ít nhất 30 hoặc ít nhất 35 nucleotit liền kề tương ứng với nucleotit 1-35 của SEQ ID NO:3.

Tốt hơn là, TCU chúa mảnh gen khởi đầu M opsin mà chúa SEQ ID NO:5 hoặc trình tự về cơ bản giống hệt với SEQ ID NO:5. Theo một số phương án, mảnh gen khởi đầu M opsin về cơ bản bao gồm SEQ ID NO:5. Theo một số phương án, mảnh gen khởi đầu M opsin bao gồm SEQ ID NO:5.

Gen khởi đầu bổ sung và mảnh của nó được dự định để sử dụng ở TCU là gen khởi đầu hoặc mảnh gen khởi đầu mà khác biệt về trình tự với trình tự ở trên nhưng giữ được hoạt động gen khởi đầu đặc hiệu tê bào nhận sáng hình nón. Các trình tự này có độ tương đồng trình tự ít nhất 75%, ít nhất 80%, ít nhất 85%, ít nhất 90%, ít nhất 95%, ít nhất 98%, hoặc ít nhất 99% với trình tự của nucleotit liền kề từ SEQ ID NO:2 hoặc SEQ ID NO:17 như được xác định ở trên. Tỷ lệ phần trăm độ tương đồng trình tự của biến thể tốt hơn là được xác định trên toàn bộ độ dài của phần tương ứng của SEQ ID NO:2 hoặc SEQ ID NO:17, hoặc trên 500, 600, 700, 800, 900, 1000, 1100 hoặc 1200 phần nucleotit của SEQ ID NO:2 hoặc SEQ ID NO:17 phù hợp với trình tự biến thể. Còn được dự định là gen khởi đầu và mảnh của nó mà chúa trình tự có độ tương đồng trình tự ít nhất 75%, ít nhất 80%, ít nhất 85%, ít nhất 90%, ít nhất 95%, ít nhất 98%, hoặc ít nhất 99% với SEQ ID NO:3 và/hoặc SEQ ID NO:5.

Độ tương đồng trình tự có thể được tính toán sử dụng bất kỳ thuật toán phù hợp nào. Ví dụ, các thuật toán PILEUP và BLAST có thể được sử dụng để tính toán độ tương đồng hoặc xếp hàng trình tự (như xác định trình tự tương đương hoặc tương ứng (thông thường là trên cài đặt mặc định của chúng), ví dụ như được mô tả ở Altschul S. F. (1993) J Mol Evol 36:290-300; Altschul, S, F et al (1990) J Mol Biol 215:403-10. Software for performing BLAST analyses is publicly available through the National Center for Biotechnology Information (<http://www.ncbi.nlm.nih.gov/>). Thuật toán này liên quan đến việc xác định cặp trình tự điểm cao (HSPs) trước tiên bằng cách xác định các từ ngắn của độ dài W trong trình tự truy vấn phù hợp hoặc thỏa mãn một số điểm ngưỡng có giá trị dương T khi được căn chỉnh với một từ cùng độ dài trong trình tự cơ sở dữ

liệu. T được dùng để chỉ ngưỡng điểm từ vùng lân cận (Altschul et al, supra). Các lượt truy cập từ vùng lân cận ban đầu này đóng vai trò là hạt giống để bắt đầu tìm kiếm để tìm HSP chúa chúng. Các từ truy cập được mở rộng theo cả hai hướng dọc theo mỗi trình tự chung nào điểm căn chỉnh tích lũy có thể được tăng. Các phần mở rộng cho các lượt truy cập từ trong mỗi hướng bị dừng lại khi: điểm căn chỉnh tích lũy giảm bởi đại lượng X so với giá trị đạt được lớn nhất của nó; điểm tích lũy bằng 0 hoặc thấp hơn, do sự tích lũy của một hoặc nhiều căn chỉnh phần dư cho điểm âm; hoặc phần cuối của một trong hai trình tự đạt được. Các tham số thuật toán BLAST W, T và X xác định độ nhạy và tốc độ căn chỉnh. Chương trình BLAST sử dụng độ dài từ mặc định (W) là 11, ma trận điểm BLOSUM62 (xem Henikoff and Henikoff (1992) Proc. Natl. Acad. Sci. USA 89: 10915-10919) căn chỉnh (B) là 50, kỳ vọng (E) là 10, M = 5, N = 4 và so sánh cả hai sợi.

Thuật toán BLAST thực hiện phân tích thống kê về sự giống nhau giữa hai trình tự; ví dụ xem, Karlin and Altschul (1993) Proc. Natl. Acad. Sci. USA 90: 5873-5787. Một thước đo sự giống nhau được đề xuất bởi thuật toán BLAST là xác suất tổng nhỏ nhất ($P(N)$), đề xuất dấu hiệu của xác suất nhờ đó sự kết hợp giữa hai trình tự polynucleotit hoặc axit amin sẽ tình cờ xảy ra. Ví dụ, trình tự được coi là tương tự như trình tự khác nếu xác suất tổng nhỏ nhất khi so trình tự đầu tiên với trình tự thứ hai ít hơn khoảng 1, tốt hơn là ít hơn khoảng 0,1, tốt hơn nữa là ít hơn khoảng 0,01, và tốt nhất là ít hơn khoảng 0,001. Tương tự, UWGCG Gói cung cấp chương trình BESTFIT có thể được sử dụng để tính toán độ tương đồng (ví dụ được sử dụng trên cài đặt mặc định của nó) (Devereux et al (1984) Nucleic Acids Research 12, 387-395).

Theo một số phương án, TCU chúa gen khởi đầu M-opsin hoặc mảnh của nó mà chúa trình tự đột biến M8 TCTAGA (SEQ ID NO:16). Theo một phương án, TCU chúa gen khởi đầu M-opsin hoặc mảnh của nó mà chúa, một, hai, ba, bốn, năm hoặc sáu nucleotit của SEQ ID NO:16. Ví dụ, nucleotit tương ứng với nucleotit từ 1934 đến 1939 (GGGCCG) của SEQ ID NO:2 có thể được thay thế bằng SEQ ID NO:16.

Theo một số phương án, TCU bao gồm trình tự nucleotit bổ sung không tự nhiên tìm thấy trong LCR M/L opsin và/hoặc vùng gen khởi đầu M-opsin. Trình tự nucleotit bổ sung có thể là 5' hoặc 3' của LCR hoặc vùng gen khởi đầu M-opsin. Theo một số phương án, trình tự bổ sung nằm giữa LCR và vùng gen khởi đầu M-opsin. Theo một phương án, trình tự “GATC” nằm giữa vùng LCR và vùng M-opsin.

Theo một phương án, TCU chứa SEQ ID NO:4. Theo một phương án, TCU chứa SEQ ID NO:6. Theo một phương án, TCU chứa SEQ ID NO:15.

Còn được dự định là TCU chứa trình tự có độ tương đồng trình tự ít nhất 75%, ít nhất 80%, ít nhất 85%, ít nhất 90%, ít nhất 95%, ít nhất 98%, hoặc ít nhất 99% với SEQ ID NO:4, SEQ ID NO:6 hoặc SEQ ID NO:15.

Theo một phương án, TCU về cơ bản bao gồm SEQ ID NO:4. Theo một phương án, TCU về cơ bản bao gồm SEQ ID NO:6. Theo một phương án, TCU về cơ bản bao gồm SEQ ID NO:15.

Theo một phương án, TCU bao gồm SEQ ID NO:4. Theo một phương án, TCU bao gồm SEQ ID NO:6. Theo một phương án, TCU bao gồm SEQ ID NO:15.

TCU có thể còn được định vị ở bất cứ đâu trong trình tự lớn hơn miễn là hoạt động gen khởi đầu đặc hiệu tế bào nhận sáng hình nón giữ được. Theo các phương án, TCU được mô tả ở đây nằm ở vị trí 5', hoặc ngay 5', với gen cần được biểu hiện (ví dụ, tải trọng) theo cách đặc hiệu tế bào nhận sáng hình nón như được mô tả ở đây.

TCU cũng có thể được sử dụng song song với các thành phần điều hòa khác như một hoặc nhiều gen khởi đầu, chất tăng cường và/hoặc LCR khác.

TCU có thể được đề xuất ở dạng phân tử axit nucleic phân lập.

TCU được đề xuất bởi sáng chế có thể được sử dụng để dẫn biểu hiện của gen (tải trọng) ở tế bào nhận sáng hình nón theo cách đặc hiệu tế bào nhận sáng hình nón. Biểu hiện đặc hiệu tế bào nhận sáng hình nón có thể được xác định dưới dạng biểu hiện mà chỉ có mặt ở tế bào nhận sáng hình nón, nhưng không đáng kể trong các loại tế bào khác. Biểu hiện đặc hiệu tế bào nhận sáng hình nón có thể được xác định dưới dạng biểu hiện lớn hơn khoảng 10 lần, lớn hơn 20 lần, lớn hơn 50 lần hoặc lớn hơn 100 lần trở lên ở tế bào nhận sáng hình nón so với các loại tế bào khác, đặc biệt là tế bào nhận sáng hình que. Biểu hiện ở tế bào nhận sáng hình nón và các loại tế bào khác có thể được xác định bằng bất kỳ kỹ thuật tiêu chuẩn phù hợp nào được biết với người có hiểu biết trung bình trong lĩnh vực kỹ thuật. Ví dụ, mức biểu hiện ARN có thể được xác định bằng PCR thời gian thực định lượng. Biểu hiện protein có thể được xác định bằng phương pháp thẩm phong tây hoặc hóa mô miễn dịch. TCU được đề xuất ở đây cung cấp biểu hiện của gen được liên kết có điều khiển ở tất cả kiểu phụ tế bào nhận sáng hình nón.

TCU được đề xuất bởi sáng chế có thể được sử dụng để dẫn biểu hiện gen tăng đáng kể ở tế bào nhận sáng hình nón so với TCU hoặc gen khởi đầu tham khảo. Biểu hiện tăng đáng kể có thể được xác định là nhiều hơn khoảng 10 lần, 20 lần, 50 lần, 100 lần, 200 lần hoặc 300 lần biểu hiện của gen ở tế bào nhận sáng hình nón khi so với biểu hiện được dẫn bởi TCU hoặc gen khởi đầu tham khảo, bao gồm nhưng không bị giới hạn ở gen khởi đầu M-opsin ban đầu. Biểu hiện ở tế bào nhận sáng hình nón và các loại tế bào khác có thể được xác định bởi kỹ thuật chuẩn thích hợp bất kỳ được biết với người có hiểu biết trung bình trong lĩnh vực kỹ thuật. Ví dụ, mức biểu hiện ARN có thể được xác định bằng PCR thời gian thực định lượng. Biểu hiện protein có thể được xác định bằng thám tách tay hoặc hóa mô miễn dịch.

TCU được đề xuất bởi sáng chế có thể được sử dụng để dẫn biểu hiện của protein mã hóa trình tự nucleotit ở tế bào nhận sáng hình nón, bao gồm trình tự nucleotit biểu hiện protein mà không được biểu hiện bình thường ở tế bào nhận sáng hình nón như GFP.

Ví dụ, TCU được đề xuất theo sáng chế hữu ích để biểu hiện gen ở tế bào nhận sáng hình nón cần thiết cho chức năng bình thường của tế bào nhận sáng hình nón, bao gồm, nhưng không bị giới hạn ở, nhóm con protein G(t) liên kết nucleotit guanin alpha-2 (GNAT2), kênh cation nucleotit tạo vòng alpha-3 (CNGA3), kênh cation nucleotit tạo vòng beta-3 (CNGB3), nhóm con phosphodiesteraza vòng 3',5' đặc hiệu cGMP hình nón alpha' (PDE6C), nhóm con gamma phosphodiesteraza vòng 3', 5' cGMP nhạy với rhodopsin tế bào nón võng mạc (PDE6H), thành phần 2 siêu họ V kênh cổng điện áp kali (KCNV2), và nhóm con alpha-2/delta-4 kênh canxi phụ thuộc vào điện áp (CACNA2D4), là protein thiết yếu cho chức năng bình thường của tế bào nón. Như vậy, sáng chế đề xuất TCU và phương pháp biểu hiện, ví dụ, gen *GNAT2*, *CNGA3*, *CNGB3*, *PDE6C*, *PDE6H*, *KCNV2*, và *CACNA2D4* ở tế bào nhận sáng hình nón. Các gen *PDE6C*, *GNAT2*, *CNGA3* và *CNGB3* là bốn gen đóng góp vào mù màu. PDE6C là nhóm con alpha của phosphodiesteraza vòng 3',5' đặc hiệu cGMP hình nón. GNAT2 là thành phần alpha của transducin hình nón, thành phần thiết yếu của phân cấp truyền dẫn quang hình nón. CNGA3 là nhóm con alpha của kênh ion tạo nucleotit vòng hình nón, đóng đáp ứng với ánh sáng, do đó siêu phân cực tế bào hình nón. CNGB3 là nhóm con beta của kênh ion tạo nucleotit vòng hình nón, đóng đáp ứng với ánh sáng, do đó siêu phân cực tế bào hình nón.

Cấu trúc biểu hiện

Sáng chế cũng đề xuất cấu trúc biểu hiện chứa TCU được sáng chế mô tả, được liên kết có điều khiển với trình tự, như trình tự gen, cần được biểu hiện theo cách đặc hiệu tế bào nhận sáng hình nón.

Thuật ngữ “được liên kết có điều khiển” dùng để chỉ vị trí kề nhau trong đó thành phần được mô tả đang ở trong mối quan hệ cho phép chúng có chức năng theo cách dự định của chúng. Trình tự kiểm soát “được liên kết có điều khiển” với trình tự mã hóa được buộc theo cách mà biểu hiện của trình tự mã hóa đạt được trong điều kiện tương thích với trình tự kiểm soát. Nhiều bản sao polynucleotit giống nhau hoặc khác nhau có thể được đưa vào cấu trúc biểu hiện. Cấu trúc biểu hiện có thể được xác định là trình tự polynucleotit có khả năng điều khiển biểu hiện protein từ trình tự polynucleotit chứa trình tự mã hóa.

Vì vậy, cấu trúc biểu hiện ví dụ có thể chứa trình tự mã hóa *PDE6H*, *PDE6C*, *GNAT2*, *KCNV2*, *CACNA2D4*, *CNGA3* hoặc *CNGB3*, ví dụ polynucleotit được chọn từ SEQ ID NO: 7 đến 14, hoặc biến thể của SEQ ID NO: 7 đến 14 mà giữ được chức năng của protein dịch mã từ trình tự được chọn từ SEQ ID NO: 7 đến 14.

Biến thể của polynucleotit được chọn từ nhóm bao gồm SEQ ID NO: 7 đến 14 có thể được xác định dưới dạng biến thể bất kỳ của trình tự của SEQ ID NO: 7 đến 14, bao gồm biến thể có trong tự nhiên ở trình tự axit nucleic. Biến thể có thể được xác định là có độ tương đồng trình tự ít nhất khoảng 60%, 70%, 80%, 90%, 95%, 96%, 97%, 98% hoặc 99% với SEQ ID NO 7 đến 14, trong đó polypeptit được dịch mã từ trình tự biến thể giữ được chức năng của nó. Biến thể có thể được xác định là có độ tương đồng trình tự ít nhất khoảng 60%, 70%, 80%, 90%, 95%, 96%, 97%, 98% hoặc 99% với SEQ ID NO 7 đến 14, trong đó polypeptit được dịch mã từ trình tự biến thể có khả năng cứu chữa năng tế bào nhận sáng hình nón. Theo các phương án, biến thể là phiên bản được tối ưu hóa codon của trình tự mã hóa.

Cấu trúc biểu hiện được dự định theo sáng chế có thể tái tạo chức năng tế bào nhận sáng hình nón. Việc cứu chữa năng tế bào nhận sáng hình nón có thể được xác định là phục hồi ít nhất khoảng 50%, 60%, 70%, 80% 90%, 95%, 96%, 97%, 98%, 99% hoặc 100% chức năng tế bào nhận sáng hình nón. Chức năng tế bào nhận sáng hình nón có thể được phân tích bởi kỹ thuật chuẩn thích hợp bất kỳ được biết với người có hiểu

biết trung bình trong lĩnh vực kỹ thuật, ví dụ, bằng phân tích điện học của đáp ứng võng mạc.

Việc cứu chữa năng tế bào nhạy sáng hình nón cũng có thể được xác định là kéo dài sự sống sót tế bào nón. Việc kéo dài sự sống sót tế bào nón có thể được xác định là kéo dài thời gian mà tế bào nhạy sáng hình nón có chức năng khoảng 10%, 20%, 30%, 40%, 50%, 60%, 70%, 80%, 90%, 95%, 96%, 97%, 98%, 99%, 100% hoặc lớn hơn 100% khi so với tế bào nhạy sáng hình nón bị ảnh hưởng bởi loạn dưỡng tế bào nón. Chức năng tế bào nhạy sáng hình nón có thể được phân tích bởi kỹ thuật chuẩn thích hợp bất kỳ được biết với người có hiểu biết trung bình trong lĩnh vực kỹ thuật, ví dụ, bằng phân tích điện học của đáp ứng võng mạc. Ví dụ của kéo dài sự sống sót tế bào nón cũng bao gồm cải thiện hoạt động ERG hoặc làm chậm việc mất hoạt động ERG, cải thiện độ nhạy võng mạc hoặc làm chậm/tạm dừng việc mất độ nhạy võng mạc tiến triển, làm chậm hoặc tạm dừng việc mất tế bào nhạy sáng, cải thiện thị lực hoặc làm chậm/tạm dừng việc mất thị lực.

Cấu trúc biểu hiện theo sáng chế có thể chứa TCU được liên kết có điều khiển với gen *CNGA3*. Theo một số phương án, trình tự gen *CNGA3* chứa SEQ ID NO:7. Theo một số phương án, gen *CNGA3* chứa trình tự tối ưu hóa codon. “Sự tối ưu hóa codon” đề cập đến quá trình thay đổi trình tự polynucleotit có trong tự nhiên để nâng cao biểu hiện trong sinh vật đích, ví dụ, người. Theo một phương án của sáng chế, gen *CNGA3* của người, SEQ ID NO:7, đã được tối ưu hóa để tạo SEQ ID NO:8. Trong cADN *CNGA3* đã tối ưu hóa của SEQ ID NO:8 codon hiếm đã được thay thế bằng codon xảy ra thường xuyên hơn và/hoặc codon thường xuyên được tìm thấy ở gen được biểu hiện cao của người.

Theo một phương án, cấu trúc biểu hiện chứa TCU được liên kết có điều khiển với SEQ ID NO:8.

Vectơ

Sáng chế đề xuất vectơ chứa axit nucleic, TCU, gen khởi đầu và mảnh của nó, gen được tối ưu hóa, và cấu trúc biểu hiện được sáng chế mô tả. Vectơ có thể là loại bất kỳ, ví dụ, nó có thể là vectơ plasmid hoặc ADN vòng mini.

Hiệu quả của liệu pháp nói chung là phụ thuộc vào phân phối đầy đủ và hiệu quả của ADN hiến tặng. Quá trình này thường là qua trung gian bởi vectơ virut. Như vậy,

sáng chế đề xuất vectơ virut, có thể dựa trên, ví dụ, trên virut herpes simplex, adenovirut, hoặc lentivirut. Vectơ virut có thể là vectơ virut liên hợp adeno (AAV) hoặc dẫn xuất của nó. AAV là vectơ đặc biệt hấp dẫn vì nó thường không gây bệnh; phần lớn mọi người đã bị nhiễm virut này trong suốt cuộc đời của họ mà không có tác dụng bất lợi. Đặc quyền miễn dịch của mô mắt, kết quả của rào cản giải phẫu và yếu tố điều hòa miễn dịch, làm cho mắt phần lớn được miễn đáp ứng miễn dịch bất lợi.

Theo một phương án, vectơ virut chứa hệ gen AAV từ kiểu huyết thanh, thể phân lập hoặc nhánh của AAV, hoặc dẫn xuất của nó có nguồn gốc tự nhiên.

“Hệ gen AAV” là trình tự polynucleotit mà mã hóa chức năng cần thiết để sản xuất hạt virut AAV. Các chức năng này bao gồm hoạt động trong chu trình sao chép và đóng gói cho AAV ở tế bào chủ, bao gồm tự tạo bọc hệ gen AAV thành hạt virut AAV. Các virut AAV có trong tự nhiên thiếu sao chép và dựa vào sự cung cấp của chức năng trợ giúp ở *trans* để hoàn thành chu trình sao chép và đóng gói. Do đó và bằng sự loại bỏ bổ sung gen *rep* và *cap* AAV, hệ gen AAV của vectơ theo sáng chế thiếu sao chép.

Hệ gen AAV có thể ở dạng sợi đơn, chiều dương hoặc âm, hoặc theo cách khác ở dạng sợi kép. Việc sử dụng dạng sợi kép cho phép bỏ qua bước sao chép ADN ở tế bào đích và do đó có thể tăng tốc biểu hiện chuyển gen.

Hệ gen AAV có thể từ kiểu huyết thanh hoặc thể phân lập hoặc nhánh của AAV có nguồn gốc tự nhiên bất kỳ. Như được biết với người có hiểu biết trung bình trong lĩnh vực kỹ thuật, virut AAV có trong tự nhiên có thể được phân loại theo các hệ thống sinh học khác nhau.

Thông thường, virut AAV dùng để chỉ về kiểu huyết thanh của chúng. “Kiểu huyết thanh” tương ứng với loài phụ biến thể của AAV do profin của nó của biểu hiện của kháng nguyên bề mặt capsit có hoạt tính khác biệt mà có thể được sử dụng để phân biệt nó với loài phụ biến thể khác. Thông thường là, virut có kiểu huyết thanh AAV cụ thể không phản ứng ngang hiệu quả với kháng thể trung hòa đặc hiệu cho kiểu huyết thanh AAV khác bất kỳ. Các kiểu huyết thanh AAV bao gồm AAV1, AAV2, AAV3, AAV4, AAV5, AAV6, AAV7, AAV8, AAV9, AAV10 và AAV11, cũng là kiểu huyết thanh tái tổ hợp, như Rec2 và Rec3, gần đây được nhận ra từ não linh trưởng. Trong vectơ theo sáng chế, hệ gen có thể có nguồn gốc từ kiểu huyết thanh AAV bất kỳ. Capsit

cũng có thể có nguồn gốc từ kiểu huyết thanh AAV. Hệ gen và capsit có thể có nguồn gốc từ cùng kiểu huyết thanh hoặc các kiểu huyết thanh khác nhau.

Theo một phương án, hệ gen của vectơ được sáng chế mô tả có nguồn gốc từ kiểu huyết thanh AAV 2 (AAV2), kiểu huyết thanh AAV 4 (AAV4), kiểu huyết thanh AAV (AAV5) hoặc kiểu huyết thanh AAV 8 (AAV8). Các vectơ AAV khác mà có thể được sử dụng bao gồm vectơ có nguồn gốc từ AAV44.9 và AAV-Anc80. Được ưu tiên nhất là hệ gen có nguồn gốc từ AAV2, liên kết với tế bào đích qua thụ thể proteoglycan heparin sulphat, nhưng các kiểu huyết thanh khác quan tâm đặc biệt để sử dụng theo sáng chế bao gồm AAV4, AAV5 và AAV8, giúp chuyển nhiễm hiệu quả mô trong mắt, như biểu mô sắc tố võng mạc.

Trình tự của hệ gen AAV hoặc thành phần của hệ gen AAV bao gồm trình tự ITR, gen rep hoặc cap để sử dụng theo sáng chế có thể có nguồn gốc từ số truy nhập sau đây cho toàn bộ trình tự hệ gen AAV: virut liên hợp adeno 1 NC_002077, AF063497; virut liên hợp adeno 2 NC_001401; virut liên hợp adeno 3 NC_001729; virut liên hợp adeno 3B NC_001863; virut liên hợp adeno 4 NC_001829; virut liên hợp adeno 5 Y18065, AF085716; virut liên hợp adeno 6 NC_001862; AAV gia cầm ATCC VR-865 AY186198, AY629583, NC_004828; chủng AAV gia cầm DA-1 NC_006263, AY629583; AAV bò NC_005889, AY388617.

Virut AAV cũng có thể được dùng để chỉ về nhánh hoặc nhân bản. Việc này dùng để chỉ mối quan hệ phát sinh loài của virut AAV có nguồn gốc tự nhiên, và thông thường là nhóm phát sinh loài của virut AAV có thể được bắt nguồn từ tổ tiên chung, và bao gồm tất cả con cháu của nó. Ngoài ra, virut AAV có thể được dùng để chỉ về thể phân lập đặc hiệu, tức là thể phân lập di truyền của virut AAV đặc hiệu tìm thấy trong tự nhiên. Thuật ngữ thể phân lập di truyền mô tả quần thể của virut AAV mà trải qua trộn gen bị giới hạn với các virut AAV có trong tự nhiên khác, do đó xác định quần thể khác biệt có thể hiểu được ở cấp độ di truyền.

Ví dụ của nhánh và thể phân lập của AAV mà có thể được sử dụng theo sáng chế bao gồm:

Nhánh A: AAV1 NC_002077, AF063497, AAV6 NC_001862, Hu. 48
AY530611, Hu 43 AY530606, Hu 44 AY530607, Hu 46 AY530609,

Nhánh B: Hu. 19 AY530584, Hu. 20 AY530586, Hu 23 AY530589, Hu22 AY530588, Hu24 AY530590, Hu21 AY530587, Hu27 AY530592, Hu28 AY530593, Hu 29 AY530594, Hu63 AY530624, Hu64 AY530625, Hu13 AY530578, Hu56 AY530618, Hu57 AY530619, Hu49 AY530612, Hu58 AY530620, Hu34 AY530598, Hu35 AY530599, AAV2 NC_001401, Hu45 AY530608, Hu47 AY530610, Hu51 AY530613, Hu52 AY530614, Hu T41 AY695378, Hu S17 AY695376, Hu T88 AY695375, Hu T71 AY695374, Hu T70 AY695373, Hu T40 AY695372, Hu T32 AY695371, Hu T17 AY695370, Hu LG15 AY695377,

Nhánh C: Hu9 AY530629, Hu10 AY530576, Hu11 AY530577, Hu53 AY530615, Hu55 AY530617, Hu54 AY530616, Hu7 AY530628, Hu18 AY530583, Hu15 AY530580, Hu16 AY530581, Hu25 AY530591, Hu60 AY530622, Ch5 AY243021, Hu3 AY530595, Hu1 AY530575, Hu4 AY530602 Hu2, AY530585, Hu61 AY530623,

Nhánh D: Rh62 AY530573, Rh48 AY530561, Rh54 AY530567, Rh55 AY530568, Cy2 AY243020, AAV7 AF513851, Rh35 AY243000, Rh37 AY242998, Rh36 AY242999, Cy6 AY243016, Cy4 AY243018, Cy3 AY243019, Cy5 AY243017, Rh13 AY243013,

Nhánh E: Rh38 AY530558, Hu66 AY530626, Hu42 AY530605, Hu67 AY530627, Hu40 AY530603, Hu41 AY530604, Hu37 AY530600, Rh40 AY530559, Rh2 AY243007, Bb1 AY243023, Bb2 AY243022, Rh10 AY243015, Hu17 AY530582, Hu6 AY530621, Rh25 AY530557, Pi2 AY530554, Pi1 AY530553, Pi3 AY530555, Rh57 AY530569, Rh50 AY530563, Rh49 AY530562, Hu39 AY530601, Rh58 AY530570, Rh61 AY530572, Rh52 AY530565, Rh53 AY530566, Rh51 AY530564, Rh64 AY530574, Rh43 AY530560, AAV8 AF513852, Rh8 AY242997, Rh1 AY530556,

Nhánh F: Hu14 (AAV9) AY530579, Hu31 AY530596, Hu32 AY530597, Clonal Thẻ phân lập AAV5 Y18065, AF085716, AAV 3 NC_001729, AAV 3B NC_001863, AAV4 NC_001829, Rh34 AY243001, Rh33 AY243002, Rh32 AY243003.

Người có hiểu biết trung bình trong lĩnh vực kỹ thuật có thể chọn kiểu huyết thanh, nhánh, dòng hoặc thẻ phân lập của AAV phù hợp để sử dụng theo sáng chế trên cơ sở sự nhận biết chung thông thường của họ.

Cần được hiểu tuy nhiên rằng sáng chế cũng bao gồm việc sử dụng hệ gen AAV của các kiểu huyết thanh khác mà có thể chưa được nhận ra hoặc được đặc trưng. Kiểu huyết thanh AAV xác định tính đặc hiệu mô lây nhiễm (hoặc ái tính) của virut AAV. Do đó, kiểu huyết thanh AAV được ưu tiên để sử dụng ở virut AAV được dùng cho bệnh nhân theo sáng chế là kiểu huyết thanh có ái tính tự nhiên hoặc hiệu quả lây nhiễm cao của tế bào nhận sáng hình nón đích.

AAV kiểu dại, chứa gen virut, xen vật liệu hệ gen của chúng vào nhiễm sắc thể 19 của tế bào chủ. Hệ gen ADN sợi đơn AAV chứa hai lặp đầu cuối đảo ngược (ITR) và hai khung đọc mở, chứa gen cấu trúc (cap) và đóng gói (rep).

Thông thường là, hệ gen AAV của kiểu huyết thanh hoặc thể phân lập hoặc nhánh của AAV có nguồn gốc tự nhiên chứa ít nhất một trình tự lặp đầu cuối đảo ngược (ITR). Vectơ theo sáng chế thường chứa hai ITR, tốt hơn là một ở mỗi đầu hệ gen. Trình tự ITR hoạt động ở *cis* để tạo nguồn gốc chức năng sao chép, và cho phép tích hợp và loại bỏ vectơ từ hệ gen của tế bào. Trình tự ITR được ưu tiên là của AAV2 và biến thể của nó. Hệ gen AAV thường chứa gen đóng gói, như gen *rep* và/hoặc *cap* mã hóa chức năng đóng gói cho hạt virut AAV. Gen *rep* mã hóa một hoặc nhiều protein Rep78, Rep68, Rep52 và Rep40 hoặc biến thể của chúng. Gen *cap* mã hóa một hoặc nhiều protein capsit như VP1, VP2 và VP3 hoặc biến thể của chúng. Các protein này tạo nên capsit của hạt virut AAV. Biến thể capsit được thảo luận dưới đây.

Với mục đích trị liệu, ITR có thể được đè xuất *in cis* ngoài gen trị liệu. Virut AAV do đó có thể được cải biến: gen virut có thể được loại bỏ khỏi hệ gen, sản xuất AAV tái tổ hợp (rAAV). rAAV chứa gen trị liệu và ít nhất một ITR. Việc loại bỏ gen virut làm cho rAAV không có khả năng xen hoạt động hệ gen của nó vào ADN tế bào chủ. Thay vào đó, hệ gen rAAV hợp nhất thông qua ITR, tạo thành cấu trúc hình tròn, nhiều tầng, hoặc xen vào chỗ phá vỡ nhiễm sắc thể từ trước. Để sản xuất virut, gen cấu trúc và đóng gói, hiện được loại bỏ khỏi rAAV, được cung cấp *in trans*, ở dạng plasmid trợ giúp.

Tốt hơn là hệ gen AAV sẽ được tạo dẫn xuất nhằm mục đích sử dụng cho bệnh nhân. Dẫn xuất này là chuẩn trong lĩnh vực kỹ thuật và sáng chế bao gồm việc sử dụng dẫn xuất được biết bất kỳ của hệ gen AAV, và dẫn xuất có thể được tạo ra bằng cách áp dụng kỹ thuật được biết trong lĩnh vực kỹ thuật.

Dẫn xuất của hệ gen AAV bao gồm dạng bị cắt cụt hoặc được cải biến bất kỳ của hệ gen AAV mà cho phép biểu hiện chuyển gen Rep-1 từ vectơ theo sáng chế *in vivo*. Thông thường là, có thể cắt cụt hệ gen AAV đáng kể để bao gồm trình tự virut tối thiểu nhưng giữ được chức năng ở trên. Việc này được ưu tiên vì lý do an toàn để giảm nguy cơ tái tổ hợp vectơ với virut kiểu đại, và cũng để tránh kích hoạt đáp ứng miễn dịch tế bào bởi sự có mặt của protein gen virut trong tế bào đích.

Thông thường là, dẫn xuất sẽ bao gồm ít nhất một trình tự lặp đầu cuối đảo ngược (ITR), tốt hơn là nhiều hơn một ITR, như hai ITR hoặc nhiều hơn. Một hoặc nhiều ITR có thể có nguồn gốc từ hệ gen AAV có các kiểu huyết thanh khác nhau, hoặc có thể là ITR khảm hoặc đột biến. ITR đột biến được ưu tiên là trình tự mất *trs* (vị trí phân giải đầu cuối). Sự mất này cho phép sao chép liên tục hệ gen để tạo ra hệ gen sợi đơn mà chứa cả hai trình tự mã hóa và bổ trợ, tức là hệ gen AAV tự bổ trợ. Việc này cho phép bỏ qua sao chép ADN ở tế bào đích, và do đó cho phép biểu hiện chuyển gen tăng tốc.

Một hoặc nhiều ITR tốt hơn là sẽ ở sườn caset cấu trúc biểu hiện chứa gen khởi đầu và chuyển gen theo sáng chế. Sự bao gồm một hoặc nhiều ITR được ưu tiên để hỗ trợ đóng gói vectơ theo sáng chế thành hạt virut. Theo phương án được ưu tiên, thành phần ITR sẽ chỉ là trình tự giữ được từ hệ gen AAV nguyên thủy ở dẫn xuất. Vì vậy, dẫn xuất tốt hơn là sẽ không bao gồm gen *rep* và/hoặc *cap* của hệ gen nguyên thủy và các trình tự khác bất kỳ của hệ gen nguyên thủy. Việc này được ưu tiên vì lý do được mô tả ở trên, và cũng để giảm khả năng tích hợp vectơ vào hệ gen tế bào chủ. Ngoài ra, giảm kích thước của hệ gen AAV cho phép tăng linh hoạt trong việc kết hợp các thành phần trình tự khác (như thành phần điều hòa) trong vectơ ngoài chuyển gen.

Tham chiếu đến hệ gen AAV2, phần sau đây do đó có thể được loại bỏ ở dẫn xuất theo sáng chế: Một trình tự lặp đầu cuối đảo ngược (ITR), gen sao chép (*rep*) và capsit (*cap*). Tuy nhiên, theo một số phương án, bao gồm phương án *in vitro*, dẫn xuất ngoài ra có thể bao gồm một hoặc nhiều gen *rep* và/hoặc *cap* hoặc các trình tự virut khác của hệ gen AAV.

Dẫn xuất có thể là dẫn xuất khảm, được bố trí lại hoặc cải biến capsit của một hoặc nhiều virut AAV có trong tự nhiên. Sáng chế bao gồm sự cung cấp trình tự protein capsit từ các kiểu huyết thanh, nhánh, dòng, hoặc thể phân lập của AAV khác nhau trong

cùng một vecto. Sáng chế bao gồm sự đóng gói hệ gen của một kiểu huyết thanh thành capsit của kiểu huyết thanh khác, tức là giả mạo.

Dẫn xuất khâm, được bố trí lại hoặc cải biến capsit thông thường là sẽ được chọn để tạo một hoặc nhiều chức năng mong muốn cho vecto virut. Vì vậy, các dẫn xuất này có thể hiển thị hiệu quả phân phối gen tăng, giảm khả năng sinh miễn dịch (thể dịch hoặc tế bào), phạm vi ái tính bị thay đổi và/hoặc việc nhắm đích được cải thiện loại tế bào cụ thể so với vecto virut AAV chứa hệ gen AAV có trong tự nhiên, như hệ gen của AAV2. Tăng hiệu quả phân phối gen có thể được thực hiện bằng cách cải thiện liên kết thụ thể hoặc đồng thụ thể tại bề mặt tế bào, cải thiện nội bộ, cải thiện buôn bán trong tế bào và thành hạt nhân, cải thiện việc phát hiện ra hạt virut và cải thiện biến đổi hệ gen sợi đơn thành dạng sợi đôi. Hiệu quả tăng lên cũng có thể liên quan đến phạm vi nhiệt đới bị thay đổi hoặc việc nhắm mục tiêu quần thể tế bào đặc hiệu, sao cho liều vecto không được pha loãng bởi việc sử dụng cho mô không cần thiết.

Protein capsit khâm bao gồm protein được tạo ra bằng cách tái tổ hợp giữa hai hay nhiều trình tự mã hóa capsit của kiểu huyết thanh AAV có trong tự nhiên. Việc này có thể được tiến hành ví dụ bằng cách tiếp cận cứu hộ dấu hiệu trong đó trình tự capsit không lây nhiễm của một kiểu huyết thanh được đồng truyền nhiễm với trình tự capsit của kiểu huyết thanh khác, và lựa chọn theo hướng được sử dụng để chọn cho trình tự capsit có đặc tính mong muốn. Trình tự capsit của các kiểu huyết thanh khác nhau có thể được thay đổi bằng cách tái tổ hợp tương đồng trong tế bào để tạo ra protein capsit khâm mới.

Protein capsit khâm cũng bao gồm protein được tạo ra bằng kỹ thuật của trình tự protein capsit để chuyển miền protein capsit đặc hiệu, vòng lặp bề mặt hoặc gốc axit amin đặc hiệu giữa hai hoặc nhiều protein capsit, ví dụ giữa hai hoặc nhiều protein capsit của các kiểu huyết thanh khác nhau.

Protein capsit được bố trí lại hoặc khâm cũng có thể được tạo ra bằng cách xáo trộn ADN hoặc bằng PCR để bị lỗi. Gen capsit AAV lai có thể được tạo thành bằng cách phân mảnh ngẫu nhiên trình tự của gen AAV liên quan ví dụ gen mã hóa protein capsit của nhiều kiểu huyết thanh khác nhau và sau đó tập hợp lại các mảnh trong phản ứng polymeraza tự mồi, phản ứng này cũng có thể gây ra sự giao nhau trong các vùng tương đồng trình tự. Thư viện gen AAV lai được tạo thành theo cách này bằng cách xáo trộn

gen capsit của một số kiểu huyết thanh có thể được sàng lọc để xác định dòng virut có chức năng mong muốn. Tương tự, PCR có xu hướng sai số có thể được sử dụng để đột biến ngẫu nhiên gen capsit AAV để tạo thành thư viện biến thể đa dạng mà có thể sau đó được chọn cho đặc tính mong muốn.

Trình tự của gen capsit cũng có thể được cải biến về mặt di truyền để đưa đoạn mất, thay hoặc xen đặc hiệu liên quan đến trình tự kiểu đại nguyên thủy. Cụ thể là, gen capsit có thể được cải biến bằng cách xen trình tự của protein hoặc peptit không liên quan trong khung đọc mở của trình tự mã hóa capsit, hoặc ở đầu cuối N và/hoặc C của trình tự mã hóa capsit.

Protein hoặc peptit không liên quan có thể thuận lợi hoạt động như một phôi tử cho loại tế bào cụ thể, nhờ đó tạo ra liên kết được cải thiện với tế bào đích hoặc cải thiện tính đặc hiệu nhắm đích của vectơ với quần thể tế bào cụ thể.

Protein không liên quan cũng có thể là protein mà hỗ trợ tinh chế hạt virut như một phần của quy trình sản xuất tức là epitop hoặc thẻ ái lực. Vị trí xen thông thường sẽ được chọn để không gây trở ngại cho các chức năng khác của hạt virut ví dụ nội bộ hóa, buôn bán hạt virut. Người có hiểu biết trung bình trong lĩnh vực kỹ thuật có thể xác định vị trí thích hợp để xen dựa trên sự nhận biết thông thường chung của họ.

Sáng chế ngoài ra bao gồm sự cung cấp trình tự của hệ gen AAV theo thứ tự và cấu hình khác với của hệ gen AAV nguyên thủy. Sáng chế cũng bao gồm việc thay thế một hoặc nhiều trình tự AAV hoặc gen với trình tự từ virut khác hoặc gen khám gồm trình tự từ nhiều hơn một virut. Gen khám này có thể gồm trình tự từ hai hoặc nhiều protein virut liên quan của các loài virut khác nhau.

Vectơ theo sáng chế có dạng vectơ virut chứa gen khởi đầu và cấu trúc biểu hiện theo sáng chế.

Để tránh nghi ngờ, sáng chế cũng đề xuất hạt virut AAV chứa vectơ theo sáng chế. Hạt AAV theo sáng chế bao gồm dạng chuyển capsit trong đó hệ gen AAV hoặc dẫn xuất có ITR của một kiểu huyết thanh được đóng gói trong capsit của kiểu huyết thanh khác. Hạt AAV theo sáng chế cũng bao gồm dạng khám trong đó hỗn hợp các protein capsit không cải biến từ hai hoặc nhiều kiểu huyết thanh khác nhau tạo thành vỏ bao của virut. Hạt AAV cũng bao gồm các dạng cải biến hóa học mang các phôi tử được

hấp phụ lên bề mặt của capsit. Ví dụ, các phôi tử này có thể bao gồm các kháng thể để nhắm đích thụ thể của bề mặt tế bào cụ thể.

Hệ gen AAV2, giống như hệ gen của tất cả các kiểu huyết thanh AAV, có thể được bao bọc trong nhiều protein capsit khác nhau. AAV2 có thể được đóng gói trong capsit AAV2 tự nhiên của nó (AAV2/2) hoặc nó có thể được tạo kiểu giả (pseudotype) với các capsit khác (ví dụ, hệ gen AAV2 trong capsit AAV1, dẫn đến AAV2/1, hoặc hệ gen AAV2 trong capsit AAV8, dẫn đến AAV2/8).

Theo phương án được ưu tiên, capsit AAV có nguồn gốc từ AAV8. Theo phương án được đặc biệt ưu tiên, trong đó trình tự được liên kết có điều khiển là gen *CNGA3*, được ưu tiên là capsit là AAV8 hoặc capsit khác khác với AAV5.

AAV chuyển hóa tế bào thông qua sự thực ẩm bào được điều tiết bởi thụ thể đặc hiệu kiểu huyết thanh. Yếu tố chính ảnh hưởng tới động học của việc biểu hiện gen chuyển rAAV là tỷ lệ của hạt virut tháo vỏ bọc trong thể nhân. Về phần mình, điều này phụ thuộc vào kiểu capsit bao bọc vật liệu di truyền. Sau khi tháo vỏ bọc, hệ gen rAAV sợi đơn thẳng được làm ổn định bằng cách tạo ra phân tử sợi kép thông qua quá trình tổng hợp *de novo* sợi bổ trợ. Việc sử dụng ADN tự bổ trợ có thể bỏ qua giai đoạn này bằng cách sản xuất ADN gen chuyển sợi kép. Đã được phát hiện ra rằng việc biểu hiện gen AAV2/8 tự bổ trợ có sự bắt đầu nhanh hơn và biên độ cao hơn, so với AAV2/8 sợi đơn. Vì vậy, bằng cách đi tránh thời gian trễ liên quan đến việc tổng hợp sợi thứ hai, mức độ biểu hiện gen được làm tăng lên so với sự biểu hiện gen chuyển từ cấu trúc sợi đơn tiêu chuẩn. Các nghiên cứu tiếp theo khảo sát tác động của ADN tự bổ trợ ở các kiểu giả AAV khác cũng tạo ra các kết quả tương tự. Một lưu ý đối với kỹ thuật này là, do AAV có dung lượng đóng gói khoảng 4,8kb, nên hệ gen tái tổ hợp tự bổ trợ phải có kích thước phù hợp (nghĩa là 2,3kb hoặc nhỏ hơn).

Ngoài việc thay đổi dung lượng đóng gói, việc tạo kiểu giả hệ gen AAV2 với các capsit AAV khác còn có thể làm thay đổi đặc trưng của tế bào và động học của việc biểu hiện gen chuyển. Ví dụ, khi AAV2 được tạo kiểu giả với capsit AAV4, sự biểu hiện gen chuyển đặc hiệu nhắm đến tế bào RPE. Ngoài ra, AAV2/8 được báo cáo là chuyển hóa tế bào nhận sáng hiệu quả hơn so với AAV2/2 hoặc AAV2/5.

Chuẩn bị vector

Vectơ theo sáng chế có thể được chuẩn bị bằng phương pháp tiêu chuẩn được biết trong lĩnh vực kỹ thuật để cung cấp vectơ cho liệu pháp. Vì vậy, các phương pháp chuyển nhiễm miễn công cộng, đóng gói và tinh chế đã được biết rõ có thể được sử dụng để tạo ra chế phẩm vectơ thích hợp.

Như được thảo luận ở trên, vectơ theo sáng chế có thể chứa hệ gen đầy đủ của virut AAV có trong tự nhiên ngoài gen khởi đầu theo sáng chế hoặc biến thể của nó. Tuy nhiên, thông thường, hệ gen được phái sinh sẽ được sử dụng, ví dụ thê phái sinh mà có ít nhất một trình tự lặp đoạn cuối đảo ngược (ITR), nhưng có thể thiếu gen AAV như *rep* hoặc *cap*.

Theo các phương án này, để cung cấp cụm hệ gen đã được phái sinh vào hạt virut AAV, các cấu trúc gen bổ sung cung cấp AAV và/hoặc các chức năng virut hỗ trợ có thể được cung cấp trong tế bào chủ kết hợp với hệ gen được phái sinh. Các cấu trúc bổ sung này thường sẽ chứa các gen mã hóa protein capsit AAV cấu trúc nghĩa là *cap*, VP1, VP2, VP3, và các gen mã hóa các chức năng khác được yêu cầu cho chu trình sống của AAV, như *rep*. Việc chọn lọc các protein capsit cấu trúc được đưa ra trên các cấu trúc bổ sung sẽ xác định kiểu huyết thanh của vecto virut đã đóng gói.

Vectơ virut được đóng gói được đặc biệt ưu tiên riêng để sử dụng trong sáng chế chứa hệ gen được phái sinh của AAV2 kết hợp với protein capsit AAV8.

Như được đề cập ở trên, các virut AAV không có khả năng sao chép và do đó các chức năng virut hỗ trợ, tốt hơn là các chức năng hỗ trợ adenovirut cũng có thể được đưa ra trên một hoặc nhiều cấu trúc bổ sung để cho phép sao chép AAV. Các hệ thống cũng được biết với người có hiểu biết trung bình trong lĩnh vực kỹ thuật mà sử dụng cấu trúc đơn mà chứa chức năng hỗ trợ *rep*, *cap* và Ad, vì vậy cấu trúc hỗ trợ bổ sung không được yêu cầu.

Tất cả các cấu trúc bổ sung ở trên có thể được đề xuất dưới dạng plasmid hoặc các yếu tố episom khác trong tế bào chủ, hoặc theo cách khác là một hoặc nhiều cấu trúc có thể được kết hợp vào hệ gen của tế bào chủ.

Đơn vị kiểm soát phiên mã theo sáng chế có khả năng cứu việc mất chức năng tế bào nhận sáng hình nón, có thể xảy ra ví dụ bởi đột biến ở gen CNGA3. “Cứu” thường có nghĩa là bất kỳ sự làm giảm hoặc làm chậm tốc độ phát triển của rối loạn võng mạc hoặc kiểu hình loạn dưỡng, ví dụ khôi phục sự hiện diện của protein CNGA3 trong tế

bào nhận sáng hình nón, cải thiện hoạt tính ERG hoặc làm chậm việc mất hoạt tính ERG, cải thiện độ nhạy võng mạc hoặc làm chậm/tạm dừng việc mất tiến triển độ nhạy võng mạc, làm chậm hoặc tạm dừng mất tế bào nhận sáng, cải thiện quan sát hoặc làm chậm/tạm dừng việc mất thị lực.

Đặc tính của đơn vị kiểm soát phiên mã theo sáng chế cũng có thể được thí nghiệm sử dụng kỹ thuật dựa trên kỹ thuật ở ví dụ. Cụ thể là, đơn vị kiểm soát phiên mã theo sáng chế có thể được lắp vào vectơ theo sáng chế và được truyền đến võng mạc của động vật thí nghiệm thiêu *CNGA3*, như chuột, và tác dụng được quan sát và so với đối chứng. Tốt hơn là, đối chứng sẽ là mắt khác của cùng động vật, không được điều trị hoặc được điều trị với vectơ đối chứng như vectơ chứa gen chỉ thị trái ngược với trình tự theo sáng chế. Phân tích điện học của đáp ứng võng mạc với ánh sáng sau đó có thể được sử dụng để xác nhận rằng tế bào nhận sáng trong đôi mắt mà được điều trị nhạy cảm với ánh sáng hơn tế bào nhận sáng từ đôi mắt mà không được điều trị hoặc được điều trị với vectơ đối chứng. Độ nhạy của mắt được điều trị với ánh sáng có thể ví dụ lớn hơn ít nhất là 1,1, 1,2, 1,5, 2, 5, 10, 20, 50, 100, 200, 500 hoặc 1000 lần độ nhạy của mắt được điều trị đối chứng hoặc không được điều trị.

Phương pháp điều trị bệnh và ứng dụng trong y học

Theo một khía cạnh, sáng chế đề xuất phân tử axit nucleic (như TCU, gen khởi đầu và mảnh của nó, gen tối ưu hóa codon, cấu trúc biểu hiện, và vectơ) cũng như phương pháp điều trị và/hoặc ngăn ngừa rối loạn hoặc loạn dưỡng võng mạc ở bệnh nhân cần điều trị.

Võng mạc gồm lớp tế bào biểu mô sắc tố võng mạc (RPE) và ba lớp tế bào thần kinh; cụ thể là (từ ngoài vào trong), lớp hạt nhân bên ngoài (chứa tế bào nhận sáng hình que và hình nón), lớp hạt nhân bên trong (chứa tế bào lưỡng cực), và lớp tế bào hạch. Rối loạn hoặc loạn dưỡng võng mạc có thể được xác định là bệnh của võng mạc, được đặc trưng bởi việc mất tiến triển tế bào nhận sáng và việc mất quan sát đồng thời. Rối loạn hoặc loạn dưỡng võng mạc có thể được di truyền rối loạn hoặc loạn dưỡng võng mạc.

Theo một phương án, phân tử axit nucleic và phương pháp được đề xuất để điều trị và/hoặc ngăn ngừa loạn dưỡng tế bào nón-que và/hoặc loạn dưỡng tế bào nón. Loạn dưỡng tế bào nón-que có thể được xác định là bệnh được đặc trưng bởi việc mất tiến

triển tế bào nhận sáng hình nón và việc mất quan sát đồng thời và có thể được di truyền. Theo một phương án, rối loạn võng mạc là mù màu hoặc thoái hóa điểm vàng. Thoái hóa điểm vàng có thể là thoái hóa điểm vàng liên quan đến độ tuổi (AMD), ví dụ AMD ướt hoặc tạo mạch mới hoặc teo địa lý, tình trạng bệnh thoái hóa điểm vàng di truyền hoặc loạn dưỡng tế bào nón di truyền.

Thuật ngữ “bệnh nhân” và “đối tượng” có thể được sử dụng thay phiên nhau. Bệnh nhân tốt hơn là động vật có vú. Động vật có vú có thể là động vật được nuôi thương mại, như ngựa, bò, cừu hoặc lợn, động vật phòng thí nghiệm, như chuột hoặc chuột nhắt, hoặc vật nuôi, như mèo, chó, thỏ hoặc chuột lang. Bệnh nhân tốt hơn nữa là người. Đối tượng có thể là đực hoặc cái. Đối tượng tốt hơn là được nhận ra là có nguy cơ, hoặc có, rối loạn hoặc loạn dưỡng vòng mạc.

Thuật ngữ “điều trị,” “được điều trị,” “đang điều trị,” hoặc “sự điều trị” như được sử dụng ở đây dùng để chỉ cả biện pháp điều trị trị liệu và phòng ngừa hoặc ngăn ngừa, trong đó đối tượng là ngăn ngừa hoặc làm chậm (giảm bớt) tình trạng bệnh, rối loạn hoặc bệnh sinh lý không mong muốn, hoặc để có được các kết quả lợi ích hoặc lâm sàng mong muốn. Với mục đích của sáng chế, các kết quả lợi ích hoặc lâm sàng mong muốn bao gồm, nhưng không bị giới hạn ở, giảm bớt triệu chứng; giảm mức độ của tình trạng bệnh, rối loạn hoặc bệnh; ổn định (tức là không xấu đi) trạng thái của tình trạng bệnh, rối loạn hoặc bệnh; trì hoãn phát hoặc làm chậm tốc độ phát triển của tình trạng bệnh, rối loạn hoặc bệnh; làm giảm tình trạng bệnh, rối loạn hoặc trạng thái bệnh; và thuyên giảm (cho dù một phần hay toàn bộ), cho dù có thể phát hiện được hoặc không thể phát hiện được, hoặc tăng cường hoặc cải thiện tình trạng bệnh, rối loạn hoặc bệnh. Điều trị bao gồm gợi ra đáp ứng ý nghĩa lâm sàng không có quá nhiều mức độ tác dụng phụ.

Bệnh nhân có thể không có triệu chứng và/hoặc có thể có khuynh hướng bệnh. Như vậy, sáng chế cũng đề xuất phương pháp hoặc sử dụng mà bao gồm bước xác định xem có hay không đối tượng có nguy cơ phát triển, hoặc có, rối loạn võng mạc, như loạn dưỡng tế bào nón, bao gồm, nhưng không bị giới hạn ở, mù màu. Lượng có tác dụng phòng ngừa axit nucleic, như vectơ, như được sáng chế mô tả có thể được dùng cho đối tượng này. Lượng có tác dụng phòng ngừa là lượng mà ngăn ngừa phát một hoặc nhiều triệu chứng bệnh. Như vậy, theo một số phương án, axit nucleic, như vectơ, như được sáng chế mô tả có thể được dùng để ngăn ngừa hoặc trì hoãn phát một hoặc nhiều triệu chứng rối loạn võng mạc, như loạn dưỡng tế bào nón-que, bao gồm, nhưng không bị

giới hạn ở, mù màu. Tương tự, axit nucleic, như vectơ, như được sáng chế mô tả có thể được dùng khi triệu chứng bệnh xuất hiện ở đối tượng tức là để chữa triệu chứng bệnh hiện có. Lượng có tác dụng chữa bệnh của axit nucleic, như vectơ, như được sáng chế mô tả có thể được dùng cho đối tượng. Như được sử dụng ở đây, “lượng có tác dụng chữa bệnh” có nghĩa là lượng axit nucleic đặt ra ở đây mà, khi được dùng cho động vật có vú, có tác dụng trong việc tạo ra tác dụng trị liệu mong muốn. Theo một phương án, sáng chế đề xuất phương pháp điều trị và/hoặc ngăn ngừa rối loạn hoặc loạn dưỡng vòng mạc, trong đó axit nucleic, như vectơ, như được sáng chế mô tả được dùng cho bệnh nhân cần điều trị lượng có tác dụng chữa bệnh. Theo một số phương án, rối loạn hoặc loạn dưỡng vòng mạc là loạn dưỡng tế bào nón, bao gồm, nhưng không bị giới hạn ở, mù màu.

Sáng chế cũng đề xuất sử dụng axit nucleic, như vectơ, như được sáng chế mô tả trong việc sản xuất thuốc để điều trị hoặc ngăn ngừa rối loạn hoặc loạn dưỡng vòng mạc, như loạn dưỡng tế bào nón, bao gồm, nhưng không bị giới hạn ở, mù màu. Sáng chế cũng đề xuất phương pháp điều trị hoặc ngăn ngừa rối loạn võng mạc, như loạn dưỡng tế bào nón, cụ thể là mù màu ở bệnh nhân cần điều trị bao gồm sử dụng lượng có tác dụng chữa bệnh của axit nucleic, như vectơ, như được sáng chế mô tả cho bệnh nhân.

Phương pháp sử dụng

Nói chung, phân phôi axit nucleic võng mạc trực tiếp, dưới võng mạc hoặc trong thê kính, như vectơ, như được sáng chế mô tả, thường là bằng cách tiêm, được ưu tiên. Phân phôi đến không gian võng mạc, dưới võng mạc không gian hoặc trong thê kính vì vậy được ưu tiên.

Sáng chế do đó cũng đề xuất phương pháp điều trị hoặc ngăn ngừa loạn dưỡng tế bào nón, cụ thể là mù màu ở bệnh nhân cần điều trị, bao gồm việc sử dụng lượng tác dụng chữa bệnh của axit nucleic, như vectơ, như được sáng chế mô tả cho bệnh nhân bằng cách tiêm võng mạc trực tiếp, dưới võng mạc hoặc trong thê kính.

Theo khía cạnh liên quan, sáng chế đề xuất sử dụng axit nucleic, như vectơ, như được sáng chế mô tả ở phương pháp điều trị hoặc ngăn ngừa rối loạn võng mạc, như loạn dưỡng tế bào nón, cụ thể là mù màu bằng cách sử dụng vectơ này cho bệnh nhân bằng cách tiêm võng mạc trực tiếp, dưới võng mạc hoặc trong thê kính.

Ngoài ra, sáng chế đề xuất sử dụng axit nucleic, như vectơ, như được sáng chế mô tả trong việc sản xuất thuốc để điều trị hoặc ngăn ngừa rối loạn võng mạc, như loạn dưỡng tế bào nón, cụ thể là mù màu bằng cách tiêm võng mạc trực tiếp, dưới võng mạc hoặc trong thẻ kính.

Sáng chế cũng đề xuất axit nucleic, như vectơ, như được sáng chế mô tả để sử dụng trong việc điều trị rối loạn võng mạc, như loạn dưỡng tế bào nón, cụ thể là mù màu, trong đó vectơ này được dùng trực tiếp vào võng mạc, không gian dưới võng mạc hoặc không gian trong thẻ kính.

Việc sử dụng axit nucleic, như vectơ, như được sáng chế mô tả thông thường là bằng cách tiêm võng mạc trực tiếp hoặc dưới võng mạc. Việc này bao gồm phân phôi trực tiếp đến tế bào nhận sáng hình nón.

Việc phân phôi thông thường là được tiến hành trực tiếp, hoặc dưới võng mạc, võng mạc thoái hóa ở bệnh nhân mắc rối loạn võng mạc, như loạn dưỡng tế bào nón-que, cụ thể là mù màu.

Axit nucleic, như vectơ, như được sáng chế mô tả có thể chuyển hóa tế bào đích ở trên mà không cần nhập quản thể tế bào khác bất kỳ. Tiêm trong thẻ kính cũng có thể được sử dụng để cung cấp vectơ theo sáng chế.

Liều axit nucleic, như vectơ, như được sáng chế mô tả có thể được xác định theo các thông số khác nhau, đặc biệt là theo độ tuổi, khối lượng và tình trạng bệnh của bệnh nhân cần được điều trị; đường sử dụng; và chế độ được yêu cầu. Lần nữa, bác sĩ sẽ có thể xác định đường sử dụng và liều lượng được yêu cầu cho bệnh nhân cụ thể bất kỳ.

Liều đơn thông thường nằm trong khoảng từ 10^{10} đến 10^{12} hạt hệ gen, phụ thuộc vào lượng mô võng mạc còn lại mà cần chuyên nạp. Hạt hệ gen được xác định ở đây là capsid AAV mà chứa phân tử ADN sợi đơn mà có thể được xác định với phương pháp đặc hiệu trình tự (như PCR thời gian thực). Liều đó có thể được đề xuất dưới dạng liều đơn, nhưng có thể được lặp đồi với mắt đồng loại hoặc trong trường hợp axit nucleic, như vectơ, như được sáng chế mô tả có thể không nhắm đến vùng võng mạc chính xác vì bất kỳ lý do gì (như biến chứng phẫu thuật). Điều trị tốt hơn là điều trị dài hạn đơn cho mỗi mắt, nhưng tiêm lặp lại, ví dụ trong những năm tới và/hoặc với các kiểu huyết thanh AAV khác nhau có thể được xem xét.

Tế bào chủ

Sáng chế thêm vào đó để xuất tế bào chủ chứa axit nucleic, như vectơ hoặc vectơ virut, hoặc hạt virut AAV được sáng chế mô tả. Tế bào chủ thích hợp bất kỳ có thể được sử dụng để tạo ra axit nucleic, như vectơ này, được sáng chế mô tả. Thông thường, tế bào này sẽ là tế bào động vật có vú chuyển giao, nhưng các loại tế bào khác, ví dụ tế bào côn trùng, cũng có thể được sử dụng. Về hệ thống sản xuất tế bào động vật có vú, HEK293 và HEK293T được ưu tiên cho vectơ AAV. Tế bào BHK hoặc CHO cũng có thể được sử dụng.

Dược phẩm và liều lượng

Sáng chế còn đề xuất dược phẩm chứa axit nucleic, như vectơ, được sáng chế mô tả, cũng như chất mang dược dụng, chất pha loãng, tá dược, chất bổ trợ, chất đệm, chất ổn định, và/hoặc các vật liệu khác đã được biết với người có hiểu biết trung bình trong lĩnh vực. Các vật liệu này không nên độc hại và không nên gây trở ngại cho hiệu quả của thành phần hoạt tính. Cũng được đề xuất là dược phẩm mà chứa chất mang dược dụng, chất pha loãng, tá dược, chất bổ trợ, chất đệm, chất ổn định, và/hoặc các vật liệu khác đã được biết với người có hiểu biết trung bình trong lĩnh vực và trình tự axit nucleic, plasmit, vectơ, hoặc vectơ virut như được mô tả ở đây.

Bản chất chính xác của chất mang hoặc vật liệu khác có thể được xác định bởi người có hiểu biết trung bình trong lĩnh vực kỹ thuật theo đường sử dụng, tức là ở đây tiêm tĩnh mạch trực tiếp, dưới tĩnh mạch hoặc trong thể kính.

Dược phẩm thông thường là ở dạng lỏng. Dược phẩm lỏng thường bao gồm chất mang lỏng như nước, xăng dầu, dầu động vật hoặc thực vật, dầu khoáng hoặc dầu tổng hợp. Dung dịch muối sinh lý, magie clorua, dextroza hoặc dung dịch saccarit khác hoặc glycol như etylen glycol, propylen glycol hoặc polyetylen glycol có thể được bao gồm. Trong một số trường hợp, chất hoạt động bề mặt, như axit pluronic (PF68) 0,001% có thể được sử dụng.

Để tiêm ở vị trí phiền não, thành phần hoạt chất sẽ ở dạng dung dịch nước không chứa pyrogen và có độ pH thích hợp, đắng truong và ổn định. Người có hiểu biết trung bình trong lĩnh vực có thể tạo ra dung dịch thích hợp sử dụng, ví dụ, phương tiện đắng truong như tiêm natri clorua, tiêm Ringer, tiêm Ringer lactat hóa, dung dịch Hartmann. Chất bảo quản, chất ổn định, chất đệm, chất chống oxy hóa và/hoặc các phụ gia khác có thể được bao gồm, như được yêu cầu.

Để giải phóng chậm, vectơ có thể được bao gồm trong dược phẩm mà được bào chế để giải phóng từ từ, như trong các vi nang được hình thành từ các polyme tương hợp sinh học hoặc trong hệ thống chất mang liposom theo phương pháp được biết trong lĩnh vực.

Liều lượng và chế độ liều lượng có thể được xác định trong hiếu biết trung bình của người hành nghề y tế chịu trách nhiệm về việc sử dụng chế phẩm. Liều lượng của (các) hoạt chất có thể thay đổi, phụ thuộc vào lý do sử dụng, đối tượng cá thể, và Phương pháp sử dụng. Liều lượng có thể được điều chỉnh dựa trên khối lượng của đối tượng, độ tuổi và sức khỏe của đối tượng, và dung nạp đối với (các) hợp chất hoặc chế phẩm.

Liệu pháp kết hợp

Axit nucleic, TCU, gen khởi đầu, gen tối ưu hóa codon, cấu trúc biểu hiện, vectơ và/hoặc dược phẩm được sáng chế mô tả có thể được sử dụng kết hợp với liệu pháp khác bất kỳ để điều trị và/hoặc ngăn ngừa rối loạn võng mạc, như loạn dưỡng tế bào nón, bao gồm, nhưng không bị giới hạn ở, mù màu.

Kit

Axit nucleic, TCU, gen khởi đầu, gen tối ưu hóa codon, cấu trúc biểu hiện, vectơ và/hoặc dược phẩm được sáng chế mô tả có thể được đóng gói thành kit.

Ví dụ thực hiện sáng chế

Vật liệu và phương pháp

Cấu trúc plasmit

Để tạo thành phiên bản cải thiện của gen khởi đầu *opsin tế bào nón xanh lá*, vùng kiểm soát quỹ tích (LCR) 1250-bp (Smallwood et al., 2002) được kết hợp với các mảnh gen khởi đầu lõi opsin xanh lá khác nhau (bp -480 đến +40) thành plasmit cha mẹ pAAV/CMV.eGFP, tạo ra cấu trúc plasmit pAAV/hG1.7.eGFP và pAAV/hG1.4.eGFP. Cấu trúc vectơ mang gen khởi đầu đột biến ‘M8’ được tạo ra bằng cách gộp đột biến đặc hiệu vị trí.

Với cấu trúc gen trị liệu, pAAV/coCNGA3 được tạo thành bằng cách nhân bản vô tính trình tự CNGA3 được tối ưu hóa codon và Kozak từ plasmit pUC57 (tạo ra bởi GenScript) thành plasmit pAAV mang các cấu trúc gen khởi đầu opsin tế bào nón xanh lá (M) khác nhau.

Tối ưu hóa codon

Tối ưu hóa codon đạt được bằng công cụ tối ưu hóa codon OptimumGeneTM thích hợp của GenScript.

Giao thức sản xuất virut AAV2/8 và AAV2/5

Virut 8 kiểu huyết thanh AAV2 và virut 5 kiểu huyết thanh AAV2 tái tổ hợp được tạo ra sử dụng chuyển nhiễm ba của phương pháp tế bào 293T được mô tả trước đó (Gao et al. 2002). Đĩa 145cm² của đĩa tế bào 293T (20 đĩa mỗi mẻ virut) được truyền với hỗn hợp chứa plasmid quan tâm:plasmid capsid virut:ADN plasmid hỗ trợ theo tỷ lệ 1:1:3, polyetylenimin (PEI - Polysciences Inc., Eppelheim, Germany) và DMEM sau khi ủ 10 phút. Các tế bào được chuyển giao được nằm trên giường trong 24 giờ. 48 giờ sau khi chuyển nhiễm, tế bào được thu hoạch, cô đặc bằng ly tâm, tái sử dụng trong đệm TD (NaCl 140 mM, KCl 5 mM, K₂HPO₄ 0,7 mM, MgCl₂ 3,5 mM, Tris Base 25 mM [độ pH = 7,5]). Sau đó đệm này được phân giải bằng 3-4 chu trình quá trình đông lạnh-rã đông, theo dõi bởi điều trị Benzonase (Sigma Aldrich, Dorset, UK), và sau đó các mảnh vụn tế bào được loại bỏ bằng cách ly tâm liên tiếp và các bước lọc ống tiêm.

Tinh chế được tiến hành bằng sắc ký trao đổi ion (sử dụng phương pháp dựa trên phương pháp bởi Davidoff et al. 2004). Dịch rửa giải được cô đặc trong ống cô đặc Vivaspin 4 10kDa (Sartorius Stedim Biotech, Fisher Scientific, Loughborouh, UK), rửa trong PBS-MK, sau đó cô đặc vào 100-150µl thể tích, sau đó được trích để lưu trữ -80°C (dài hạn) hoặc + 4°C (ngắn hạn).

Sản xuất và chuyển nạp các cơ quan tử vong mạc có nguồn gốc tế bào gốc của người

Dòng tế bào gốc bào thai (ESC) H9 của người được duy trì ở tình trạng không có bộ cấp liệu trên môi trường E8 và đĩa 6 lỗ phủ geltrex. hESC được phân ly sử dụng dung dịch dispaza và collagenaza. Các khối ESC được thu thập và tái huyền phù lại trong môi trường E8. Để biệt hóa thần kinh vong mạc ESC của người được duy trì cho đến khi hợp lưu khi môi trường không có FGF được thêm vào các giống cây trong hai ngày. Môi trường cảm ứng thần kinh (DMEM/F12 nâng cao, axit amin không thiết yếu MEM, phần bổ sung N2, Glutamin và Pen/Strep 100mM) được thêm vào cho đến khi mун nước được quan sát. Các mун nước được cắt bỏ thủ công và giữ trong đĩa 96 lỗ ở môi trường biệt hóa vong mạc (DMEM, F12, Pen/Strep và B27 không có axit retinoic) và lúc 6 tuần môi

trường biệt hóa được bổ sung FBS, taurin và glutamax và lúc 10 tuần RA đã được bổ sung.

Các vectơ AAV (kiểu huyết thanh SsH10) mang cấu trúc *gen khởi đầu opsin tế bào nón xanh lá* điều khiển eGFP được thêm vào môi trường ở $1,2 \times 10^{11}$ vg/lỗ (1-3 cơ quan tử/lỗ). Các cơ quan tử được nuôi cấy trong 28 ngày nữa trước khi thu hoạch và phân tích.

Hóa mô miễn dịch

Mắt được chuẩn bị để cố định bằng cách xỏ lỗ giác mạc, và sau đó ngâm trong paraformaldehyt 1% (PFA, độ pH 7,4). Các cơ quan tử võng mạc được cố định bằng cách ngâm trong paraformaldehyt 1% (PFA, độ pH 7,4). Mắt được để cố định ở nhiệt độ phòng trong tối đa một giờ, trước khi được loại bỏ khỏi dung dịch và được ngâm hoàn toàn trong nền nhung ở nhiệt độ cắt tối ưu (OCT), với phần trước-sau của mắt lồng theo trực ngang-dọc trong ống nhung. Sau đó chúng được đông lạnh và bảo quản ở -20°C cho đến khi được yêu cầu phân chia.

Các phần 10 - 18 micron được chuẩn bị sử dụng Bright® OTF5000 Cryostat (Bright Instrument Co Ltd, Cambridgeshire, UK), nhờ đó cho phép trực quan hóa cả hai khía cạnh trên và dưới của võng mạc. Lát đã được thu thập ngay sau khi phân chia trên lát kính hiển vi phủ polysin, và cho phép để khô trong không khí ở nhiệt độ phòng. Các lát được bảo quản ở -20°C hoặc được phân tích trực tiếp.

Đối với hóa mô miễn dịch, các phần bị chặn trong albumin 5% huyết thanh dê và 1% huyết thanh bò ở PBS. Các kháng thể sơ cấp opsin kháng tế bào nón (Millipore) được ủ qua đêm ở 4°C. Phần được ủ với kháng thể thứ cấp trong 2 giờ ở RT và rửa sạch. Các kháng thể thứ cấp alexa-fluor (Invitrogen-Molecular Probes) được sử dụng ở độ pha loãng 1:500. Các lát được nhuộm bằng DAPI như một phần bổ sung vào môi trường lắp (0,1% DAPI ở môi trường) hoặc bằng cách ngâm trong DAPI 0,2% trong TBS và rửa PBS trước khi gắn vào môi trường lắp đèn huỳnh quang (DAKO). Các lát đã gắn được bảo quản ở 4°C.

Các lát đã gắn được chụp ảnh sử dụng kính hiển vi đồng tiêu Leica DM5500Q (Leica Biosystems, Germany) hoặc Zeiss AxioObserver Z1 (Carl Zeiss Inc, Göttingen, Germany).

Tiêm dưới võng mạc

Tiêm dưới võng mạc được tiến hành trên *Cpfl5* (thiếu CNGA3) (Hawes et al., 2006) và chuột C57BL/6 quanh 2 tuần sau khi ra đời. Kính hiển vi hoạt động được sử dụng suốt phẫu thuật nhãn khoa. Kim tiêm dưới da 1,5 cm, 34 gauge (Hamilton, Switzerland) được cài xen tiếp tuyến bằng màng cứng, tạo ra vết thương đường hầm xo cứng tự bịt kín (Tan et al. 2009). 1,0 – 1,5 µl dịch huyền phù virut được tiêm trong bán cầu trên và dưới của không gian dưới võng mạc, mỗi bán cầu tạo ra phần tách võng mạc bồng nước có thể nhìn thấy được bằng mắt. C57BL/6 được sử dụng để nghiên cứu gen khởi đầu và tiêm 1×10^{12} độ chuẩn virut. Chuột *Cpfl5* được sử dụng ở nghiên cứu thoát CNGA3. Chuột được tiêm cấu trúc virut CNGA3 trong mắt được chỉ định, với cấu trúc virut đối chứng được tiêm vào mắt bên. Tất cả các con chuột đều được tiêm hai bên.

Hiệu quả điều trị *in vivo*

Quá trình khôi phục chức năng võng mạc được đánh giá bằng phương pháp ghi điện tử quang học. Bản ghi ERG thu được đồng thời từ cả hai mắt. Sau khi thích ứng tối qua đêm (~12 giờ), một giọt 2,5% phenylephrin và 1% tropicamit (Minims, Bausch & Lomb) được dùng lên mỗi mắt để làm giãn đồng tử và mắt được giữ ấm bằng cách bôi chất bôi trơn. ERG được thực hiện sử dụng thiết bị có bán trên thị trường (Espion ERG Diagnosys System). Ghi âm nhấp nháy đơn thích ứng ánh sáng thu được tại cường độ ánh sáng tăng 0,1, 1, 3, 16, 10, 31,6 và 75,28 cd.s/m² trên nền là 30 cd/m². Trừ khi các hình vẽ chỉ định thể hiện biên độ sóng b thích ứng ánh sáng trung bình (giá trị trung bình ± SD) sau 4 tuần sau khi điều trị, khi vectơ đạt đến biểu hiện đỉnh.

Ví dụ 1: Tối ưu hóa đơn vị kiểm soát phiên mã đặc hiệu tế bào nón (TCU)

Vùng kiểm soát quỹ tích của người (LCR), được bố trí ngược dòng của gen opsin màu đỏ, nâng cao biểu hiện của cả hai gen opsin đỏ (L-opsin) và opsin xanh lá (M-opsin), được đặt song song với nhau (xem Fig. 1, trên cùng bên trái). Gen khởi đầu đặc hiệu hình nón mạnh mẽ sử dụng trước đó LCR và gen khởi đầu opsin màu đỏ, vì chúng là thành phần gần nhau về mặt vật lý. Trong nghiên cứu biểu hiện gen chỉ thị *in vivo* ở chuột chuyên gen bởi Smallwood et al, các mức biểu hiện khác nhau từ gen khởi đầu opsin đỏ hoặc xanh lá dựa trên sự gần gũi vật lý của chúng với LCR được kiểm tra. Smallwood et al. tạo cấu trúc một số dẫn xuất của mảng đỏ và xanh lá của người để chứng minh các mức biểu hiện khác nhau từ gen khởi đầu opsin đỏ hoặc xanh lá dựa trên độ gần vật lý của chúng với LCR (xem Fig. 1, phía dưới bên trái). Mỗi dẫn xuất bao

gồm gen chỉ thị phosphataza kiềm (AP) trong sự kiểm soát của gen khởi đầu opsin đỏ và β-galactosidaza (LacZ) trong sự kiểm soát của gen khởi đầu opsin xanh lá. Với mỗi dòng tế bào gốc bào thai, võng mạc được phân tích từ nhiều gen sáng lập khám hoặc từ nhiều con cháu đã di truyền ổn định gen chuyển. Trong trường hợp thứ hai, phân tích được tiến hành cả trước và sau khi lai với chuột cre dòng mầm để loại bỏ caset PGK-neo ở sườn loxP.

Trong cấu trúc kiểu dại, sử dụng kết cấu nhiễm sắc thể tự nhiên (pPMS107), 65–95% tế bào nón biểu hiện AP (trong sự kiểm soát của gen khởi đầu opsin đỏ) hoặc lacZ (trong sự kiểm soát của gen khởi đầu opsin xanh lá), nhưng không cả hai. Việc cài xen gen đệm 9-kb giữa hai đơn vị phiên mã (tức là tăng khoảng cách giữa LCR và gen khởi đầu opsin xanh lá, cấu trúc pPMS108) dẫn đến sự thay đổi lớn từ tế bào biểu hiện lacZ (gen khởi đầu xanh lá) đến AP (gen khởi đầu đỏ). Sự thay đổi vị trí của hai đơn vị phiên mã (pPMS101) và đặt gen khởi đầu lõi opsin xanh lá ngay sau LCR (pPMS101), làm lệch profin biểu hiện của các con chuột chuyển gen này hầu như chỉ hướng tới phiên mã gen khởi đầu lõi opsin xanh lá (>99%).

Sáng chế đề xuất đơn vị kiểm soát phiên mã (TCU) đặc hiệu tế bào nón tương tự sử dụng LCR của người và gen khởi đầu opsin xanh lá của người được tối ưu hóa. Thành phần lõi được bảo tồn của gen khởi đầu opsin xanh lá của người (0,2kb) được nhận ra và một loạt TCU sử dụng gen khởi đầu opsin xanh lá chế tạo được tạo ra sử dụng vùng LCR và gen khởi đầu opsin xanh lá của các kích thước khác nhau: 2,0Kb (hG2,0), 1,7Kb (hG1.7) và 1,4Kb (hG1.4), xem Fig. 2. Mảnh gen khởi đầu opsin đỏ là 1,7Kb (PR1,7, tương tự như gen khởi đầu được sử dụng bởi AGTC, Ye et al., 2016)) cũng được tạo ra làm đối chứng.

Ngoài ra, một loạt các vectơ AAVshh10 chứa gen báo cáo GFP dẫn bởi gen khởi đầu được mô tả ở trên được tạo ra và biểu hiện ở giống cây võng mạc có nguồn gốc từ ES của người được đánh giá.

Tất cả các cấu trúc được thí nghiệm được đề xuất profin chuyển nạp tương tự về mức biểu hiện GFP và tính đặc hiệu tế bào nón. Cấu trúc với mảnh gen khởi đầu nhỏ tạo nhiều không gian để gói gen lớn trong vectơ AAV.

Ví dụ 2- TCU được tối ưu hóa để xuất biểu hiện mạnh của gen chỉ thị ở tất cả các kiểu phụ tế bào nón

Để thử nghiệm khả năng của TCU được tối ưu hóa được sáng chế mô tả để thúc đẩy biểu hiện protein gen báo cáo ở tế bào hình nón, võng mạc có nguồn gốc từ ES của người được chuyển hóa sử dụng AAVshh10-hG1.4.GFP,. Biểu hiện gen chỉ thị mạnh (Fig. 3A) ở tất cả các kiểu phụ tế bào nón (Fig. 3B', C') được quan sát.

So với gen khởi đầu arrestin hình nón (CAR) của người khác biệt trước đó, mức biểu hiện được đề xuất bởi hG1.4 cao hơn ở tế bào nón của người và không có biểu hiện lạc vị ở tế bào biểu mô sắc tố võng mạc (RPE) hoặc tế bào hình que. Ở chuột, gen khởi đầu hình nón dựa trên gen khởi đầu opsin đỏ của người không đặc hiệu ở tế bào nón và biểu hiện qua trung gian ở dạng que (Ye et al., 2016).

Ví dụ 3: Tối ưu hóa bổ sung của TCU và tối ưu hóa codon của gen CNGA3 của người

Thay đổi trình tự GGGCCG ở các vị trí +5 đến +10 so với vị trí khởi đầu phiên mã của gen opsin xanh lá thành TCTAGA, gấp đôi cấp độ biểu hiện thu được. Sự thay đổi trình tự này (M8), xem SEQ ID NO:16, do đó được tích hợp vào cấu trúc hG1.4 và hG1.7

Ngoài ra, trình tự mã hóa của *CNGA3* được tối ưu hóa codon, có gắng cải thiện thiên vị sử dụng codon và thành phần CG, và loại bỏ vị trí xử lý kín bất kỳ và cấu trúc vòng gốc tiềm năng trong mRNA.

Các cấu trúc hG1.4(M8) (SEQ ID NO:6) và hG1.7(M8) (SEQ ID NO:15) được sử dụng ở vectơ AAV2/8 mang cADN *CNGA3* tối ưu hóa codon của người (coCNGA3) và hiệu quả của vectơ được xác định ở mẫu chuột loại bỏ *CNGA3* sử dụng đánh giá điện cơ (ERG) của chức năng hình nón. Một tháng sau khi sử dụng vectơ, không có lợi thế rõ ràng hơn vectơ không có trình tự M8, mặc dù vectơ hG1.7(M8) dường như cho thấy cải thiện nhỏ so với vectơ tương ứng không có trình tự M8 (Fig. 4, thanh bên trái của cột). Khi đánh giá ERG ở các con vật này được lặp lại sau 2 tháng sử dụng, biên độ ở con vật tiềm với vectơ ‘M8’ còn được làm tăng lên (Fig. 4, thanh bên phải của cột), trong khi biên độ ở con vật tiềm với vectơ chuẩn vẫn không đổi (hG1.4) hoặc được làm tăng giới hạn (hG1.7). Được chứng minh rằng mức biểu hiện tối đa quan trọng để đạt được sự cứu chữa tốt về mù màu do *CNGA3* và các kết quả này chỉ ra rằng sự bao gồm trình tự M8 ở cấu trúc có lợi cho điều trị.

Gen *CNGA3* tối ưu hóa codon cứu đáp ứng thích ứng ánh sáng ở chuột loại bỏ *Cnga3* hiệu quả hơn gen CNGA3 của người kiều dại (Fig. 5). Cấu trúc mang gen khởi đầu opsin đỏ (1.7L) điều khiển gen CNGA3 của người kiều dại hoặc gen CNGA3 của người tối ưu hóa codon được đóng gói ở kiều huyết thanh AAV2/8 và tiêm dưới võng mạc ở chuột thiếu *Cnga3*. Các đáp ứng ERG thích ứng ánh sáng được đánh giá 1 tháng và 2 tháng sau tiêm. Các đáp ứng ERG ở động vật nhận được vectơ tối ưu hóa codon liên tục cao hơn ở động vật nhận gen kiều dại (Fig. 5).

Ví dụ 4: Các vectơ AAV2/8 biểu hiện CNGA3 có thể cứu đáp ứng thích ứng ánh sáng ở chuột loại bỏ *CNGA3*, trong khi cấu trúc AA2/5 tương ứng đề xuất cứu nhỏ nhất

Để đánh giá khả năng của vectơ AAV2/5 và AAV2/8 biểu hiện CNGA3 cứu đáp ứng thích ứng ánh sáng, vectơ virut AAV2/8-hG1.4(M8).coCNGA3 và AAV2/5-hG1.4(M8).coCNGA3 được tiêm dưới võng mạc vào chuột loại bỏ *cnga3* 1 tháng tuổi. Đáp ứng ERG thích ứng ánh sáng được đánh giá 4 tuần sau sử dụng. Các tác giả sáng chế quan sát đáp ứng thích ứng ánh sáng mạnh ở mắt được điều trị AAV2/8 với biên độ sóng b ERG lên đến 70 μ V (Fig. 6 A và B). Đôi mắt nhận được tiêm dưới võng mạc ở cả hai bán cầu (trên/dưới) cho thấy cải thiện tốt nhất ở biên độ sóng b ERG. Để so sánh, chuột kiều dại có biên độ quanh 100-120 μ V ở cùng cài đặt thử nghiệm. Không có đáp ứng từ mắt không được điều trị và mắt được điều trị AAV2/5 tạo đáp ứng nhỏ nhất (Fig. 6 A và B). Dữ liệu này thể hiện rằng vectơ AAV2/8-hG1.4(M8).coCNGA3 có thể tạo mức biểu hiện CNGA3 cao và khôi phục chức năng hình nón ở chuột loại bỏ *CNGA3* với khoảng 60% chức năng của kiều dại, như được xác định bởi biên độ sóng b ERG hình nón.

Để chứng minh thêm rằng cứu độ nhạy võng mạc bởi vectơ AAV2/8 biểu hiện CNGA3 lâu dài, chuột thiếu *Cnga3* được tiêm dưới võng mạc vào 2 tuần tuổi với AAV2/8-hG1.4(M8).coCNGA3 (n=14) hoặc AAV2/8-hG1.7(M8).coCNGA3 (n=13) (độ chuẩn 1×10^{12} vg/ml cho cả hai), hoặc bỏ không được điều trị (n=3). Cả hai sự chuyển nhiễm với vectơ dẫn đến sự cứu độ nhạy võng mạc lên đến sáu tháng sau khi điều trị (Fig. 7).

Ví dụ 5: Các vectơ AAV2/8 biểu hiện CNGA3 thúc đẩy sự sống sót hình nón dài hạn

Khả năng của vectơ AAV2/8 biểu hiện CNGA3 để thúc đẩy sự sống sót của tế bào nón được đánh giá bằng cách tiêm chuột thiếu *Cnga3* lúc 2 tuần tuổi với AAV2/8-hG1.7(M8).coCNGA3. Chuột *C57BL/6J* 3-4 tháng tuổi, không nhận tiêm, làm đối chứng cho tế bào nón khỏe. Võng mạc được phân lập và nhuộm bằng arrestin hình nón và làm sạch.

Các võng mạc thiếu *Cnga3* được chuyển hóa với AAV2/8-hG1.7(M8).coCNGA3 (xem Fig. 8C) cho thấy sự sống sót của tế bào nón *in vivo* 3-4 tháng sau khi điều trị. Mức độ sống sót tương tự với sống sót tế bào nón của đối chứng khỏe mạnh (xem Fig. 8A) và được làm tăng lên đáng kể so với võng mạc thiếu *Cnga3* không được tiêm (xem Fig. 8B).

Khả năng của vectơ AAV2/8 biểu hiện CNGA3 thúc đẩy sự sống sót tế bào nón lâu dài và vẫn có thể được quan sát 13 tháng sau khi điều trị vectơ (xem Fig. 9).

Ví dụ 6: Các vectơ AAV2/8 biểu hiện CNGA3 bảo tồn kết nối synap *in vivo*

Để đánh giá khả năng của vectơ AAV2/8 biểu hiện CNGA3 cải thiện tính toàn vẹn của khớp thần kinh giữa tế bào hình nón và hỗ trợ các tế bào thần kinh (tế bào lưỡng cực), chuột thiếu *Cnga3* lúc 2 tuần tuổi được tiêm AAV2/8-hG1.7(M8).coCNGA3. 3-4 tháng sau khi điều trị, võng mạc được phân lập và nhuộm bằng Gpr179 và PNA rồi xóa. Kết nối synap cũ được xác định bằng cách đo cường độ tín hiệu của điểm đánh dấu khớp thần kinh Gpr179 ở hình ảnh tiêu điểm mặt phẳng đơn của võng mạc ngầm phẳng. Phần mềm Leica Las X được sử dụng để xử lý hình. Vết bắn Gpr179 được truy tìm bằng cách vẽ đường rãnh tay trên một số cuống hình nón liên quan đến vết Gpr179 (nhuộm PNA được sử dụng để xác nhận các cuống hình nón) và hơn 10 spherule hình que liên quan đến vết Gpr179 (A). Cường độ tín hiệu là đầu ra (B; vạch trắng: Gpr179, vạch đỏ: PNA). Đỉnh của cường độ tín hiệu từ mỗi nguồn gốc được tính trung bình và từ cuống hình nón đến hình que liên quan đến tỷ lệ GPr179 (CP/RS) được tính toán. CP/RS từ bốn vị trí khác nhau được sử dụng để phân tích thống kê (nhiều kiểm tra so sánh Bonferroni (ns: $p>0,05$, **: $p \leq 0,01$, *: $p \leq 0,05$)). Võng mạc từ chuột thiếu *Cnga3* không được tiêm và chuột *C57BL/6J* không được tiêm của cùng độ tuổi (3-4 tháng) là đối chứng dương và âm, tương ứng.

Như được thể hiện trên Fig. 10, sự chuyển nạp võng mạc *thieu Cnga3* với vectơ AAV2/8 biểu hiện CNGA3 dẫn đến kết nối synap tương tự của chuột đối chứng khỏe mạnh và được cải thiện đáng kể so với võng mạc *thieu Cnga3* không được tiêm.

Ví dụ 7: Phân phôi coCNGA3 sử dụng AAV2/8 để xuất lợi ích lớn hơn phân phôi sử dụng kiểu huyết thanh AAV mạnh mới AAV-Anc80, AAV-44.9, và AAV5

Một số kiểu huyết thanh và capsit AAV khác nhau có sẵn để biểu hiện gen. Ví dụ, capsit Anc80-L65 đã phát triển mới được thể hiện có ái tính hiệu quả với tế bào nhện sáng và để có thể so sánh hoặc thậm chí vượt trội với AAV8. Ngoài ra, kiểu huyết thanh mới AAV44.9 cũng được thể hiện có hiệu quả chuyển nạp và biểu hiện cao ở tế bào nhện sáng khi được thí nghiệm kết hợp với gen đánh dấu huỳnh quang. Vì vậy, khả năng của bốn vectơ AAV khác nhau—Anc80-L65, AAV44.9, AAV5, và AAV8—để biểu hiện coCNGA3 và tạo đáp ứng ERG duy trì được so sánh.

Vectơ tương ứng mang caset biểu hiện hG1.4(M8)-coCNGA3 ($1,0 \times 10^{12}$ vg/mL) được truyền đến không gian dưới võng mạc của chuột thiếu *Cnga3* ở 2 tuần tuổi, và ERG thích ứng ánh sáng nhấp nháy đơn được ghi lại tại các thời điểm khác nhau sau khi tiêm (xem Fig. 11). Kích thích ánh sáng của 10cd.s/m^2 được sử dụng để phân tích. Như được thể hiện trên Fig. 11, chuyển gen qua trung gian AAV8 dẫn đến đáp ứng ERG cao hơn so với Anc80-L65 (xem Fig. 11A), AAV44.9 (xem Fig. 11B), hoặc AAV5 (xem Fig. 11C và Fig. 6).

Ví dụ 8: So sánh TCU được tối ưu hóa với gen khởi đầu đặc hiệu tế bào nón, được biết trước đó

Để so sánh mức biểu hiện của TCU được sáng chế mô tả với một trong các gen khởi đầu đặc hiệu tế bào nón mạnh nhất có sẵn (1.7L), cơ thể phôi thai của người (hEBs) 17-19 tuần tuổi được chuyển hóa với vectơ AAV AAVShH10 biểu hiện eGFP trong sự kiểm soát của hG1.4(M8), hG1.7(M8) hoặc P1.7L, tương ứng, và được thu thập 2 tuần sau ($n = 6-8$ cho mỗi gen khởi đầu). Sau khi phân ly, tế bào được phân tích cường độ huỳnh quang trung bình tương đối (MFI) ở tế bào dương tính GFP. MFI tương đối trong hEBs được chuyển hóa với các vectơ khác nhau được đánh giá bằng phép đo tế bào dòng chảy và được tính toán theo tỷ lệ với MFI trong EBs được chuyển hóa với AAV ShH10-1.7L-eGFP. Như được thể hiện trên Fig. 12A, cấu trúc hG1.7 để xuất tăng khoảng 50% ở biểu hiện GFP so với gen khởi đầu được biết trước đó 1.7L.

Ngoài ra, vectơ AAV2/8 điều khiển hCNGA3 từ gen khởi đầu hCAR (arrestin hình nón của người) ở chuột loại bỏ *CNGA3* được thí nghiệm. Đáp ứng thích ứng ánh sáng cứu không vượt quá 30% mức kiêu dại (Fig. 12B).

Đã được báo cáo rằng vectơ AAV2/5(Y719F) và gen khởi đầu opsin hình nón xanh lam của chuột có thể được sử dụng để cứu chuột loại bỏ *CNGA3*. Trong nghiên cứu đó, biên độ ERG thích ứng ánh sáng đạt được 30% của kiêu dại khi được tiêm ở P12 và được đánh giá 10 tuần sau điều trị (Michalakis et al., 2010). Gần đây vectơ AAV5 và gen khởi đầu opsin đỗ 2.1 kb được sử dụng để cứu cùu thiếu *CNGA3*. Trong nghiên cứu này, có gấp đôi ERG nhấp nháy hình nón khi so với không được điều trị (Banin et al, 2015). Tuy nhiên, cả gen khởi đầu được biết là chỉ có chức năng trong tập con của tế bào nón của người (gen khởi đầu opsin hình nón xanh lam chỉ hoạt động với tế bào nón màu xanh lam và gen khởi đầu opsin đỗ 2.1 chỉ hoạt động trong tế bào nón màu đỗ).

Nghiên cứu sử dụng vectơ AAV2/5 với gen khởi đầu CBA để biểu hiện *CNGA3* của chuột ở chuột loại bỏ *CNGA3* bởi phòng thí nghiệm Hauswirth cho thấy cứu lén đến 70% biên độ sóng b hình nón ERG kiêu dại khi chuột được điều trị rất sớm (P14 được đánh giá 3 tuần sau điều trị –độ chuẩn virut 1E13) (Pang et al., 2012). Các tác giả sáng chế đạt được hiệu quả tương tự trong việc giải cứu quan sát thích ứng ánh sáng điều trị cùng mẫu động vật muộn hơn trong cuộc sống (1 tháng – độ chuẩn virut 7E12). Trong khi mù màu ở người là rối loạn không lan ra các nơi khác, mẫu chuột *CNGA3* có tế bào hình nón chết trong tháng đầu tiên chỉ ra rằng điều trị sớm hơn là có lợi. Gen khởi đầu CBA không đặc hiệu không có khả năng được sử dụng trong thử nghiệm *CNGA3*, nhưng ủng hộ ý kiến của các tác giả sáng chế là mức biểu hiện *CNGA3* cao là quan trọng để cứu tối ưu.

Tài liệu tham khảo

- Altschul S. F. A protein alignment scoring system sensitive at all evolutionary distances. 1993 J Mol Evol 36:290-300.
- Altschul S. F. et al Basic local alignment search tool. 1990 J Mol Biol 215:403-10.

Banin E., Gootwine E., Obolensky A., Ezra-Elia R., Ejzenberg A., Zelinger L., Honig H., Rosov A., Yamin E., Sharon D., Averbukh E., Hauswirth W. W., Ofri R.

Gene Augmentation Therapy Restores Retinal Function and Visual Behavior in a Sheep Model of CNGA3 Achromatopsia. 2015 Mol Ther. Sep;23(9):1423-33.

Davidoff et al. Purification of recombinant adeno-associated virus type 8 vectors by ion exchange chromatography generates clinical grade vector stock. 2004 J. Virol. Methods 121; 209-215.

Devereux J. et al. A comprehensive set of sequence analysis programs for the VAX. 1984 Nucleic Acids Research 12, 387-395.

Gao G. P., Alvira M. R., Wang L., Calcedo R., Johnston J., Wilson J. M. Móri adeno-associated viruses from rhesus monkeys as vectors for human gene therapy. Proc. Natl. Acad. Sci. USA, 99 (18) (2002), pp. 11854-11859

Hawes N., Wang X., Hurd R. E., Wang J., Davisson M. T., Nusinowitz S., Heckenlively J. R., Chang B. A Point Mutation in the *Cnga3* Gene Causes Cone Photoreceptor Function Loss (*cpfl5*) in Mice. 2006 Invest Ophthalmol Vis Sci 47: E-Abstr 4579

Henikoff S. and Henikoff J. G. Amino acid substitution matrices from protein blocks. 1992 Proc. Natl. Acad. Sci. USA 89: 10915-10919.

Karlin S. and Altschul S. F. Applications and statistics for multiple high-scoring segments in molecular sequences. 1993 Proc. Natl. Acad. Sci. USA 90: 5873-5787.

Michalakis S., Mühlfriedel R., Tanimoto N., Krishnamoorthy V., Koch S., Fischer M. D., Becirovic E., Bai L., Huber G., Beck S. C., Fahl E., Büning H., Paquet-Durand F., Zong X., Gollisch T., Biel M., Seeliger M. W. Restoration of cone vision in the CNGA3-/- mouse model of congenital complete lack of cone photoreceptor function. 2010 Mol Ther. Dec;18(12):2057-63.

Pang J. J., Deng W. T., Dai X., Lei B., Everhart D., Umino Y., Li J., Zhang K., Mao S., Boye S. L., Liu L., Chiodo V. A., Liu X., Shi W., Tao Y., Chang B., Hauswirth W. W. AAV-mediated cone rescue in a naturally occurring mouse model of CNGA3-Achromatopsia. 2012 PLoS One. 7(4):e35250.

Shabaan S. A. and Deeb S. S. Functional Analysis of the Promoters of the Human Red and Green Visual Pigment Genes. 1998 IOVS 39: 885-896.

Smallwood P. M., Wang Y., Nathans J. Role of a Locus Control Region in the mutually exclusive expression of human red and green cone pigment genes. 2002 Proc Natl Acad Sci U S A. Jan 22;99(2):1008-11.

Ye G. J., Budzynski E., Sonnentag P., Nork T. M., Sheibani N., Gurel Z., Boye S. L., Peterson J. J., Boye S. E., Hauswirth W. W., Chulay J. D. Cone-Specific Promoters for Gene Therapy of Achromatopsia and Other Retinal Diseases. 2016 Hum Gene Ther. Jan;27(1):72-82.

Thông tin trình tự

SEQ ID NO:1 - mảnh 1,2 kb của vùng kiểm soát quỹ tích (LCR) M/L opsin

TAGGAATAGAAGGGTGGGTGCAGGAGGCTGAGGGTGGGAAAGGGCAT
 GGGTTCATGAGGACAGAGCTCCGTTCATGCAATGAAAAGAGTTGG
 AGACGGATGGTGGTACTGGACTATACTACACACCGTAGCGATGGTA
 CACTTGATTATGTATTTACACGATCTTTAAAGTGTCAAAGGCAA
 ATGCCAAATGGTCCTGTCCTAGCTGTAGCAGCCATCGGCTGTTAGT
 GACAAAGCCCCTGAGTCAAGATGACAGCAGCCCCATAACTCCTAACGG
 CTCTCCCGGTGGAGTCATTAGGAGTAGTCGCATTAGAGACAAGTCCAAC
 ATCTAACCTCCACCCTGGCCAGGGCCCCAGCTGGCAGCGAGGGTGGGAG
 ACTCCGGGCAGAGCAGAGGGCGCTGACATTGGGCCGGCCTGGCTGGG
 TCCCTCTGGCCTTCCCCAGGGCCCTTTCTGGGCTTCTGGCCG
 CCACTGCTCCCGCTCCTCTCCCCCATCCCACCCCTCACCCCTCGTTCT
 CATATCCTCTCTAGTGCTCCCTCCACTTCATCCACCCCTTGCAAGAGTG
 TGGGACCACAAATGAGTTCACCTGGCCTGGGACACACGTGCCCCAC
 AGGTGCTGAGTGACTIONTAGGACAGTAATCTGCTTAGGCTAAATGGGA
 CTTGATCTCTGTTAGCCCTAACATCAATTAGCAGAGCCGGTGAAGGTGC
 AGAACCTACCGCCTTCCAGGCCTCCTCCCACCTCTGCCACCTCCACTCTCC
 TTCCTGGATGTGGGGCTGGCACACGTGTGGCCAGGGCATTGGTGGGA
 TTGCACTGAGCTGGTCATTAGCGTAATCCTGGACAAGGGCAGACAGGGC
 GAGCGGAGGGCCAGCTCCGGGCTCAGGCAAGGCTGGGGCTCCCCAG
 ACACCCCACTCCTCTGCTGGACCCCCACTTCATAGGGCACTCGTGTTC
 TCAAAGGGCTTCAAATAGCATGGTGGCCTGGATGCCAGGGAAAGCCTC
 AGAGTTGCTTATCTCCCTCTAGACAGAAGGGAAATCTCGGTCAAGAGGGGA

GAGGTCGCCCTGTTCAAGGCCACCCAGCCAGCTCATGGCGGTAAATGGGAC
AAGGCTGGCCAGCCATCCCACCCCTCAGAAGGGACCCGGTGGGGCAGGTGA
TCTCAGAGGAGGCTCACTTCTGGGTCTCACATTCTG

SEQ ID NO:2- mảnh gen khởi đầu opsin 2,0 kb M, mảnh 500 bp của SEQ ID NO:3 gạch chân, UTR in nghiêng không có trình tự M8

TAAAAAAGCAAGTCTGCCAGGGCAGTGGTGTGCACCTGTGGTCCCAGCTA
CTCAGGATGCTGAGGCAGGAGGATTACTTGTGCCAGCAAGTAGAGGCTG
CAGTGACCTGTGACTGTGCTACTGCCCTCCAACCTGGGTGACAGAGTGAGA
CCTTGTCTCAAAAAAAAAGAGCGGGGGGGGGCCGGGCCGGCGTG
GTGGCTCACAGCTGTAATCCCAGCACTTGGGAAGCCAAGGCGGGTGGAT
CACTTGAGGTCAGGAGTTGAGACCATCATGGTCAACACTGCGAACACT
GTCCCTACTAAAAATAACAAAATTAGCCGGCATGGTGGCACACACCTGT
AATCCCAGCTACTGGGAGGGCTGAGGCAGGAGAATTGCTTGAGCCGGGA
GACGGAGGTTGCAGTGAGCCGAGACTGCGCCACTGCACTCCAGCCTGACT
GACAAGAGTGAGATTGTCTCAAAAAAAAAAGTAATCACTAGAAA
AGAAGCTACATATGTACATAACATCCAAATAACCAAGAGGAGAAAAAAAT
GGGACTTGATTAATCAAAACAAAAACAAAAAGAAAGAAAGAAAGGGGG
AGAAAATAAAACAAGGGCTGGGTGTGCTGGCTCATGCCTGTAATCCCAGC
ACTTTGGAAGCCAAGGTGGTGGATCTCTTGAGCTCAGGAGGTCAAGACC
AGCCTGGCAACATGGCAAACCCCCGCTCTATTAAAAAAATTAAATA
CAACAATTATCCTGGAGTGGTGGTCACACCTGTAGTCCCAGCTACCCAGG
ACGCTGAGACGGGAGGATCGCTTGATCCCAGGATGTCGAGGCTGCCGTG
ATCGCACCCTGCCCTCCAGCCAGGGTGGCAGACTGAGACCCATCTCAA
AAAATAAAATAAAAGCAAACAAGAAAAAAAAGGCTGAAACATAT
CTGATAGATAAAGGGCTAATCAACACAATATAAAGAACTGCAAATCAG
TAAACTAAGAGCAAATAACCAATATAAAGACATTAAAGGGTAGCCACGG
ACATCTCAGACGACGAAAAACAAAAGACAGTAAACGTATAATAACATG
TAATTGCAAGGTGATCCGGGAATAGTAAGCGAAAAGCAACAATTAAATAC
TATTTCTCATCCACCAGAACGCCAAAAATTAAAAAGCCTAACAAATGTCCA
GGGCTGGCGAGAATGTGGCAGAAGGTGATGTCACATACCCTGCAAGTGGG
AATCTAAACAGATTCAGGGTTTGGTTTTTAATCGCAATTAGGTGGCC
TGTAAATTTTCTTGAGACAGAGTTGCTTGTGCCAGGCTGGA

GTGCAATGGCTCGATCTTGGCTACCGAACCTCGACCTCCCAGGTACAAG
 CGATTCTCCTGTCTCAGCCTCCCAAGTAGCTGGGAGTACAGGTATTCGCCA
CTAAGCCCAGCTAATTGTTTTATTAGTAGAAACGGGGTTCACCATGTT
AGTCAGGCTGGTCGGAAACTCCTGACCTCAGGAGATCTACCCGCCTGGCC
TCCCCAAAGTGCTGGGATTACAGGCCTGTGCCACTGTGCCAGCCACTTTT
TTTAGACAGAGTCTTGGTCTGTTGCCAGGCTAGAGTCAGTGGCGCCATC
TCAGCTCACTGCAACCTCCGCCTCCAGATTCAAGCGATTCTCCTGCCTCG
ACCTCCCAGTAGCTGGGATTACAGGTTCCAGCAAATCCCTCTGAGCCGCC
CCCGGGGCTCGCCTCAGGAGCAAGGAAGCAAGGGTGGGAGGAGGAGG
TCTAAGTCCCAGGCCAATTAAGAGATCAGATGGTAGGATTGGGAGCT
TTTAAGGTGAAGAGGCCGGCTGATCCCAGTGGCCGGTATAAAGCACCG
TGACCCCTCAGGTGACGCACCAGGGCCGGCTGCCGTGGGACAGGGCTTC
CATAGCC

SEQ ID NO:3- mảnh opsin 500 bp M, UTR in nghiêng, đột biến M8 gạch chân
 ACAGGTATTCGCCACTAACGCCAGCTAATTGTTTTATTAGTAGAAACG
 GGGTTTCACCATGTTAGTCAGGCTGGTCGGAAACTCCTGACCTCAGGAGAT
 CTACCCGCCTGGCCTCCAAAGTGCTGGGATTACAGGCCTGTGCCACTGT
 GCCCAGCCACTTTTTAGACAGAGTCAGCTGGCTGTTGCCAGGCTAGAG
 TTCAGTGGCGCCATCTCAGCTCACTGCAACCTCCGCCTCCAGATTCAAGC
 GATTCTCCTGCCTCGACCTCCCAGTAGCTGGGATTACAGGTTCCAGCAAA
 TCCCTCTGAGCCGCCCCGGGGCTGCCAGGAGCAAGGAAGCAAGGG
 GTGGGAGGAGGAGGTCTAAGTCCCAGGCCAATTAAGAGATCAGATGGTG
 TAGGATTGGGAGCTTTAAGGTGAAGAGGCCGGCTGATCCCAGTGGCC
 GGTATAAAGCACCGTGACCCCTCAGGTGACGCACCATCTAGAGCTGCCGTG
GGGACAGGGCTTCATAGCC

SEQ ID NO:4 - biến thể của cấu trúc hG1.7(M8), mảnh LCR opsin 1,2 kb M/L,

mảnh opsin 500 bp M, UTR in nghiêng, đột biến M8 gạch chân

TAGGAATAGAAGGGTGGGTGCAGGAGGCTGAGGGTGGGAAAGGGCAT
 GGGTGTTCATGAGGACAGAGCTCCGTTCATGCAATGAAAAGAGTTGG
 AGACGGATGGTGGTACTGGACTATACACTACACACCGTAGCGATGGTA
 CACTTGTATTATGTATTTACACGATCTTTAAAGTGTCAAAGGCAA

ATGGCCAAATGGTCCTGTCCTATAGCTGTAGCAGCCATCGGCTGTTAGT
 GACAAAGCCCCCTGAGTCAAGATGACAGCAGCCCCATAACTCCTAATCGG
 CTCTCCCGCGTGGAGTCATTAGGAGTAGTCGCATTAGAGACAAGTCCAAC
 ATCTAATCTTCCACCCCTGCCAGGGCCCCAGCTGGCAGCGAGGGTGGGAG
 ACTCCGGGCAGAGCAGAGGGCGCTGACATTGGGGCCCGCCTGGCTTGGG
 TCCCTCTGGCCTTCCCCAGGGGCCCTTTCCCTGGGGCTTCTGGGCCG
 CCACTGCTCCGCTCCTCTCCCCCATCCCACCCCTCACCCCTCGTTCTT
 CATATCCTCTCTAGTGCTCCCTCCACTTCATCCACCCTCTGCAAGAGTG
 TGGGACCAAAATGAGTTTACCTGGCCTGGGACACACGTGCCCCCAC
 AGGTGCTGAGTGACTTCTAGGACAGTAATCTGCTTCTAGGCTAAAATGGGA
 CTTGATCTCTGTTAGCCCTAACATCAATTAGCAGAGCCGGTGAAGGTGC
 AGAACCTACCGCCTTCCAGGCCTCCTCCCACCTCTGCCACCTCCACTCTCC
 TTCCTGGGATGTGGGGCTGGCACACGTGTGGCCAGGGCATTGGTGGGA
 TTGCACTGAGCTGGTCATTAGCGTAATCCTGGACAAGGGCAGACAGGGC
 GAGCGGAGGGCCAGCTCCGGGCTCAGGCAAGGCTGGGGCTCCCCCAG
 ACACCCCACTCCTCTGCTGGACCCCCACTTCATAGGCACCTCGTGTTC
 TCAAAGGGCTTCAAATAGCATGGTGGCCTGGATGCCAGGGAAAGCCTC
 AGAGTTGCTTATCTCCCTCTAGACAGAAAGGGAAATCTGGTCAAGAGGG
 GAGGTCGCCCTGTTCAAGGCCACCCAGCCAGCTCATGGCGGTAAATGGGAC
 AAGGCTGGCCAGCCATCCCACCCCTCAGAAGGGACCCGGTGGGGCAGGTGA
 TCTCAGAGGAGGCTCACTCTGGGTCTCACATTCTGACAGGTATTC
 CTAAGCCCAGCTAATTGTTTTATTAGTAGAAACGGGTTTCACCATGTT
 AGTCAGGCTGGTCGGAAACTCCTGACCTCAGGAGATCTACCCGCTTGGCC
 TCCCAAAGTGCTGGATTACAGGCGTGTGCCACTGTGCCAGCCACTTTT
 TTTAGACAGAGTCTGGTCTGTTGCCAGGCTAGAGTCAGTGGCGCCATC
 TCAGCTCACTGCAACCTCCGCCTCCCAGATTCAAGCGATTCTCCTGCCTCG
 ACCTCCCAGTAGCTGGATTACAGGTTCCAGCAAATCCCTCTGAGGCCGCC
 CCCGGGGCTCGCCTCAGGAGCAAGGAAGCAAGGGTGGAGGAGGAGG
 TCTAAGTCCCAGGCCAATTAAAGAGATCAGATGGTAGGATTGGAGCT
 TTTAAGGTGAAGAGGCCGGCTGATCCCACGGCCGGTATAAAGCACCG
 TGACCCCTCAGGTGACGCACCATCTAGAGCTGCCGTGGGACAGGGCTTCC
ATAGCC

SEQ ID NO:5 - mảnh opsin 200 bp M, UTR in nghiêng, đột biến M8 gạch chún
 GATCGATTACAGGTTCCAGCAAATCCCTCTGAGCCGCCCGGGGGCTG
 CCTCAGGAGCAAGGAAGCAAGGGGTGGGAGGGAGGTCTAAGTCCCAG
 GCCCAATTAAAGAGATCAGATGGTGTAGGATTGGGAGCTTTAAGGTGAA
 GAGGCCCGGGCTGATCCCCTGGCCGGTATAAACGCACCGTGACCCTCAGG
TGACGCACCATCTAGAGCTGCCGTCGGGACAGGGCTTCCATAGCC

SEQ ID NO:6 - cấu trúc hG1.4(M8): mảnh LCR opsin 1,2 kb M/L, mảnh opsin 200bp M, UTR in nghiêng, đột biến M8 gạch chún

TAGGAATAGAAGGGTGGGTGCAGGAGGCTGAGGGTGGGAAAGGGCAT
 GGGTGTTCATGAGGACAGAGCTTCCGTTCATGCAATGAAAAGAGTTGG
 AGACGGATGGTGGTACTGGACTATACACTACACACCGTAGCGATGGTA
 CACTTGTATTATGTATATTACACGATCTTTAAAGTGTCAAAGGCAA
 ATGGCCAAATGGTCCTTGCCTATAGCTGTAGCAGCCATCGGCTGTTAGT
 GACAAAGCCCCGTGAGTCAAGATGACAGCAGCCCCATAACTCCTAACCG
 CTCTCCCGCGTGGAGTCATTAGGAGTAGTCGCATTAGAGACAAGTCCAAC
 ATCTAACCTCCACCCCTGCCAGGGCCCCAGCTGGCAGCGAGGGTGGGAG
 ACTCCGGGCAGAGCAGAGGGCGCTGACATTGGGCCGGCCTGGCTTGG
 TCCCTCTGGCCTTCCCCAGGGGCCCTTTCCCTGGGCTTCTGGCCG
 CCACTGCTCCGCTCCTCTCCCCCATCCCACCCCTCACCCCTCGTTCT
 CATATCCTCTCTAGTGCTCCCTCCACTTCATCCACCCCTCTGCAAGAGTG
 TGGGACCACAAATGAGTTCACCTGCCAGGGACACACGTGCCCG
 AGGTGCTGAGTGAACCTAGGACAGTAATCTGCTTAGGCTAAAGGGAA
 CTTGATCTCTGTTAGCCCTAACATCAATTAGCAGAGCCGGTAAGGTGC
 AGAACCTACCGCCTTCCAGGCCTCCTCCCACCTCTGCCACCTCCACTCTCC
 TTCCTGGATGTGGGGCTGGCACACGTGTGGCCCAGGGCATTGGTGGGA
 TTGCACTGAGCTGGTCATTAGCGTAATCCTGGACAAGGGCAGACAGGGC
 GAGCGGAGGGCCAGCTCCGGGCTCAGGCAAGGCTGGGGCTCCCCAG
 ACACCCCACTCCTCTGCTGGACCCCCACTTCATAGGGCACTCGTGTTC
 TCAAAGGGCTTCAAATAGCATGGTGGCCTGGATGCCAGGGAAAGCCTC
 AGAGTTGCTTATCTCCCTCTAGACAGAAGGGAAATCTCGGTCAAGAGGG
 GAGGTCGCCCTGTTCAAGGCCACCCAGCCAGCTCATGGCGTAATGGGAC
 AAGGCTGCCAGCCATCCCACCCCTCAGAAGGGACCCGGTGGGCAGGTGA

TCTCAGAGGAGGCTCACTTCTGGGTCTCACATTCTGGATCGATTACAGGT
 TTCCAGCAAATCCCTCTGAGCCGGGGGGCTGCCCTCAGGAGCAAG
 GAAGCAAGGGGTGGGAGGAGGAGGTCTAAGTCCCAGGCCAATTAAGAG
 ATCAGATGGTAGGATTGGAGCTTTAAGGTGAAGAGGCCGGGCTG
ATCCCACGGCCGGTATAAAGCACCGTGACCCTCAGGTGACGCACCATCTA
GAGCTGCCGTGGGACAGGGCTTCATAGCC

SEQ ID NO:7- cADN *CNGA3* tối ưu hóa không codon

ATGGCCAAGATCAACACCCAATACTCCCACCCCTCCAGGACCCACCTCAA
 GGTAAAGACCTCAGACCGAGATCTCAATCGCGCTGAAAATGGCCTCAGCA
 GAGCCCACTCGTCAAGTGAGGAGACATCGTCAGTGCTGCAGCCGGGATC
 GCCATGGAGACCAGAGGACTGGCTGACTCCGGCAGGGCTCCTCACCGG
 CCAGGGATGCCAGGCTGCGCCTCATCTTCTGCTGCGCAGGTGGC
 TGCCAGGCATGTGCACCACCAAGGACCAAGGGACTCTTCCTGATCG
 TTTCCGTGGAGCCGAGCTTAAGGAGGTGTCCAGCCAAGAAAGCAATGCC
 AGGCAAATGTGGCAGCCAGGAGCCAGCAGACAGAGAGGGAGAACGCC
 GCCCCTGGCAAATGCAACACTAACACCAAGCAACAACACGGAGGAGGAG
 AAGAAGACGAAAAAGAAGGATGCGATCGTGGGACCCGTCCAGCAACCT
 GTACTACCGCTGGCTGACCGCCATGCCCTGCCTGTCTTCTATAACTGGTA
 TCTGCTTATTGCAGGGCCTGTTGATGAGCTGCAGTCCAGTACCTGAT
 GCTGTGGCTGGCCTGGACTACTCGGCAGATGTCCTGTATGCTTGGATGT
 GCTTGTACGAGCTGGACAGGTTCTCGAGCAAGGCTTAATGGTCAGTGA
 TACCAACAGGCTGGCAGCATTACAAGACGACCACGCAGTTCAAGCTGG
 ATGTGTTGCCCTGGCCCCACCGACCTGGCTTACTAAAGGTGGCACAA
 ACTACCCAGAAGTGAGGTTCAACCGCTACTGAAGTTCCCGGCTCTTG
 AATTCTTGACCGCACAGAGACAAGGACCAACTACCCAAATATGTTCAAG
 ATTGGAACTTGGCTTGATCATTCTCATCATCCACTGGAATGCC
 ATCTACTTGCCTTCCAAGTTCAAGTCTATTGGTTGGACAGACTCCTGG
 ACCCAAACATCTCAATCCCAGAGCATGGCGCCTCTCCAGGAAGTACATT
 ACAGTCTACTGGTCCACCTGACCCATTGGTGAGACCCAC
 CCCCCGTGAAAGATGAGGAGTATCTCTTGTTGGACAGACTCCTGG
 GTGTTCTGATTTGCCACCAATTGTGGCAATGTGGCTCCATGATCTGA
 ATATGAATGCCTCACGGCAGAGTCCAGGCCAAGATTGATTCCATCAAG

CAGTACATGCAGTTCCGCAAGGTACCAAGGACTTGGAGACGCCGGTTAT
 CCGGTGGTTGACTACCTGTGGCCAACAAGAACGAGACGGTGGATGAGAAGG
 AGGTGCTCAAGAGCCTCCCAGACAAGCTGAAGGCTGAGATGCCATCAC
 GTGCACCTGGACACGCTGAAGAAGGTTCGCATCTTCAGGACTGTGAGGC
 AGGGCTGCTGGTGAGCTGGTGCAGACTGCGACCCACTGTGTTCAGCCC
 TGGGGATTATATCTGCAAGAACGGAGATATTGGGAAGGAGATGTACATCA
 TCAACGAGGGCAAGCTGGCGTGGTGGCTGATGATGGGTCACCCAGTTC
 GTGGTCCTCAGCGATGGCAGCTACTCGGGGAGATCAGCATTCTGAACATC
 AAGGGGAGCAAGTCGGGAACCGCAGGACGCCAACATCCGAGCATTG
 GCTACTCAGACCTGTTCTGCCTCTCAAAGGACGATCTCATGGAGGCCCTCA
 CCGAGTACCCGAAGCCAAGAACGGCCCTGGAGGAGAAAGGACGGCAGAT
 CCTGATGAAAGACAACCTGATCGATGAGGAGCTGGCCAGGGCGGCG
 ACCCCAAGGACCTTGAGGAGAAAGTGGAGCAGCTGGGTCCCTGGAC
 ACCCTGCAGACCAGGTTGCACGCCCTGGCTGAGTACAACGCCACCCAG
 ATGAAGATGAAGCAGCGTCTCAGCCAAGGAAAGCCAGGTGAAGGGTGG
 TGGGGACAAGCCCCCTGGCTGATGGGAAGTTCCGGGATGCTACAAAAAA
 CAGAGGACAAACAACAGTGA

SEQ ID NO:8 - cADN *CNGA3* tối ưu hóa codon

ATGGCAAAATCAATAACCCAGTACAGCCACCCCTCACGAACTCACCTGAA
 AGTCAAAACAAGCGATAGAGACCTGAACAGAGCCGAGAACGGCCTGTCCA
 GGGCCCACAGCTCCTCTGAGGAAACTAGTTCAGTGCTGCAGCCTGGAAATC
 GCTATGGAGACCAGAGGGCTGGCTGACTCTGCCAAGGAAGTTCACAGG
 GCAGGGCATGCCAGGCTGTCTAGACTGATTTCTGCTGAGGAGATGGGC
 CGCTAGGCATGTGCACCATCAGGACCAGGGACCCGATAGTTCCCTGAC
 AGGTTCAGGGGGGCCGAACTGAAGGAGGTAGCTCCAGGAATCTAACGC
 ACAGGCCAATGTGGCAGTCAGGAGCCCGCTGATAGAGGACGGTCCGCAT
 GCCCTCTGCCAAGTGCAACACTAACCTCTAACAAATACAGAGGAAGAG
 AAGAAAACAAAGAAAAAGGATGCCATCGTGGCTGACCCCTTAGTAACCT
 GTACTATAGGTGGCTGACAGCTATCGCACTGCCAGTGTCTACAATTGGTA
 TCTGCTGATTGCAGAGCTTGTGACGAAGTCAGACTGCTGAGTATCTG
 ATGCTGTGGCTGGTGGATTACTCAGCAGACGTGCTGTATGTGCTGGAT
 GTCCTGGTGCACGACAACTGGGTCCTGGAGCAGGGCCTGATGGTGAG

CGACACCAACAGACTGTGGCAGCACTACAAAACCACAACTCAGTTAAGC
 TGGATGTCCTGTCCCTGGTCCAACCGACCTGGCCTACCTGAAAGTCGGCA
 CAAACTATCCGAGGTGCGGTTCAATGCCCTGCTGAAGTTCTCTCGGCTGT
 TTGAGTTCTCGATAGGACAGAGACTAGAACCAACTACCCAAATATG
 TTCCGCATCGGCAACCTGGTGCTGTATATTCTGATCATTATCCACTGGAAT
 GCTTGTATCTACTTGCAATCAGCAAGTTCATTGGATTGGGACCGACAGC
 TGGGTGTATCCAAACATTCCATCCCCGAACATGGACGACTGAGCAGGAA
 GTACATCTATTCACTGTACTGGAGCACACTGACTCTGACCACAATTGGGGA
 GACCCCCCTCCAGTGAAGGATGAAGAGTACCTGTTCGTGGTGTGGACTT
 TCTGGTCGGCGTGCTGATCTCGCAACAATTGTCGGCAATGTGGGA
 AGTATGATCTCAAACATGAATGCCTCACGAGCTGAGTCCAGGCTAAAATT
 GACAGCATCAAGCAGTATATGCAGTTAGAAAAGTCACTAAGGATCTGGA
 GACCAGAGTGATCCGGTGGTTGACTACCTGTGGCCAACAAAAAGACAG
 TCGATGAAAAAGAGGTGCTGAAGAGCCTGCCGACAAACTGAAGGCAGA
 GATTGCCATCAATGTCCATCTGGATACTCTGAAAAAGGTGCGGATCTTCCA
 GGACTGCGAAGCAGGACTGCTGGTCGAGCTGGTGTGAAGCTGCGCCCT
 ACCGTGTTAGCCCAGGCGATTATATCTGTAAAAAGGGGACATTGGCAA
 AGAAATGTACATTATCAACGAGGGGAAGCTGGCTGTCGTGGCAGACGATG
 GCGTACCCAGTCGTCGTGCTGAGCGATGGCAGCTATTGGAAATT
 CCATCCTGAATATCAAAGGCTCCAAGTCTGGAAACCGGCGCACAGCTAAT
 ATTGGTCCATCGGATATTCTGACCTGTTCTGCCTGTCTAAGGACGATCTG
 ATGGAGGCAGTGACTGAATAACCCGAGGCCAAAAGGCTCTGGAAGAG
 AAAGGCCGGCAGATCCTGATGAAGGATAACCTGATTGACGAAGAGCTGGC
 ACGAGCTGGAGCAGACCCCTAAAGATCTGGAAGAGAAGGTGGAGCAGCTG
 GGATCAAGCCTGGATACCCCTGCAGACACGCTTCGCTCGACTGCTGGCAGA
 ATACAATGCCACCCAGATGAAAATGAAGCAGCGCTGAGTCAGCTGGAGT
 CACAGGTGAAAGGCGGAGGGACAAGCCCTGGCAGATGGCGAAGTCCCT
 GGCGACGCTACAAAACAGAACAGATAACAGCAGTAA

SEQ ID NO:9 - cADN *PDE6C*, NM_006204.3

ATGGGTGAGATCAACCAAGTTGCCGTGGAGAAATACCTGGAGGAGAACCC
 TCAGTTGCCAAGGAGTACTTGACAGGAAGTTGCGGGTGGAGGTGCTGG
 GAGAAATCTCAAGAACAGCCAGGTGCCAGTCCAGCATGTCCTTCT

CTGAGCTGACCCAGGTGGAGGAGTCAGCCCTGTGCTTGGAGCTGCTGTGG
ACCGTGCAGGAGGAGGGGGCACCCCAGAGCAGGGGGTCACAGGGCCC
TGCAGAGGCTGGCCCACCTGCTCCAGGCTGACCCTGCAGCATGTTCTGT
GCCGGTCCCAGAACGGCATACCTGAGGTGGCCTCTAGGTTGCTGGATGTCA
CCCCCACCTCCAAGTTGAGGACAACCTGGTGGCCCTGACAAAGAAGTT
GTGTTCCATTGGACATTGGATAGTGGGTTGGGCTGCTCACACGAAGAAA
ACTCATAATGTCCCAGATGTGAAAAAGAACAGCCATTTCATGACTTCATG
GACAAGCAAACGGGTATGTCACTAAGAACCTGCTGGCAACCCGATCGT
GGTGGCAAGGAGGTTCTGCTGTGATCATGGCAGTTAACAAAGTAAATG
CATCTGAATTTCACAAACAGGATGAAGAGGTCTTCAAATACCTCAACT
TTGTGTCTATCATCCTAACGGCTTCATCACACCAGCTACATGTACAATATTG
AATCCCGAAGAACGCCAGATCCTATGTGGTCAGCCAATAAGTATTGAA
GAACTCACAGATGTTGAGCGACAGTTACAAAGCGCTCTACACGGTTAG
ATCATATCTGAACACTGTGAACGATACTCCATTGGACTGCTGGACATGACCAA
GGAGAAGGAATTCTACGATGAATGGCAATCAAGCTTGGAGAAGTAGAGC
CTTATAAAGGTCAAAGACACCTGATGGCAGGGAAAGTCAACTTTATAAA
ATCATTGATTACATTACATGGAAAAGAAGAGATCAAAGTGATTCCGACG
CCTCCTGCAGACCCTGGACACTCATTAGTGGGTTGCCAACATATGTTGCT
GAAAATGGATTATCTGTAACATGATGAATGCCCTGCGGATGAATACTTC
ACATTCAGAAAGGACCTGTAGACGAAACTGGTGGTCATTAAGAATGTT
TTGTCCTGCCTATTGTCAACAAAGAAAGATATTGTGGGAGTGGCTACA
TTTACAACAGGAAGGATGGAAAACCTTCGATGAGCATGATGAATACATT
ACCGAGACTCTCACACAATTCTGGATGGCTCTTTAAATACTGACACCT
ACGATAAGATGAATAAGCTAGAAAACAGAAAGGACATTGCTCAGGAAATG
CTCATGAACCAAACCAAAGCCACTCCTGAAGAAATTAAGTCCATTGAA
ATTCAAGAGAAGTAAATGTTGATGTAATTGACGACTGTGAAGAAAAAC
AACTTGTGCAATTGAAAGAGGACTTGCCAGACCCACGCTCAGCAGAA
CTGTACGAATTCCGCTTCAGTGACTTCCCCCTACAGAGCACGGATTGATT
AAATGTGGAATACGACTGTTTTGAAATAATGTGGTGGAGAAATTCAAA
GTACCTGTAGAGGTTCTACAGATGGATGTACACTGTGAGGAAAGGGTA
CCGAGCTGTCACCTACCACAATTGGCGGCATGGGTTAACGTGGGGCAGA
CCATGTTACTTGCTGATGACAGGAAGATTAAAGAAGTACTACACAGATC

TCGAAGCCTTGCCATGCTGCTGCTTCTGCCATGATATTGACCACAG
 AGGCACCAATAATTGTACCAAGATGAAATCCACGTCTCCATTAGCAAGACT
 TCATGGTTCTCTATTGGAGAGGCACCACCTGGAGTACAGTAAGACTCT
 GTTGCAGGATGAGAGTTAACATCTCCAGAACCTAAATAAGCGGCAGTT
 TGAAACAGTTATTCAAGAAGAGGACCATGTTCAAAAAATTGTTGATGCCTGTGA
 ACAAAATGCAAACGGAAGAAGAAGCCATCAAATATGTAACGTGATCCAA
 CCAAGAAAGAGATTATGGCAATGATGATGACGGCATGTGACTTGTCT
 GCTATTACCAAGCCCTGGGAGGTGCAAAGTCAGGTAGCACTTATGGTGCA
 AATGAATTGGAAACAAGGAGATCTGGAGAGAACAGTGTGCAGCAACA
 ACCCATTCCATGATGGACAGAAACAAAAGAGATGAATTACCTAAACTTC
 AAGTTGGATTATTGATTTGTTGACTTTGTATATAAGGAGTTCTCACG
 GTTCAACAAAGAAATCACACCTATGCTGAGTGGCTTCAGAATAACAGAGT
 AGAATGGAAATCACTAGCTGATGAGTATGATGCAAAGATGAAGGTCATTG
 AAGAGGAGGCAAAAAAGCAAGAAGGAGGAGCCGAAAAAGCTGCTGAAGA
 TTCAGGAGGTGGTATGACAAAAAGTCCAAACATGTTAATGTTGTAA

SEQ ID NO:10 - cADN *PDE6H*, NM_006205.2

ATGAGTGACAACACTACTCTGCCTGCTCCAGCTCAAACCAGGGCCTACC
 ACCCCACGCAAAGGCCCTCCCAAGTTCAAGCAGAGGCAGACTGCCAATT
 CAAGAGTAAACCTCCAAAGAAAGGTGTGAAAGGATTGGAGATGACATTG
 CAGGAATGGAGGGCTAGGAACAGATATCACAGTGATTGTCATGGAG
 GCATTCAGCCACCTGGAATTGCATGAGCTCGCTCAGTTGGATTATCTGA

SEQ ID NO:11 - cADN *GNAT2*, NM_005272,3

ATGGGAAGTGGAGCCAGTGCTGAGGACAAAGAACTGGCCAAGAGGTCCA
 AGGAGCTAGAAAAGAACGCTGCAGGAGGATGCTGATAAGGAAGCCAAGAC
 TGTCAAGCTGCTACTGCTGGTGCTGGGAGTCAGGAAAGAGCACCATCG
 TCAAACAGATGAAGATCATTCAACCAGGATGGCTATTCAACCAGAAGAATGC
 CTGGAGTTCAAGGCTATCATCTATGGAAATGTGCTGCAGTCATCCTGGCT
 ATCATCCGGGCCATGACCACACTGGGCATCGATTATGCTGAACCAAGCTGT
 GCAGGATGACGGCGACAGCTAACAAACCTGGCTGACTCCATTGAGGAGGG
 AACCATGCCTCCTGAGCTCGTGGAGGTATTAGGAGGTTGTGGAAGGATG

GTGGGGTGCAAGCCTGCTCGAGAGAGCTGCAGAATACCAAGCTTAATGAC
TCCGCATCTTACTACCTGAACCAATTAGAACGAATTACAGACCCCTGAGTAC
CTCCCTAGTGAGCAAGATGTGCTCCGATCCAGAGTCAAAACCACGGGCAT
CATTGAAACCAAGTTTCCGTCAAAGACTTGAATTTCAGGATGTTGATGT
GGGAGGGCAGAGATCCGAGAGAAAGAACGTGGATCCACTGCTCGAGGG
GTCACCTGCATCATTTCTGTGCAGCCCTCAGTGCCTATGATATGGTGCTGG
TGGAAGATGACGAAGTGAATCGTATGCATGAGTCTTGCATCTGTTCAACA
GCATATGTAACCACAAATTCTTGCGGCTACTTCCATTGTCCTCTTCTCAA
CAAGAAGGACCTTTGAGGAAAAAAATCAAGAAAGTCCATCTCAGCATT
GTTTCCAGAGTATGATGGTAACAACCTCCTATGATGATGCGGGGAATTACA
TAAAGAGCCAGTCCTTGACCTCAATATGCGAAAAGATGTCAAAGAAATC
TACAGTCACATGACCTGTGCTACAGATAACAGAATGTCAAATTGTGTT
GATGCAGTTACAGATATTATCATCAAAGAAAACCTCAAGGACTGCGGCCT
CTTCTAA

SEQ ID NO:12 - cADN *KCNV2*, NM_133497.3

ATGCTCAAACAGAGTGAGAGGAGACGGCCTGGAGCTACAGGCCCTGGAA
CACGACGGAGAATGAGGGCAGCCAACACCGCAGGAGCATTGCTCCCTGG
GTGCCCGTCCGGCTCCCAGGCCAGCATCCACGGCTGGACAGAGGGCAAC
TATAACTACTACATCGAGGAAGACGAAGACGGCGAGGAGGAGGACCAAGT
GGAAGGACGACCTGGCAGAAGAGGGACCAGCAGGCAGGGAGGTACCCAC
CGCCAAGCCGAGGGCCCCAGCGACCCCTCCGGCCCTGCTGTCCACGCTGA
ATGTGAACGTGGTGGCCACAGCTACCAGCTGGACTACTGCGAGCTGGCC
GGCTTCCCCAAGACGCGCCTAGGTCGCCTGGCACCTCCACCAGCCGCAGC
CGCCAGCTAACGCTGTGCGACGACTACGAGGAGCAGACAGACGAATACTT
CTTCGACCGCGACCCGGCGTCTTCAGCTGGTCTACAATTCTACCTGTCC
GGGTGCTGCTGGTCTCGACGGCTGTGTCCCGCCGCTCCTGGAGGAG
CTGGGCTACTGGGCGTGGCTCAAGTACACGCCACGCTGCCCGCATC
TGCTTCGAGGAGCGCGCGAGGCGCAGGTCGAGGAGGCGGAGGAACCTTCCGCG
CGAGCTGCGCGCGAGGCGCAGGTCGAGGAGGCGGAGGAACCTCATGGAG
ACATGCGCTTCTACGGCCCGCAGCGGCCGCTCTGGAACCTCATGGAG
AAGCCATTCTCCTCGGTGGCCGCCAAGGCCATCGGGTGGCCTCCAGCACC
TTCGTGCTCGTCTCCGTGGTGGCGCTGGCGCTCAACACCGTGGAGGAGATG

CAGCAGCACTCGGGGCAGGGCGAGGGCGGCCAGACCTGCGGCCATCCT
 GGAGCACGTGGAGATGCTGTGCATGGGCTTCTCACGCTCGAGTACCTGCT
 GCGCCTAGCCTCACGCCGACCTGAGGCGCTCGCGCAGGCCCTCAA
 CCTGGTGGACCTGGGCCATCCTGCCGCTCACCTCAGCTGCTGCTCGA
 GTGCTTCACGGCGAGGCCACCAACGCCAGACGGTGGCAGCGTGG
 GTAAGGTGGTCAGGTGTTGCGCGTCATGCGCCTCATGCGCATCTCCGCA
 TCCTCAAGCTGGCGGCCACTCCACCGGACTGCGTGCCTCGGCTCACGC
 TCGGCCAGTGCTACCAGCAGGTGGCTGCCTGCTGCTCTCATGCCATGG
 GCATCTTCACTTCTCTGCCGCTGTCTACTCTGTGGAGCACGATGTGCCA
 GCACCAACTTCACTACCATCCCCACTCCTGGTGGTGGCCGCGGTGAGCA
 TCTCCACCGTGGCTACGGAGACATGTACCCAGAGACCCACCTGGCAGG
 TTTTTGCCTCCTCTGCATTGCTTTGGGATCATTCTAACGGGATGCCA
 TTTCCATCCTCTACAACAAGTTCTGATTACTACAGCAAGCTGAAGGCTT
 ATGAGTATAACCACCATACGCAGGGAGAGGGAGAGGTGAACCTCATGCAG
 AGAGCCAGAAAGAAGATAGCTGAGTGTGCTTGGAAAGCAACCCACAGCT
 CACCCAAGACAAGAGAATTAG

SEQ ID NO:13 - cADN *CACNA2D4*, NM_172364.4

ATGGTCTGTGGCTGCTCTGCCCTCCTCCCCAACCCCAGGCCACC
 ATGCCTGCAACTCCAACTTCCTCGCAAACCCCCAGCTCCAGCAGCCGCTGG
 ATTCCCCCTCAGCCAATGCCGTGGCCTGGCCTTGTGCAGAAGACCTCG
 GCCCTCCTGTGGCTGCTGCTTAGGCACCTCCCTGTCCCCGTGG
 CAGGCCAAGATT CCTCTGGAAACAGTGAAGCTATGGGCTGACACCTCGG
 CGGGGACCTGTATAACACTGTGACCAAATACTCAGGCTCTCTTGCTGCA
 GAAGAAGTACAAGGATGTGGAGTCCAGTCTGAAGATCGAGGAGGTGGATG
 GCTTGGAGCTGGTGAGGAAGTTCTCAGAGGACATGGAGAACATGCTGCGG
 AGGAAAGTCGAGGCAGTCCAGAAATCTGGTGGAAAGCTGCCAGGGAGGCCG
 ACCTGAACCACGAATTCAATGAATCCCTGGTGGACTATTACAACCTCGG
 TCCTGATCAACGAGAGGGACGAGAAGGGCAACTCGTGGAGCTGGCGCC
 GAGTTCCCTGGAGTCCAATGCTCACTCAGCAACCTGCCGGTGAACACC
 TCCATCAGCAGCGTGCAGCTGCCACCAACGTGTACAACAAAGACCCAGA
 TATTTAAATGGAGTCTACATGTCTGAAGCCTGAATGCTGTCTCGTGG
 GAACTTCCAGAGAGACCCAACGTTGACCTGGCAATATTTGGCAGTGCAA

CTGGATTCTCAGGATCTATCCAGGTATAAAATGGACACCTGATGAGAATG
GAGTCATTACTTTGACTGCCGAAACCGCGGCTGGTACATTCAAGCTGCTA
CTTCTCCCAAGGACATAGTGATTTGGTGGACGTGAGCGGCAGTATGAAGG
GGCTGAGGATGACTATTGCCAAGCACACCACCATCACCACCATCTGGACACCC
TGGGGGAGAATGACTTCATTAATATCATAGCGTACAATGACTACGTCCATT
ACATCGAGCCTGTTAAAGGGATCCTCGTCCAGGCAGGACCGAGACAATC
GAGAGCATTCAAAC TGCTGGTGGAGGAGTTGATGGTCAAAGGTGTGGGG
GTCGTGGACCAAGCCCTGAGAGAACGCCTCCAGATCCTGAAGCAGTTCCA
AGAGGCCAAGCAAGGAAGCCTCTGCAACCAGGCCATCATGCTCATCAGCG
ACGGCGCCGTGGAGGACTACGAGCCGGTTGAGAAGTATAACTGGCCA
GA C T G T A A G G T C C G A G T T T C A C T T A C C T C A T T G G G A G A G A A G T G T C T T T
GCTGACCGCATGAAGTGGATTGCATGCAACAAACAAAGGCTACTACACGCA
GATCTCAACGCTGGCGAACCCAGGAGAACGTGATGGAATACCTGCACG
TGCTCAGCCGCCCCATGGTCATCAACCACGACCACGACATCATCTGGACAG
AGGCCTACATGGACAGCAAGCTCCTCAGCTCGCAGGCTCAGAGCCTGACA
CTGCTCACCACTGTGGCCATGCCAGTCTCAGCAAGAAGAACGAAACGCG
ATCCCATGGCATTCTCCTGGGTGTTGGTGGCTCAGATGTGGCCCTGAGAGA
GCTGATGAAGCTGGCGCCCCGGTACAAGCTTGGAGTGCACGGATACGCCT
TTCTGAACACCAACAATGGCTACATCCTCTCCATCCGACCTCCGGCCCC
TGTACAGAGAGGGGAAGAAA ACTAAAACCAAACCTAACTACAACAGTGTG
GATCTCTCCGAAGTGGAGTGGGAAGACCAGGCTGAATCTCTGAGAACAGC
CATGATCAATAGGGAAACAGGTACTCTCTCGATGGATGTGAAGGTTCCGAT
GGATAAAGGGAAAGCGAGTTCTTCCCTGACCAATGACTACTTCTCACCGA
CATCAGCGACACCCCTTCAGTTGGGGGTGGTGGCTGTCCCAGGGCACCG
AGAATACATCCTCTGGGAACACGTCTGTGGAAGAACGGCTGCATGACTT
GCTTCACCCAGACCTGGCCCTGGCCGGTGACTGGATCTACTGCATCACAGA
TATTGACCCAGACCACCGGAAGCTCAGCCAGCTAGAGGCCATGATCCGCT
TCCTCACCAAGGAAGGACCCAGACCTGGAGTGTGACGAGGAGCTGGCCGG
GAGGTGCTGTTGACGCCGGTGACAGCCCCCATGGAAGCCTACTGGAC
AGCGCTGGCCCTAACATGTCCGAGGAGTCTGAACACGTGGTGGACATGG
CCTTCCTGGCACCCGGCTGGCCTCCTGAGAAGCAGCTGTTCGTGGGCT
CCGAGAAGGTCTCGACAGGAAGTTCCCTGACACCTGAGGACGAGGCCAGC

GTGTTCACCTGGACCGCTTCCGCTGTGGTACCGCCAGGCCTCAGAGCAT
 CCTGCTGGCAGCTCGTCTCAACCTCCGCTGGCAGAAGGACCAGAAAGT
 GCGGGTGAACCCATGGTGGTACGGCAAGCACAGCTGTGGCGGTGACCGT
 GGACAAGAGGGACAGCCATTGCTGCAGCCGCGGCGTCAAATGAAGCTGG
 AATTCCCTCCAGCGCAAATTCTGGCGGCAACGCCAGTCAGTGCAGCACTGTG
 GATGGGCCGTGCACACAGAGCTGCGAGGACAGTGATCTGGACTGCTCGT
 CATCGACAACAACGGGTTCATTCTGATCTCCAAGAGGTCCCAGAGACGG
 GAAGATTCTGGGGAGGTGGATGGTGCCTGACCCAGCTGCTCAGCA
 TGGGGTGTTCAGCCAAGTGACTATGTACTATCAGGCCATGTGCAAAC
 CCTCGAGTCACCACACAGTGCAGCCCAGCCCTGGTCAGCCAATTCTG
 CCTTCTGACGGCGACCAGGTGGCTGCAGGAGCTGGTGTCTGC
 TGGAGTGGAGTGTCTGGGCTCCTGGTACGACAGAGGGCCGAGGCCAAA
 AGTGTCTTCCATCACTCCCACAAACACAAGAAGCAGGACCCGCTGCAGCC
 CTGCGACACGGAGTACCCGTGTTGTAACAGCCGGCATCCGGGAGG
 CCAACGGGATCGTGGAGTGCAGGCCCTGCCAGAAGGTATTGTGGTGCAG
 CAGATTCCAACAGTAACCTCCTCCTGGTACAGACAGACCCACCTGTGAC
 TGCAGCATCTCCCACCAAGTGCTGCAGGAGGCGACAGAAGTCAAATATAA
 TGCCTCTGTCAAATGTGACCGGATGCGCTCCCAGAAGCTCCGCCGGCGACC
 AGACTCCTGCCACGCCTCCATCCAGAGGAGAATGCCAGGACTGCCGGCG
 GCGCCTCGGACACCTCAGCCTGCCGCCCTACTCCTGCTGCCTGTGTG
 CCTGGGGGCTACTGCCCAACTCCTGCCGTGA

SEQ ID NO:14 - cADN *CNGB3*, NM_019098.4

ATGTTAAATCGCTGACAAAAGTCAACAAAGGTGAAGCCTATAGGAGAGAA
 CAATGAGAATGAACAAAGTTCTCGTCGGAATGAAGAAGGCTCTCACCCAA
 GTAATCAGTCTCAGCAAACACAGCACAGGAAGAAAACAAAGGTGAAGA
 GAAATCTCTCAAAACCAAGTCAACTCCAGTCACGTCTGAAGAGGCCACACA
 CCAACATACAAGACAAACTCTCCAAGAAAAATTCTCTGGAGATCTGACC
 ACAAACCTGACCCCTCAAAATGCAGCAGAACCAACTGGAACAGTGCCAGA
 GCAGAAGGAAATGGACCCGGAAAGAAGGTCAAACAGCCCACAAAAC
 AAACCGCCTGCAGCTCCTGTTATAATGAGTATGCCGATGCCAGCTACAC
 AACCTGGTAAAAGAATGCGTCAAAGAACAGCCCTCTACAAGAAAAAGTT
 GGTAGAGGGAGATCTCTCCTCACCCGAAGCCAGCCCACAAACTGCAAAGC

CCACGGCTGTACCACCACTAAAAGAAAGCGATGATAAGCCAACAGAACAT
TACTACAGGCTGTTGGTCAAAGTCAAAAAGATGCCTTAACAGAGTAC
TTAAAGCGAATTAAACTCCAAACAGCATAGATTACATACACAGATCGACTC
TATCTCCTGTGGCTCTGCTTCAGTCACTCTGCCTATAACTGGAAGTGCTGGT
TTATACCACTGCGCCTCGTCTTCCCATACTAAACCGCAGACAACATACACT
ACTGGCTTATTGCGGACATCATATGTGATATCATCTACCTTATGATATGCT
ATTTATCCAGCCCAGACTCCAGTTGTAAGAGGGAGGAGACATAATAGTGG
ATTCAAATGAGCTAAGGAAACACTACAGGACTTCTCCAAAATTCAGTTGG
ATGTCGCATCAATAATACCATTGATATTGCTACCTCTTGGTTAA
TCCAATGTTAGAGCAAATAGGATGTTAAAGTACACTTCATTGGTTGAATT
AATCATCACCTAGAGTCTATAATGGACAAAGCATATATCTACAGAGTTATT
CGAACAACTGGATACTGCTGTTATTCTGCACATTAAATGCCTGTGTTATT
ACTGGGCTCAAACATGAAGGAATTGGCACTACTAGATGGGTATGATG
GGGAAGGAAACGAGTATCTGAGATGTTATTGGCAGTTCGAACCTTAA
TTACCATTGGTGGCCTACCAGAACCAACAACTTATTGAAATTGTTTCA
ACTCTGAATTTCTGGAGTTTGTTCTCCAGTTAAATTGGTCAGA
TGAGAGATGTGATTGGAGCAGCTACAGCCAATCAGAACTACTCCCGGCC
TGCATGGATGACACCATTGCCTACATGAACAATTACTCCATTCTAAACTT
GTGCAAAAGCGAGTCGGACTTGGTATGAATATACATGGACTCTCAAAG
AATGCTAGATGAGTCTGATTGCTTAAGACCCTACCAACTACGGTCCAGTT
AGCCCTGCCATTGATGTGAACTTCAGCATCATCAGCAAAGTCGACTTGGT
CAAGGGTTGTGATACACAGATGATTATGACATGTTGCTAAGATTGAAATC
CGTTCTCTATTGCCTGGTACTTGTCTGCAAAAAGGGAGAAATTGGCAA
GGAAATGTATATCATCAAGCATGGAGAAGTCCAAGTTCTGGAGGCCCTG
ATGGTACTAAAGTTCTGGTTACTCTGAAAGCTGGTCGGTGGAGAAA
TCAGCCTCTAGCAGCAGGAGGAAACCGTCGAACTGCCAATGTGGTG
GCCCACGGTTGCCAATCTTTAACTCTAGACAAAAAGACCCTCCAAGAA
ATTCTAGTGCATTATCCAGATTCTGAAAGGATCCTCATGAAGAAAGCCAGA
GTGCTTTAAAGCAGAAGGCTAAGACCGCAGAAGCAACCCCTCCAAGAAA
AGATCTTGCCTCCTCTCCACCGAAAGAAGAGACACCCAAACTGTTAA
AACTCTCCTAGGAGGCACAGGAAAAGCAAGTCTGCAAGACTACTCAAAT
TGAAGCGAGAGCAAGCAGCTCAGAAGAAAGAAAATTCTGAAGGAGGAGA

GGAAGAAGGAAAAGAAAATGAAGATAAACAAAAAGAAAATGAAGATAAA
 CAAAAAGAAAATGAAGATAAAGGAAAAGAAAATGAAGATAAAGATAAAG
 GAAGAGAGCCAGAAGAGAAGCCACTGGACAGACCTGAATGTACAGCAAG
 TCCTATTGCAGTGGAGGAAGAACCCCACTCAGTTAGAAGGACAGTTTACC
 CAGAGGGACTTCTCGTCAATCACTCATTATCAGCATGGCTCCTCTGCTGA
 GGGCGGAGAAGAGGTTCTACTATTGAAGTCAAAGAAAAGGCTAAGCAAT
 AA

SEQ ID NO:15 - cấu trúc hG1.7(M8), mảnh LCR opsin 1,2 kb M/L, mảnh opsin 500 bp M, UTR in nghiêng, đột biến M8 gạch chân

TAGGAATAGAAGGGTGGGTGCAGGAGGCTGAGGGTGGGAAAGGGCAT
 GGGTTCATGAGGACAGAGCTCCGTTCATGCAATGAAAAGAGTTGG
 AGACGGATGGTGGTGAUTGGACTATACACTTACACACCGTAGCGATGGTA
 CACTTGATTATGTATTTACACGATCTTAAAGTGTCAAAGGCAA
 ATGCCAAATGGTCCTGTCCTATAGCTGTAGCAGCCATGGCTGTTAGT
 GACAAAGCCCCCTGAGTCAAGATGACAGCAGCCCCATAACTCCTAATCGG
 CTCTCCCGGTGGAGTCATTAGGAGTAGTCGCATTAGAGACAAGTCCAAC
 ATCTAATCTTCCACCCCTGCCAGGGCCCCAGCTGGCAGCGAGGGTGGGAG
 ACTCCGGGCAGAGCAGAGGGCGCTGACATTGGGCCGGCTGGCTGG
 TCCCTCTGGCCTTCCCCAGGGCCCTTTCCCTGGGCTTCTGGCCG
 CCACTGCTCCGCTCCTCCCCCATCCCACCCCTCACCCCTCGTTCT
 CATATCCTCTCTAGTGCTCCCTCACTTCATCCACCCCTTGCAAGAGTG
 TGGGACCACAAATGAGTTCACCTGGCCTGGGACACACGTGCCCCAC
 AGGTGCTGAGTGACTTCTAGGACAGTAATCTGCTTGGCTAAAGGGAA
 CTTGATCTCTGTTAGCCCTAACATCAATTAGCAGAGCCGGTGAAGGTGC
 AGAACCTACCGCCTTCCAGGCCTCCTCCCACCTCTGCCACCTCCACTCTCC
 TTCCGGATGTGGGGCTGGCACACGTGTGGCCAGGGATTGGTGGGA
 TTGCACTGAGCTGGTCATTAGCGTAATCCTGGACAAAGGGCAGACAGGGC
 GAGCGGAGGGCCAGCTCCGGGCTCAGGCAAGGCTGGGGCTCCCCAG
 ACACCCCACTCCTCTGCTGGACCCCCACTTCATAGGGCAGTCGTGTT
 TCAAAGGGCTTCAAATAGCATGGTGGCCTGGATGCCAGGGAAAGCCTC
 AGAGTTGCTTATCTCCCTCTAGACAGAAGGGAAATCTCGGTCAAGAGGGAA
 GAGGTCGCCCTGTTCAAGGCCACCCAGCCAGCTCATGGCGGTAAATGGGAC

AAGGCTGCCAGCCATCCCACCCCTCAGAAGGGACCCGGTGGGCAGGTGA
 TCTCAGAGGAGGCTCACTTCTGGGTCTCACATTCTGGATCACAGGTATTT
 GCCACTAAGCCCAGCTAATTGTTTTATTAGTAGAAACGGGGTTTCACC
 ATGTTAGTCAGGCTGGTCGGAACTCCTGACCTCAGGAGATCTACCCGCCT
 TGGCCTCCCAAAGTGCTGGGATTACAGGCGTGTGCCACTGTGCCAGCCAC
 TTTTTTAGACAGAGTCTTGGTCTGTTGCCAGGCTAGAGTCAGTGGCGC
 CATCTCAGCTCACTGCAACCTCCGCCTCCCAGATTCAAGCGATTCTCCTGC
 CTCGACCTCCCAGTAGCTGGGATTACAGGTTCCAGCAAATCCCTCTGAGC
 CGCCCCCGGGGCTGCCAGGAGCAAGGAAGCAAGGGTGGGAGGGAG
 GAGGTCTAAGTCCCAGGCCAATTAAGAGATCAGATGGTAGGATTGG
 GAGCTTTAAGGTGAAGAGGCCGGCTGATCCCAGTGGCCGGTATAAAG
 CACCGTGACCCCTCAGGTGACGCACCATCTAGAGCTGCCGTGGGACAGGG
CTTTCCATAGCC

SEQ ID NO:16 – Đột biến M8

TCTAGA

SEQ ID NO:17 – SEQ ID NO:2 2- mảnh gen khởi đầu opsin 2,0 kb M, mảnh 500 bp của SEQ ID NO:3 gạch chún, UTR in nghiêng, đột biến M8 gạch chún

TAAAAAAGCAAGTCTGCCAGGGCAGTGGTGTGCACCTGTGGTCCCAGCTA
 CTCAGGATGCTGAGGCAGGAGGATTACTTGTGCCAGCAAGTAGAGGCTG
 CAGTGACCTGTGACTGTGCTACTGCCCTCCAACCTGGGTGACAGAGTGAGA
 CCTTGTCTAAAAAAAAAGAGCGGGGGGGGGCCGGCCGGCGTG
 GTGGCTCACAGCTGTAATCCCAGCACTTGGGAAGCCAAGGCGGGTGGAT
 CACTTGAGGTCAGGAGTTGAGACCATCATGGTCAACACTGCGAAACACT
 GTCCCTACTAAAAATACAAAAATTAGCCGGCATGGTGGCACACACCTGT
 AATCCCAGCTACTGGGAGGCTGAGGCAGGAGAATTGCTTGAGCCGGGGA
 GACGGAGGTTGCAGTGAGCCGAGACTGCGCCACTGCACTCCAGCCTGACT
 GACAAGAGTGAGATTGTCTAAAAAAAAAGTAATCACTAGAAA
 AGAACGCTACATATGTACATAACATCCAAATAACCAAGAGGGAGAAAAAAAT
 GGGACTTGATTAATCAAAACAAAAACAAAAAGAAAGAAAGAAAGGGGG
 AGAAAATAAAACAAGGGCTGGGTGTGCTGGCTATGCCTGTAATCCCAGC
 ACTTTGGAAGCCAAGGTGGGTGGATCTCTTGAGCTCAGGAGGTCAAGACC

AGCCTGGCAACATGGCGAAACCCGTCTATTAAAAAAAATTAATA
CAACAATTATCCTGGAGTGGTGGTCACACCTGAGTCCCAGCTACCCAGG
ACGCTGAGACGGGAGGATCGCTTGATCCGGGATGTCGAGGCTGCCGTG
ATCGCACCCTGCCTCCAGCCAGGGTGGCAGACTGAGACCCATCTCAA
AAAATAAATAAATAAAAGCAAACAAGAAAAAAAAGGCTGAAACATAT
CTGATAGATAAAGGGCTAACACACAATATAAGAACTGCAAATCAG
TAAACTAAGAGCAAATAACCCAAATATAAGACATTAAAGGGTAGCCACGG
ACATCTCAGACGACGAAAAACAAAAGACAGTAAACGTATAATAAACATG
TAATTGCAAGGTGATCCGGGAATAGTAAGCGAAAAGCAACAATTAAATAC
TATTTCTCATCCACCAAGAACGCCAAAAATTAAAAAGCCTAACATGTCCA
GGGCTGGCGAGAATGTGGCAGAAGGTGATGTCACATACCCTGCAAGTGGG
AATCTAACAGATTCAAGGTTTGGTTTTAATCGCAATTAGGTGGCC
TGTAAATTCTTGAGACAGAGTTGCTCTGCTTGTGCCAGGCTGGA
GTGCAATGGCTCGATCTGGCTACCGAACCTCGACCTCCAGGTACAAG
CGATTCTCCTGTCTCAGCCTCCAAGTAGCTGGAGTACAGGTATTGCCA
CTAACCCCAGCTAATTGTTTATTAGTAGAACACGGGTTTACCATGTT
AGTCAGGCTGGTCGGAAACTCCTGACCTCAGGAGATCTACCCGCTTGGCC
TCCCAAAGTGTGGATTACAGGCGTGTGCCACTGTGCCAGCCACTTTT
TTTAGACAGAGTCTGGTCTGTTGCCAGGCTAGAGTCAGTGGCGCCATC
TCAGCTCACTGCAACCTCCGCCTCCAGATTCAAGCGATTCTCCTGCCTCG
ACCTCCCAGTAGCTGGGATTACAGGTTCCAGCAAATCCCTCTGAGCCGCC
CCCGGGGCTGCCCTCAGGAGCAAGGAAGCAAGGGTGGGAGGAGGAGG
TCTAAGTCCCAGGCCAATTAAAGAGATCAGATGGTAGGATTGGGAGCT
TTTAAGGTGAAGAGGCCGGCTGATCCCCTGAGCTGCCCGTATAAAGCACCG
TGACCCCTCAGGTGACGCACCATCTAGAGCTGCCGTGGGACAGGGCTTCC

ATAGCC

Yêu cầu bảo hộ

1. Đơn vị kiểm soát phiên mã (TCU) dài lên đến 2500 nucleotit chứa theo hướng 5' đến 3':

(a) vùng kiểm soát quỹ tích (LCR) chứa

(i) SEQ ID NO 1; hoặc

(ii) trình tự có độ tương đồng trình tự ít nhất 90% với trình tự (a)(i) này; và

(b) thành phần gen khởi đầu chứa

(i) ít nhất 200 nucleotit cuối của SEQ ID NO: 17; hoặc

(ii) trình tự có độ tương đồng trình tự ít nhất 90% với trình tự (b)(i) này và chứa SEQ ID NO: 16;

TCU này biểu hiện hoạt động gen khởi đầu đặc hiệu tế bào nhận sáng hình nón.

2. TCU theo điểm 1, trong đó (b) chứa:

(i) ít nhất 500 nucleotit cuối của SEQ ID NO: 17, hoặc

(ii) trình tự có độ tương đồng trình tự ít nhất 90% với trình tự (i) này và chứa SEQ ID NO: 16;

TCU này biểu hiện hoạt động gen khởi đầu đặc hiệu tế bào nhận sáng hình nón.

3. TCU theo điểm bất kỳ trong số các điểm nêu trên, trong đó (b) chứa ít nhất 200 nucleotit của SEQ ID NO: 3.

4. TCU theo điểm bất kỳ trong số các điểm nêu trên, trong đó (b) chứa trình tự của ít nhất 10 nucleotit liền kề được chọn từ nucleotit 1 đến 35 của SEQ ID NO:3, hoặc trình tự chứa ít nhất 10 nucleotit liền kề được chọn từ trình tự có độ tương đồng trình tự ít nhất 90% với nucleotit 1 đến 35 của SEQ ID NO:3.

5. TCU theo điểm bất kỳ trong số các điểm nêu trên, trong đó (b) chứa:

(i) SEQ ID NO: 3; hoặc

(ii) trình tự có độ tương đồng trình tự ít nhất 90% với trình tự (i) này;

TCU này biểu hiện hoạt động gen khởi đầu đặc hiệu tế bào nhận sáng hình nón.

6. TCU theo điểm 5, trong đó TCU chứa SEQ ID NO: 4 hoặc SEQ ID NO:15.

7. TCU theo điểm 5, trong đó TCU chứa trình tự có độ tương đồng trình tự ít nhất 90%, ít nhất 95%, ít nhất 98%, hoặc ít nhất 99% với SEQ ID NO:15.
8. TCU theo điểm bất kỳ trong số các điểm từ 1 đến 3, trong đó thành phần gen khởi đầu chứa SEQ ID NO: 5.
9. TCU theo điểm 8, trong đó TCU chứa SEQ ID NO: 6.
10. TCU theo điểm 1, trong đó TCU chứa:
 - (a) LCR chứa SEQ ID NO: 1; và
 - (b) thành phần gen khởi đầu chứa SEQ ID NO: 3.
11. Cấu trúc biểu hiện chứa TCU theo điểm bất kỳ trong số các điểm nêu trên, được liên kết có điều khiển với trình tự cần được biểu hiện theo cách đặc hiệu tế bào nhận sáng hình nón.
12. Cấu trúc biểu hiện theo điểm 11, trong đó trình tự được liên kết có điều khiển là *CNGA3*, *CNGB3*, *PDE6C*, *PDE6H*, *GNAT2*, *KCNV2* hoặc *CACNA2D4*.
13. Cấu trúc biểu hiện theo điểm 12, trong đó trình tự được liên kết có điều khiển chứa SEQ ID NO: 7, 8, 9, 10, 11, 12, 13 hoặc 14, hoặc có độ tương đồng trình tự ít nhất 90% với SEQ ID NO: 7, 8, 9, 10, 11, 12, 13 hoặc 14 và có khả năng cung cấp chức năng tế bào nhận sáng hình nón.
14. Cấu trúc biểu hiện theo điểm 12 hoặc 13, trong đó trình tự được liên kết có điều khiển có độ tương đồng trình tự ít nhất 90% với SEQ ID NO: 8, hoặc có độ tương đồng trình tự ít nhất 95% với SEQ ID NO: 8, và có khả năng cung cấp chức năng tế bào nhận sáng hình nón.
15. Cấu trúc biểu hiện theo điểm 14, trong đó trình tự được liên kết có điều khiển chứa SEQ ID NO: 8, và có khả năng cung cấp chức năng tế bào nhận sáng hình nón.
16. Vectơ chứa TCU theo điểm bất kỳ trong số các điểm từ 1 đến 10 hoặc cấu trúc biểu hiện theo điểm bất kỳ trong số các điểm từ 11 đến 15.
17. Vectơ theo điểm 16, trong đó vectơ này là vectơ virut.
18. Vectơ theo điểm 17, trong đó vectơ này là vectơ virut liên hợp adeno (AAV).
19. Vectơ theo điểm 18, trong đó vectơ chứa hệ gen AAV hoặc dẫn xuất của nó.

20. Vectơ theo điểm 19, trong đó vectơ chứa hệ gen AAV hoặc dẫn xuất của nó, và trong đó capsit AAV có nguồn gốc từ AAV8.
21. Vectơ theo điểm 20, trong đó capsit AAV có nguồn gốc từ AAV8 và cấu trúc biểu hiện được xác định theo điểm bất kỳ trong số các điểm từ 11 đến 15.
22. Vectơ theo điểm 21, trong đó trình tự được liên kết có điều khiển là *CNGA3*.
23. Vectơ theo điểm bất kỳ trong số các điểm từ 19 đến 22, trong đó dẫn xuất này là dẫn xuất khám, được bố trí lại hoặc được cải biến capsit.
24. Vectơ theo điểm bất kỳ trong số các điểm từ 19 đến 23, trong đó hệ gen AAV này là từ kiểu huyết thanh có nguồn gốc tự nhiên hoặc thể phân lập hoặc nhánh của AAV.
25. Vectơ theo điểm 24, trong đó hệ gen AAV này là từ kiểu huyết thanh AAV 2 (AAV2), kiểu huyết thanh AAV 4 (AAV4), hoặc kiểu huyết thanh AAV 8 (AAV8) và/hoặc trong đó capsit có nguồn gốc từ AAV8.
26. Vectơ theo điểm 25, trong đó hệ gen có nguồn gốc từ AAV2 và capsit có nguồn gốc từ AAV8.
27. Tế bào chủ chứa vectơ theo điểm bất kỳ trong số các điểm từ 16 đến 26 hoặc sản xuất vectơ virut theo điểm bất kỳ trong số các điểm từ 16 đến 26.
28. Tế bào theo điểm 27, trong đó tế bào này là tế bào HEK293 hoặc HEK293T.
29. Dược phẩm chứa vectơ theo điểm bất kỳ trong số các điểm từ 16 đến 26 và chất mang dược dụng.

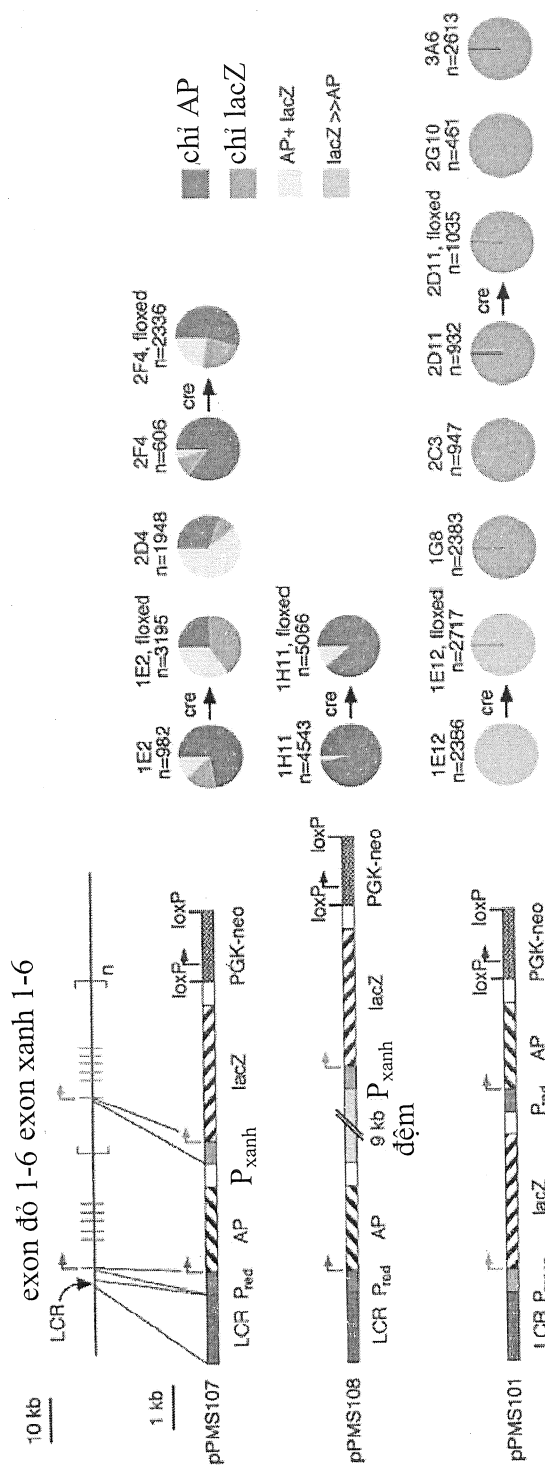


Fig. 1

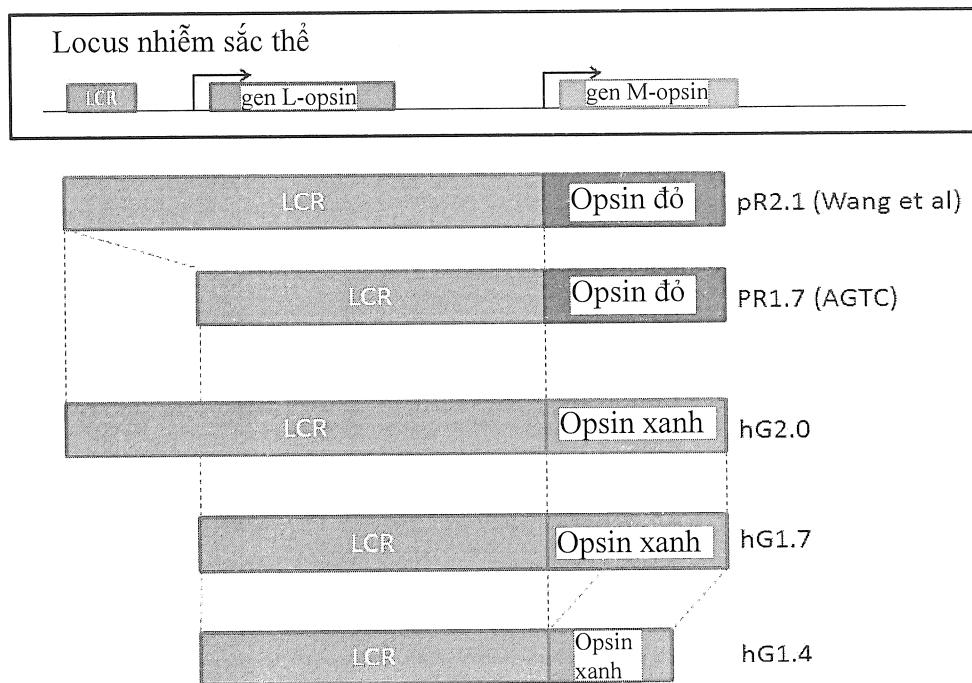


Fig. 2

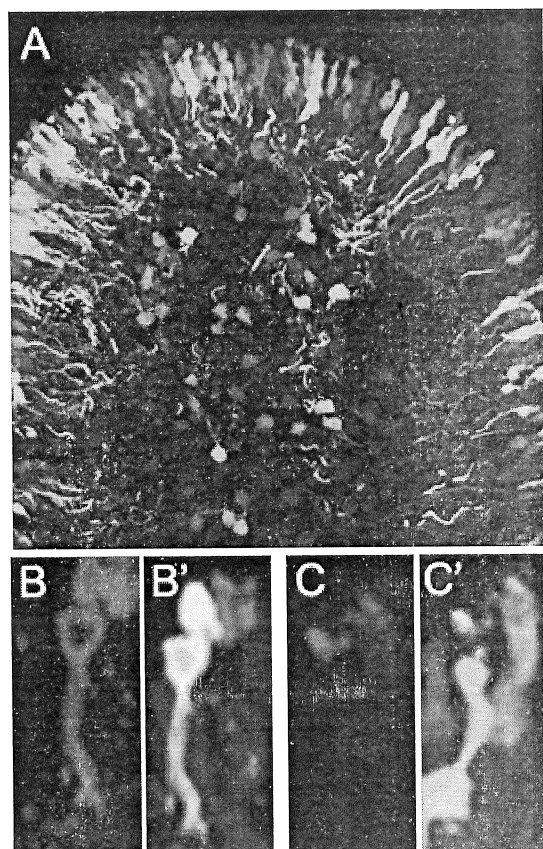


Fig. 3

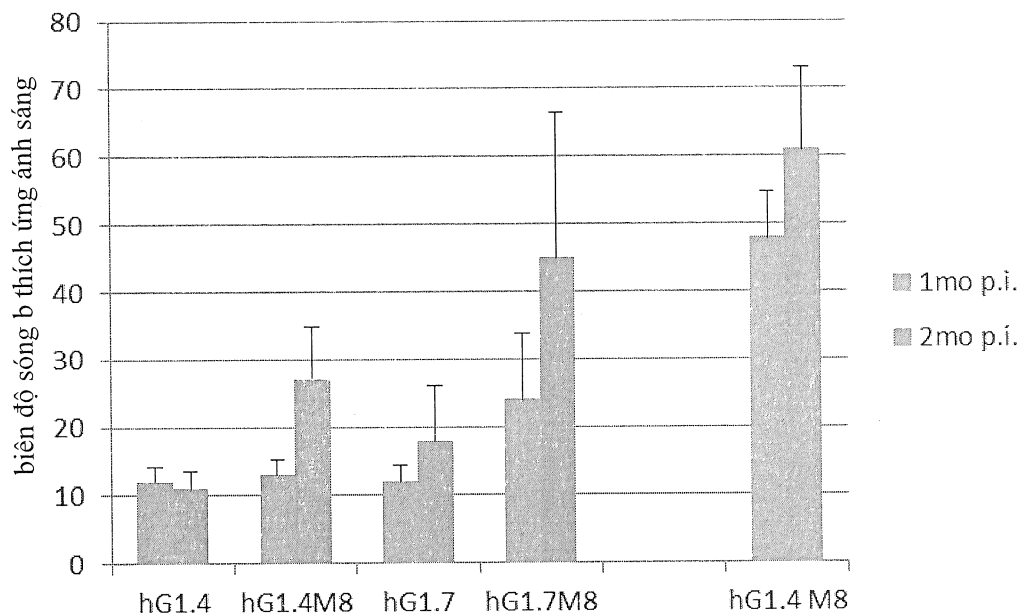


Fig. 4

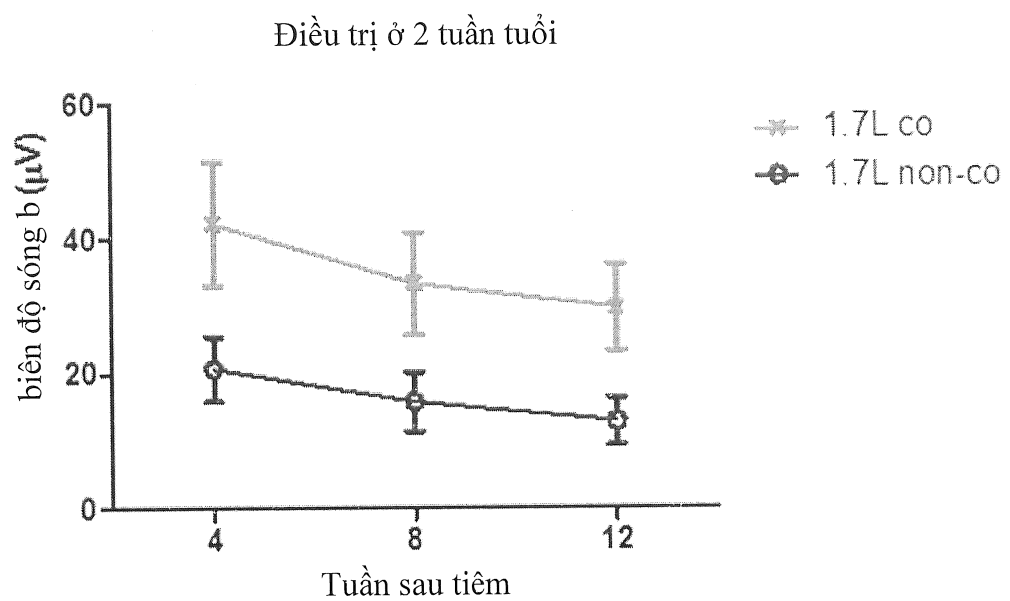


Fig. 5

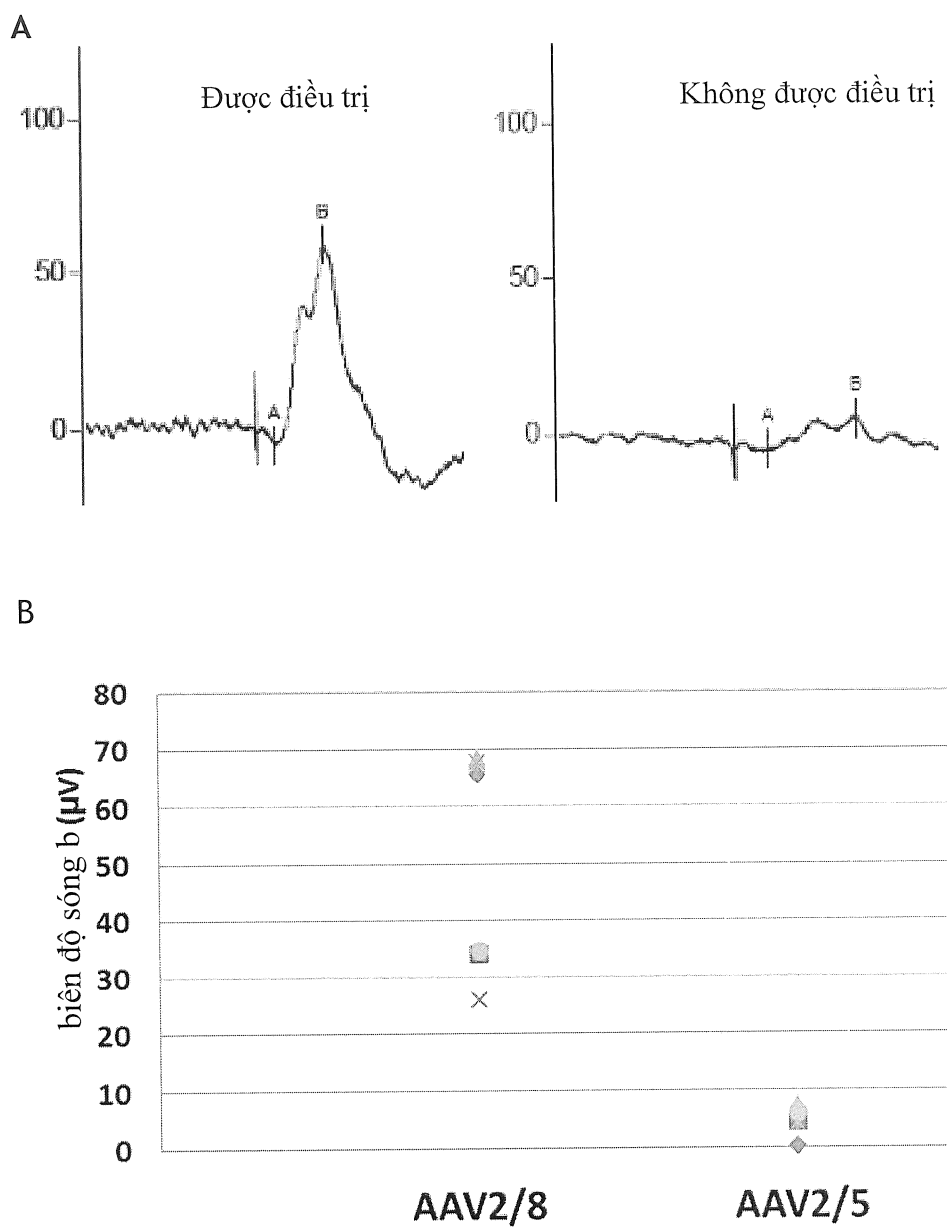


Fig. 6

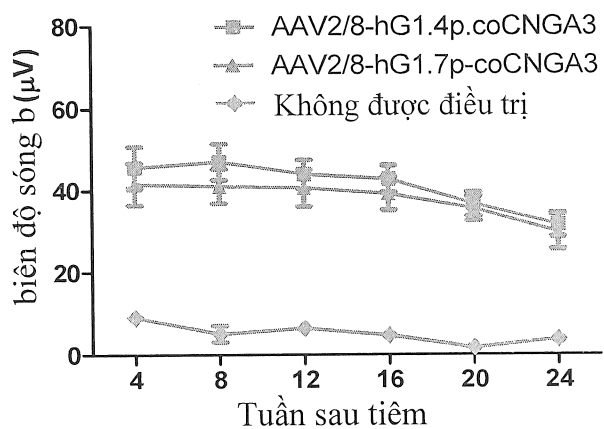


Fig. 7

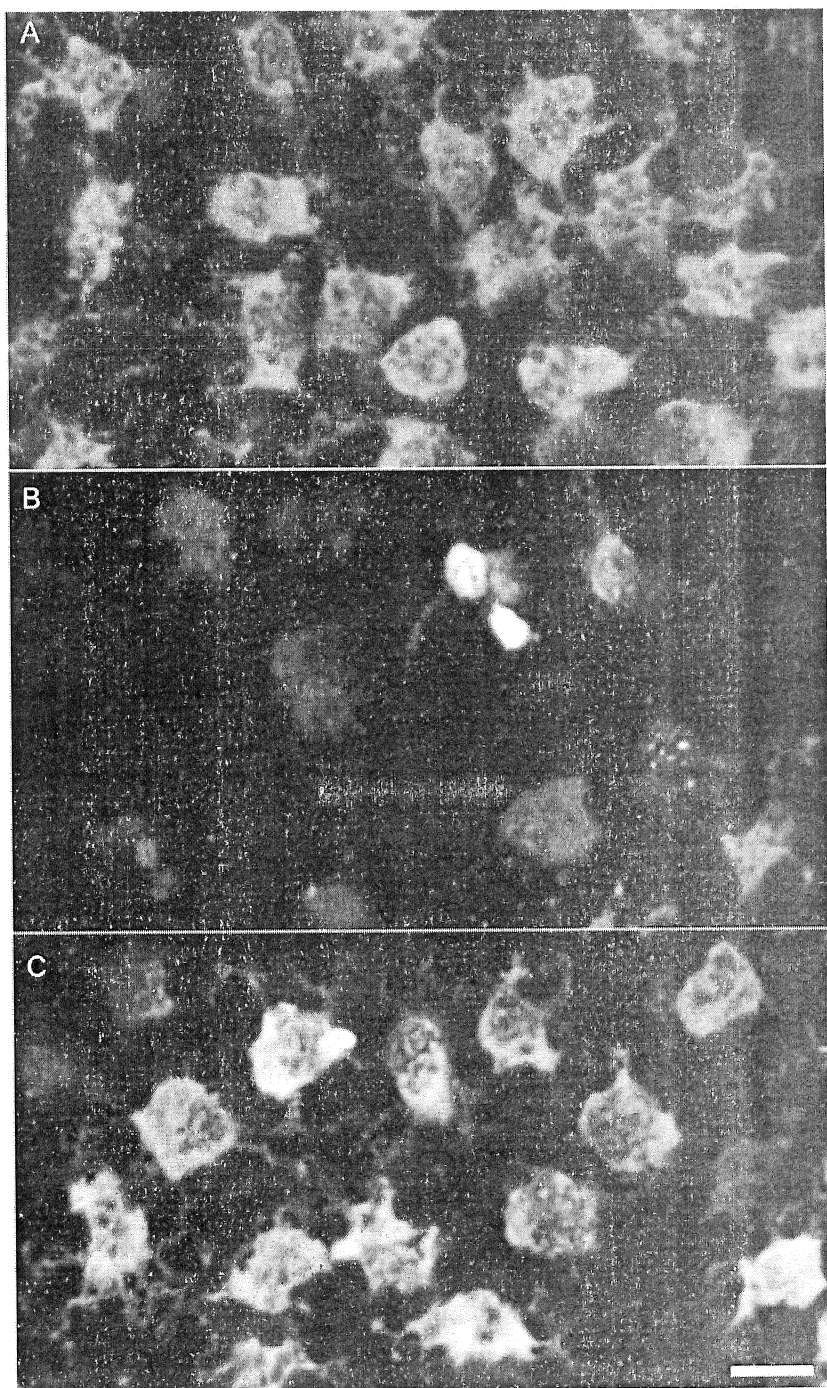


Fig. 8

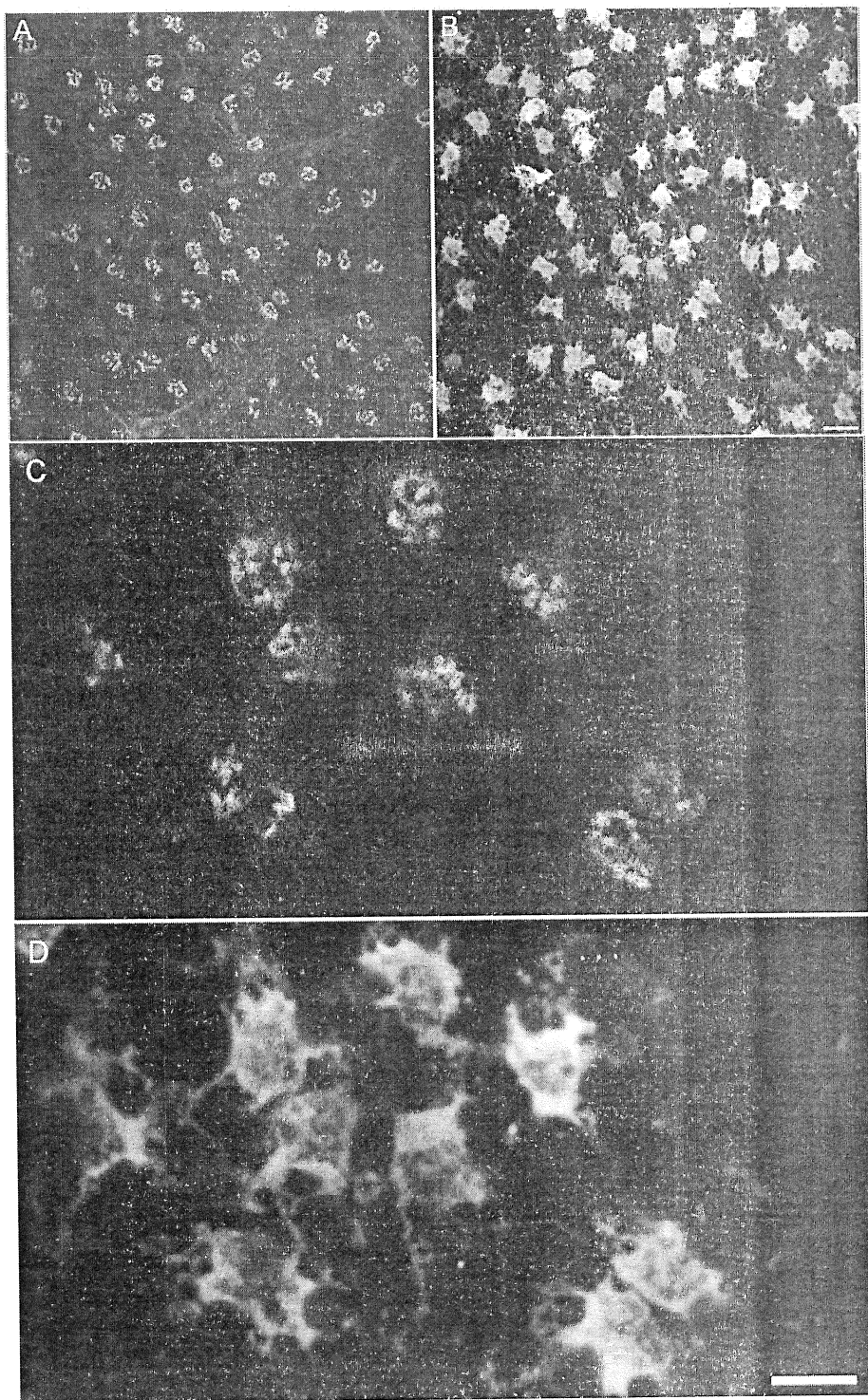
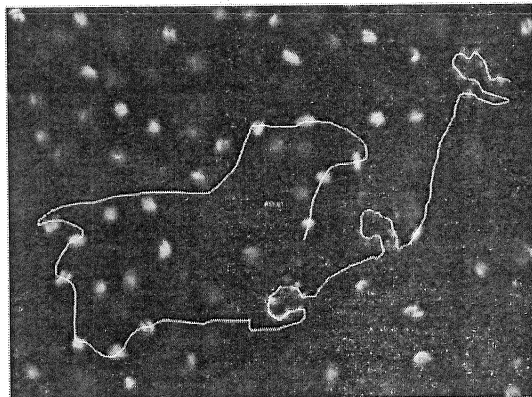
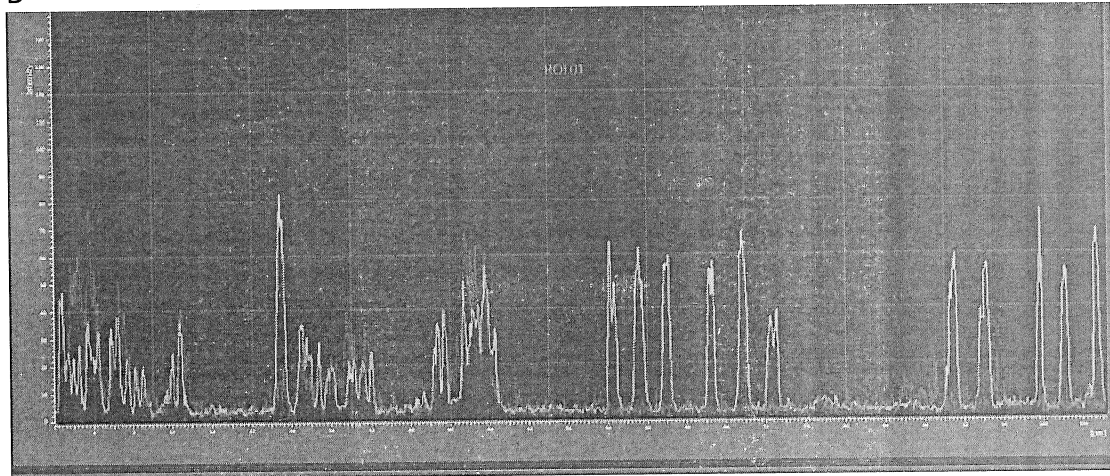


Fig. 9

A



B



C

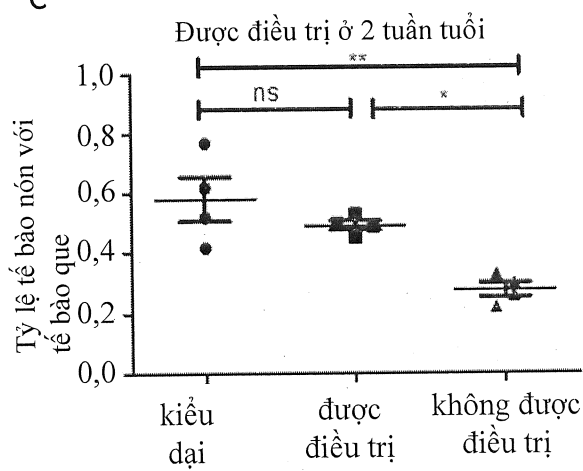
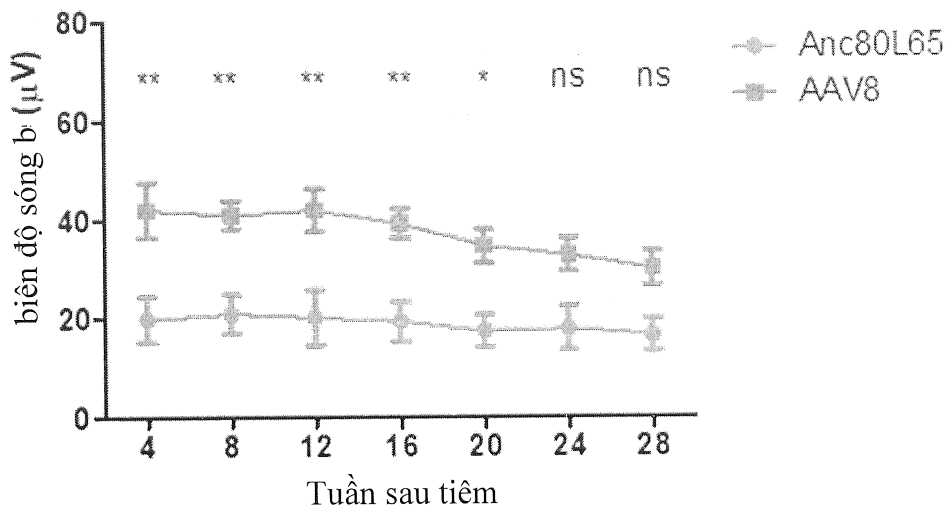


Fig. 10

A

Anc80L65 với AAV8

B

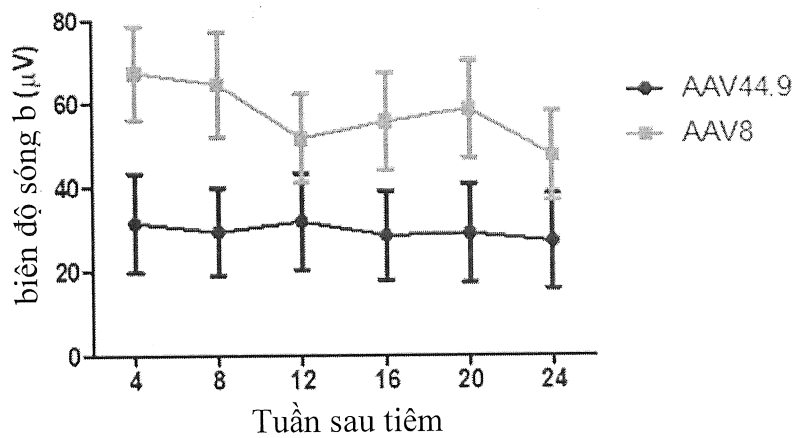
AAV44.9 với AAV8

Fig. 11

C

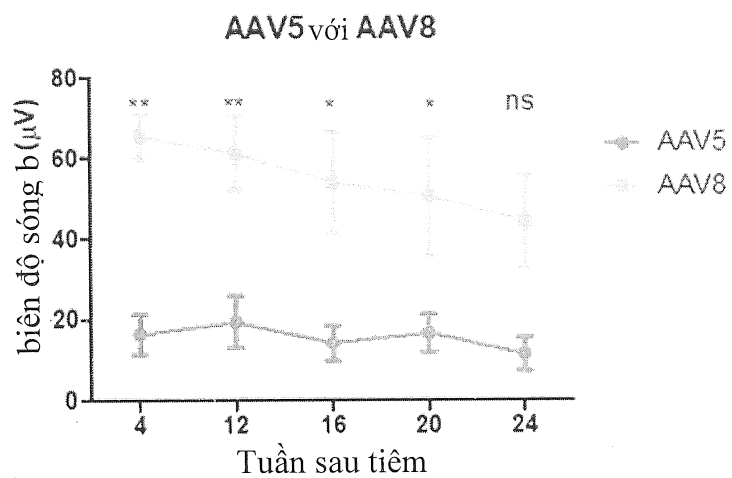
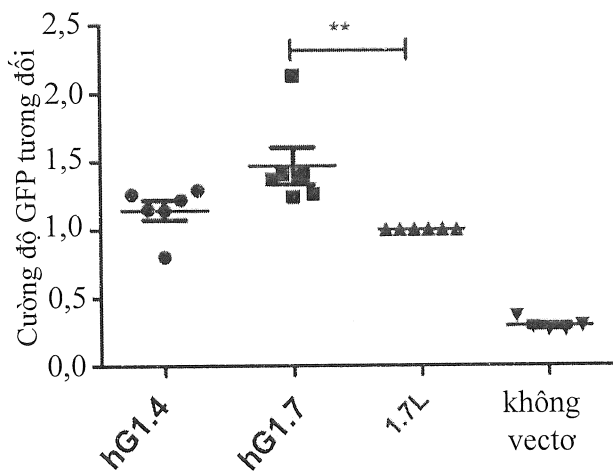


Fig. 11 (tiếp)

A

Cường độ huỳnh quang trung bình của tế bào dương GFP



B

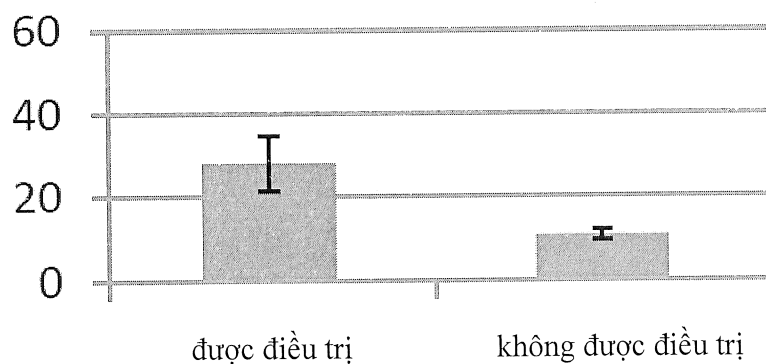


Fig. 12

DANH MỤC TRÌNH TỰ

<110> UCL BUSINESS PLC.

<120> ĐƠN VỊ KIỂM SOÁT PHIÊN MÃ (TCU), VECTƠ CHÚA NÓ VÀ ĐƯỢC PHẨM CHÚA VECTƠ NÀY

<130> N409521WO

<150> GB 1800546.2

<151> 2018-01-12

<160> 17

<170> PatentIn version 3.5

<210> 1

<211> 1253

<212> ADN

<213> Trình tự nhân tạo

<220>

<223> mảnh 1,2 kb của vùng kiểm soát quỹ tích (LCR) M/L opsin

<400> 1

taggaataga agggtgtggtg caggaggctg aggggtgggg aaagggcatt ggtgtttcat
60

gaggacagag ctcccggttc atgcaatgaa aagagtttgg agacggatgg tggtgactgg
120

actatacact tacacacggt agcgatggta cactttgtat tatgtatatt ttaccacat
180

ctttttaaag tgtcaaaggc aaatggccaa atggttcctt gtccatatgc tgttagcagcc
240

atcggctgtt agtgacaaag cccctgagtc aagatgacag cagccccat aactcctaatt
300

cggctctccc gcgtggagtc atttaggagt agtcgcatta gagacaagtc caacatctaa
360

tcttccaccc tggccagggc cccagctggc agcgagggtg ggagactccg ggcagagcag
420

agggcgctga cattggggcc cggcctggct tgggtccctc tggcctttcc ccaggggcc
480

tctttccttg gggctttctt gggccgccac tgctcccgt cctctcccc catcccaccc
540

cctcacccccc tcgttcttca tattccttc tagtgctccc tccactttca tccacccttc
600

tgcaagagtg tgggaccaca aatgagttt cacctggcct gggacacac gtgccccac
660

aggtgctgag tgactttcta ggacagtaat ctgctttagg ctaaaatggg acttgatctt
 720
 ctgttagccc taatcatcaa ttagcagagc cggtgaaggt gcagaaccta ccgccttcc
 780
 aggccctcctc ccacccctgc cacctccact ctccttcctg ggtatgtgggg gctggcacac
 840
 gtgtggccca gggcattggt gggattgcac tgagctgggt cattagcgta atcctggaca
 900
 agggcagaca gggcgagcgg agggccagct ccggggctca ggcaaggctg ggggcttccc
 960
 ccagacaccc cactcctcct ctgctggacc cccacttcat agggcacttc gtgttctcaa
 1020
 agggcttcca aatagcatgg tggccttggta tgcccaaggaa agcctcagag ttgcttatct
 1080
 ccctctagac agaaggggaa tctcggtcaa gagggagagg tcgcctgtt caaggccacc
 1140
 cagccagctc atggcggtaa tgggacaagg ctggccagcc atcccaccct cagaaggac
 1200
 ccgggtggggc aggtgatctc agaggaggct cacttctggg tctcacattc ttg
 1253

<210> 2
 <211> 1970
 <212> ADN
 <213> Trình tự nhân tạo

<220>
 <223> mảnh gen khởi động 2,0 kb M opsin, không có trình tự M8
 <400> 2
 taaaaagcaa gtcttgccag ggcagtggtg tgcacctgtg gtcccaagcta ctcaggatgc
 60
 tgaggcagga ggattacttg tgcccaagcaa gtagaggctg cagtgacctg tgactgtgct
 120
 actgccctcc aacctgggtg acagagttag accttgtctc aaaaaaaaaa gagcgggggg
 180
 gggggccgg gcccggcgtg gtggctcaca gctgtaatcc cagcaatttg ggaagccaag
 240
 gcgggtggat cacttgaggt caggagtttgc agaccatcat ggtcaacact gcgaaacact
 300
 gtccctacta aaaataaaaaa aattagccgg gcatggtggc acacacctgt aatcccagct
 360

actggggagg ctgaggcagg agaattgctt gagccgggga gacggaggtt gcagtgagcc
 420
 gagactgcgc cactgcactc cagcctgact gacaagagtg agattgtctc aaaaaaaaaaa
 480
 aaaaagtaat cactagaaaa gaagctacat atgtacataa catccaaata accaagagga
 540
 gaaaaaaaaatg ggacttgatt aatcaaaaca aaaacaaaaa agaaagaaag aaagggggag
 600
 aaaataaaac aagggctggg tgtgctggct catgcctgta atcccagcac tttggaagcc
 660
 aaggtgggtg gatctcttga gctcaggagg tcaagaccag cctggcaac atggcgaaac
 720
 cccgtctcta ttaaaaaaaaa aattaataca acaattatcc tggagtggtg gtgcacacct
 780
 gtagtcccag ctacccagga cgctgagacg ggaggatcgc ttgatcccgg ggtatgtcgag
 840
 gctgccgtga tcgcaccact gccctccagc cagggtggca gactgagacc ccattctcaa
 900
 aaataaataa ataaaaagcaa acaagaaaaa aaaaggcttggaa acatatatct gatagataaa
 960
 gggctaatac acacaatata taaagaactg caaatcagta aactaagagc aaataaccca
 1020
 atataaagac attaaagggt agccacggac atctcagacg acgaaaaaca aaagacagta
 1080
 aacgtataat aaaacatgtt attgcaaggt gatccggaa tagtaagcga aaagcaacaa
 1140
 ttaaatacta ttttctcatc caccagaacg ccaaaaattha aaaaaggctaa caatgtccag
 1200
 ggctggcgag aatgtggcag aaggtgatgt cacataaccct gcaagtggga atctaaacag
 1260
 attcagggtt ttggtttttt ttaatcgca attaggtggc ctgttaaatt ttttttcttg
 1320
 agacagagtt ttgcttttgt tgcccaggct ggagtgcattt ggctcgatct tggctcaccg
 1380
 caacctcgac ctcccaggta caagcgattc tcctgtctca gcctcccaag tagctggag
 1440
 tacaggttatt tgccactaag cccagctaat tgtttttat ttagtagaaa cggggtttca
 1500

ccatgttagt caggctggc gggaaactcct gacccagga gatctacccg cttggcctc
1560

ccaaagtgc gggattacag gcgtgtgcc a ctgtgcccag ccacttttt ttagacagag
1620

tcttggtctg ttgcccaggc tagagttcag tggcgccatc tcagctcact gcaacacctcg
1680

cctcccagat tcaagcgatt ctccctgcctc gaccccccag tagctggat tacaggttc
1740

cagcaaatcc ctctgagccg cccccggggg ctcgcctcag gagcaaggaa gcaaggggtg
1800

ggaggaggag gtctaagtcc caggccaat taagagatca gatggttag gatttggag
1860

cttttaaggt gaagaggccc gggctgatcc cactggccgg tataaagcac cgtgaccctc
1920

agtgacgca ccagggccgg ctgccgtcgg ggacagggtt ttccatagcc
1970

<210> 3

<211> 529

<212> ADN

<213> Trình tự nhân tạo

<220>

<223> mảnh 500 bp M opsin, có đột biến M8

<400> 3

acaggtattt gccactaagc ccagctaatt gtttttatt tagtagaaac ggggtttcac
60

catgttagtc aggctggcgg ggaactcctg acctcaggag atctacccgc cttggcctcc
120

caaagtgcg ggattacagg cgtgtgccac tgtgcccagc cacttttt tagacagagt
180

cttggtctgt tgcccaggct agagttcagt ggcgcctatct cagctcactg caacacctcg
240

ctcccaaggatt caagcgattc tcctgcctcg acctcccagg agctggattt acaggtttcc
300

agcaaatccc tctgagccgc cccccggggc tcgcctcagg agcaaggaag caaggggtgg
360

gaggaggagg tctaagtccc aggcccaatt aagagatcag atggtgttagg atttggagc
420

ttttaaggtg aagaggcccg ggctgatccc actggccggat ataaagcacc gtgaccctca
480

ggtgacgcac catctagagc tgccgtcggt gacagggtt tccatagcc
529

<210> 4
<211> 1782
<212> ADN
<213> Trình tự nhân tạo

<220>
<223> biến thể của cấu trúc hG1.7, mảnh LCR 1,2 kb M/L opsin, mảnh 500 bp M opsin, có đột biến M8

<400> 4
taggaataga aggggtgggtg caggaggctg aggggtgggg aaagggcatg ggtgtttcat
60

gaggacagag cttccgttcc atgcaatgaa aagagtttg agacggatgg tggtgactgg
120

actatacact tacacacggt agcgatggta cacttgtat tatgtatatt ttaccacgat
180

ctttttaaag tgtcaaaggc aaatggccaa atggttcctt gtcctatagc tgttagcagcc
240

atcggctgtt agtgacaaag cccctgagtc aagatgacag cagccccat aactcctaatt
300

cggctctccc gcgtggagtc atttaggagt agtcgcatta gagacaagtc caacatctaa
360

tcttccaccc tggccagggc cccagctggc agcgagggtg ggagactccg ggcagagcag
420

agggcgctga cattggggcc cggcctggct tgggtccctc tggccttcc ccaggggcc
480

tcttccttg gggcttctt gggccgccac tgctcccgat cctctcccc catccaccc
540

cctcacccccc tcgttcttca tattccttctc tagtgctccc tccactttca tccacccttc
600

tgcaagagtg tgggaccaca aatgagttt cacctggct gggacacac gtgccccac
660

aggtgctgag tgactttctt ggacagtaat ctgctttagg ctaaatggg acttgatctt
720

ctgttagccc taatcatcaa ttagcagagc cggtgaaggt gcagaaccta ccgccttcc
780

aggcctcctc ccacactgc cacctccact ctcccttcctg ggatgtgggg gctggcacac
840

gtgtggccca gggcattgggt gggattgcac tgagctgggt cattagcgta atcctggaca
900

agggcagaca gggcgagcgg agggccagct ccggggctca ggcaaggctg ggggcttccc
 960
 ccagacaccc cactcctcct ctgctggacc cccacttcat agggcacttc gtgttctcaa
 1020
 agggcttcca aatagcatgg tggccttgg tgcccaggaa agcctcagag ttgcttatct
 1080
 ccctctagac agaagggaa tctcggtcaa gagggagagg tcgcctgtt caaggccacc
 1140
 cagccagctc atggcgtaa tggacaagg ctggccagcc atcccacctt cagaaggac
 1200
 ccggtggggc aggtgatctc agaggaggct cacttctggg tctcacattc ttgacaggta
 1260
 ttgccacta agcccagcta attgtttttt atttagtaga aacggggttt caccatgtta
 1320
 gtcaggctgg tcgggaactc ctgacctcag gagatctacc cgccctggcc tcccaaagt
 1380
 ctgggattac aggctgtgc cactgtgccc agccactttt ttttagacag agtcttggtc
 1440
 tgttgc当地 ctagatgttc agtggcgcca tctcagctca ctgcaacctc cgccccc当地
 1500
 attcaagcga ttctcctgcc tcgacctccc agtagctggg attacaggtt tccagcaaat
 1560
 ccctctgagc cgccccccggg ggctcgccctc aggagcaagg aagcaagggg tgggaggagg
 1620
 aggtctaagt cccaggccca attaagagat cagatgggt aggatttggg agcttttaag
 1680
 gtgaagaggc ccgggctgat cccactggcc ggtataaagc accgtgaccc tcaggtgacg
 1740
 caccatctag agctgccgtc gggacagagg ctccatag cc
 1782

<210> 5
 <211> 247
 <212> ADN
 <213> Trình tự nhân tạo

 <220>
 <223> mảnh 200 bp M opsin, có đột biến M8

 <400> 5
 gatcgattac aggttccag caaatccctc tgagccgccc ccgggggctc gcctcaggag
 60

caaggaagca aggggtggga ggaggaggc taagtcccag gcccaattaa gagatcagat
120

ggtgttaggat ttgggagctt ttaagggtgaa gaggcccggtt ctgatccac tggccggat
180

aaagcaccgt gaccctcagg tgacgcacca tctagagctg ccgtcggggaa cagggcttc
240

catagcc
247

<210> 6

<211> 1500

<212> ADN

<213> Trình tự nhân tạo

<220>

<223> cấu trúc hG1.4: mảnh LCR 1,2 kb M/L opsin, mảnh 200bp M opsin,
có đột biến M8

<400> 6

taggaataga agggtggtg caggaggctg aggggtgggg aaagggcatg ggtgtttcat
60

gaggacagag cttccgttcc atgcaatgaa aagagtttg agacggatgg tggtgactgg
120

actatacact tacacacggc agcgatggta cactttgtat tatgtatatt ttaccacgat
180

ctttttaaag tgtcaaaggc aaatggccaa atggttcctt gtcctatagc ttagcagcc
240

atcggtgtt agtgacaaag cccctgagtc aagatgacag cagccccat aactccta
300

cggctctccc gcgtggagtc atttaggagt agtcgcatta gagacaagtc caacatctaa
360

tttccaccc tggccagggc cccagctggc agcgagggtg ggagactccg ggcagagcag
420

aggcgctga cattggggcc cggcctggct tgggtccctc tggcctttcc ccaggggcc
480

tcttccttg gggcttctt gggccgccac tgctcccgct cctatcccc catcccaccc
540

cctcaccccc tcgttcttca tattccttctc tagtgctccc tccactttca tccacccttc
600

tgcaagagtg tgggaccaca aatgagttt cacctggctt gggacacac gtgcccccac
660

aggtgctgag tgactttcta ggacagtaat ctgctttagg ctaaaatggg acttgatctt
 720
 ctgttagccc taatcatcaa ttagcagagc cggtgaaggt gcagaaccta ccgccttcc
 780
 aggccctcctc ccacccctgc cacctccact ctccttcctg ggtatgtgggg gctggcacac
 840
 gtgtggccca gggcattggc gggattgcac tgagctgggt cattagcgta atcctggaca
 900
 agggcagaca gggcgagcgg agggccagct ccggggctca ggcaaggctg ggggcttccc
 960
 ccagacaccc cactcctcct ctgctggacc cccacttcat agggcacttc gtgttctcaa
 1020
 agggcttcca aatagcatgg tggccttggc tgcccaaggaa agcctcagag ttgcttatct
 1080
 ccctctagac agaaggggaa tctcggtcaa gagggagagg tcgcctgtt caaggccacc
 1140
 cagccagctc atggcggtaa tgggacaagg ctggccagcc atcccaccct cagaagggac
 1200
 ccgggtgggc aggtgatctc agaggaggct cacttctggg tctcacattc ttggatcgat
 1260
 tacaggttcc cagcaaattcc ctctgagccg cccccggggg ctgcctcag gagcaaggaa
 1320
 gcaaggggtg ggaggaggag gtctaagtcc caggccaat taagagatca gatggtgttag
 1380
 gatttgggag cttaaggt gaagaggccc gggctgatcc cactggccgg tataaagcac
 1440
 cgtgaccctc aggtgacgca ccatctagag ctgccgtcgg ggacaggct ttccatagcc
 1500

<210> 7
 <211> 2085
 <212> ADN
 <213> Trình tự nhân tạo

 <220>
 <223> CNGA3 cADN tối ưu hóa không codon

 <400> 7
 atggccaaga tcaacaccca atactccac ccctccagga cccacctcaa ggtaaagacc
 60
 tcagaccgag atctcaatcg cgctgaaaat ggcctcagca gagcccactc gtcaagttag
 120

gagacatcg cagtgtgc gcccggatc gccatggaga ccagaggact ggctgactcc
 180
 gggcaggc cttcacccgg ccagggatc gccaggctgt cgccctcat cttcttgctg
 240
 cgcaagggtgg ctgccaggca tgtgcaccac caggaccagg gaccggactc ttttctgtat
 300
 cgtttccgtg gagccgagct taaggaggtg tccagccaag aaagcaatgc ccaggcaaat
 360
 gtggcagcc aggagccagc agacagaggg agaagcgcct ggccctggc caaatgcaac
 420
 actaacacca gcaacaacac ggaggaggag aagaagacga aaaagaagga tgcgatcgtg
 480
 gtggaccgtt ccagcaacct gtactaccgc tggctgaccg ccatgcct gcctgttcc
 540
 tataactggt atctgcttat ttgcagggcc ttttcgatg agctgcagtc cgagtacctg
 600
 atgctgtggc tggcctgga ctactcggca gatgtcctgt atgtcttggta tggcttgta
 660
 cgagctcgga caggtttct cgagcaaggc ttaatggtca gtgataccaa caggctgtgg
 720
 cagcattaca agacgaccac gcagttcaag ctggatgtgt tggccctggc cccaccgac
 780
 ctggcttact taaaggtggg cacaaactac ccagaagtga gttcaaccg cctactgaag
 840
 tttcccgcc tcttgaatt cttgaccgc acagagacaa ggaccaacta cccaaatatg
 900
 ttcaaggattt ggaacttggc ttgtacatt ctcatcatca tccactggaa tgcctgcattc
 960
 tacttgcca tttcaagtt cattggttt gggacagact cctgggtcta cccaaacatc
 1020
 tcaatcccag agcatggcg cctctccagg aagtacattt acagtctcta ctggccacc
 1080
 ttgaccctta ccaccattgg tgagaccca cccccctgtga aagatgagga gtatctttt
 1140
 gtggtcgttag acttcttggt ggggtttctg attttgcca ccattgtggg caatgtggc
 1200
 tccatgatct cgaatatgaa tgcctcacgg gcagagttcc aggccaaat tgattccatc
 1260

aagcagtaca tgcagttccg caaggtcacc aaggacttgg agacgcgggt tatccggtgg
 1320
 tttgactacc tgtgggccaa caagaagacg gtggatgaga aggaggtgct caagagcctc
 1380
 ccagacaagc tgaaggctga gatcgccatc aacgtgcacc tggacacgct gaagaaggtt
 1440
 cgcacatcttcc aggactgtga ggcagggctg ctgggtggagc tggtgctgaa gctgcgaccc
 1500
 actgtgttca gccctgggaa ttatatctgc aagaagggag atattggaa ggagatgtac
 1560
 atcatcaacg agggcaagct ggccgtggtg gctgatgatg gggtcaccca gttcgtggc
 1620
 ctcagcgtatg gcagctactt cggggagatc agcattctga acatcaaggg gagcaagtcg
 1680
 gggAACCGCA ggacggccaa catccgcagc attggctact cagacctgtt ctgcctctca
 1740
 aaggacgatc tcatggaggc cctcaccgag taccccgaag ccaagaaggc cctggaggag
 1800
 aaaggacggc agatcctgat gaaagacaac ctgatcgatg aggagctggc cagggcgggc
 1860
 cgccggacccca aggaccttga ggagaaaatg gagcagctgg ggtcctccct ggacaccctg
 1920
 cagaccaggt ttgcacgcct cctggcttag tacaacgcca cccagatgaa gatgaagcag
 1980
 cgtctcagcc aactggaaag ccaggtgaag ggtgggtggg acaagccccct ggctgatggg
 2040
 gaagttcccg gggatgctac aaaaacagag gacaaacaac agtga
 2085

<210> 8
 <211> 2085
 <212> ADN
 <213> Trình tự nhân tạo

<220>
 <223> CNGA3 cADN tối ưu hóa codon

<400> 8
 atggcaaaaa tcaataccca gtacagccac ccctcacgaa ctcacacctgaa agtcaaaaaca
 60

agcgatagag acctgaacag agccgagaac ggcctgtcca gggcccacag ctcctctgag
 120

gaaactagtt cagtgtgca gccttggaaatc gctatggaga ccagagggct ggctgactct
 180
 ggccaaggaa gtttcacagg gcagggcatac gccaggctgt ctagactgat ttttctgctg
 240
 agagatggg ccgctaggca tgtgcaccat caggaccagg gacccgatag tttccctgac
 300
 agttcaggg gggccgaact gaaggaggc agctcccagg aatctaacgc acaggccaaat
 360
 gtgggcagtc aggagccgc tgatagagga cggccgcata ggcctctggc caagtgcac
 420
 actaataacct ctaacaatac agaggaagag aagaaaacta agaaaaagga tgccatcgta
 480
 gtcgaccctt ctagtaacct gtactatagg tggctgacag ctatcgact gccagtgttc
 540
 tacaatttgtt atctgctgat ttgcagagct tggggggact aactgcagag tgagtatctg
 600
 atgctgtggc tgggtgtggc ttactcagca gacgtgctgt atgtgctggc tggggggact
 660
 cgccgcacgaa ctgggttcct ggagcagggc ctgatggta gcgcacaccaa cagactgtgg
 720
 cagcactaca aaaccacaac tcagtttaag ctggatgtcc tggggggact gccaaccgac
 780
 ctggcctacc tggggggact cacaaactat cccgaggtgc gttcaatcg cctgctgaag
 840
 ttctctcgcc tggggggact ttgcataagg acagagacta gaaccaacta cccaaatatg
 900
 ttccgcacgaa tcagcaagtt cattggattt gggaccgaca gctgggtgtt tccaaacatt
 960
 tactttgcaaa tcagcaagtt cattggattt gggaccgaca gctgggtgtt tccaaacatt
 1020
 tccatccccg aacatggacg actgagcagg aagtacatct attcactgta ctggaggcaca
 1080
 ctgactctga ccacaattgg ggagacccccc cctccagtga aggatgaaga gtacctgttc
 1140
 gtggcgtgg actttctggc cggcgtgctg atttcgcaaa caattgtggc caatgtggc
 1200
 agtatgatct caaacatgaa tgcctcacga gctgagttcc aggctaaaat tgacagcatc
 1260

aagcagtata tgcagtttag aaaagtcact aaggatctgg agaccagagt gatccggtgg
 1320
 tttgactacc tgtggccaa caaaaagaca gtcgatgaaa aagaggtgct gaagagcctg
 1380
 cccgacaaac tgaaggcaga gattgccatc aatgtccatc tggatactct gaaaaaggta
 1440
 cgatcttcc aggactgcga agcaggactg ctggtcgagc tggtgctgaa gctgcgcct
 1500
 accgtgttta gcccaggcga ttatatctgt aaaaaggggg acattggcaa agaaatgtac
 1560
 attatcaacg aggggaagct ggctgtcgta gcagacgatg gctgaccca gttcgctcgta
 1620
 ctgagcgatg gcagctattt tggggaaatt tccatcctga atatcaaagg ctccaagtct
 1680
 gggaaaccggc gcacagctaa tattcggtcc atcggatatt ctgacctgtt ctgcctgtct
 1740
 aaggacgatc tcatggaggc actgactgaa taccccgagg ccaaaaaggc tctggaagag
 1800
 aaaggccggc agatcctgat gaaggataac ctgattgacg aagagctggc acgagctgg
 1860
 gcagacccta aagatctgga agagaaggtg gagcagctgg gatcaagcct ggataccctg
 1920
 cagacacgct tcgctcgact gctggcagaa tacaatgcca cccagatgaa aatgaagcag
 1980
 cgcctgagtc agctggagtc acaggtgaaa ggccggagggg acaagccccct ggcagatgg
 2040
 gaagtcctg gcgacgctac aaaaacagaa gataaacagc agtaa
 2085

<210> 9
 <211> 2577
 <212> ADN
 <213> Trình tự nhân tạo

 <220>
 <223> PDE6C cADN, NM_006204.3

 <400> 9
 atgggtgaga tcaaccaagt tgccgtggag aaataacctgg aggagaaccc tcagttgcc
 60
 aaggagtact ttgacaggaa gttgcgggtg gaggtgctgg gagaatctt caagaacagc
 120

caggtgccag tccagtccag catgtccttc tctgagctga cccaggtgga ggagtcagcc
 180
 ctgtgcttgg agctgctgtg gaccgtgcag gaggaggggg gcaccccaga gcagggggtt
 240
 cacagggccc tgcagaggct ggcccacctg ctccaggctg accgctgcag catgttcctg
 300
 tgccggtccc ggaacggcat acctgaggtg gcctctaggt tgctggatgt cacccccacc
 360
 tccaagtttg aggacaacct ggtggccct gacaaagaag ttgtgtttcc attggacatt
 420
 gggatagtgg gttgggctgc tcacacgaag aaaactcata atgtcccaga tgtaaaaaag
 480
 aacagccatt tttctgactt catggacaag caaactgggt atgtcactaa gaacctgctg
 540
 gcaaccccgaa tcgtggtggg caaggaggtt cttgctgtga tcatggcagt taacaaagta
 600
 aatgcatctg aatttccaa acaggatgaa gaggtctttt ccaaataacct caactttgtg
 660
 tctatcatcc taaggcttca tcacaccagc tacatgtaca atattgaatc ccgaagaagc
 720
 cagatcctta tgtggtcagc caataaagta tttgaagaac tcacagatgt tgagcgacag
 780
 ttccacaaag cgctctacac ggttagatca tatctgaact gtgaacgata ctccattgga
 840
 ctgctggaca tgaccaagga gaaggaattc tacgatgaat ggccaatcaa gcttggagaa
 900
 gtagagcctt ataaaagggtcc aaagacacct gatggcaggg aagtcactt ttataaaatc
 960
 attgattaca ttttacatgg aaaagaagag atcaaagtga ttccgacgcc tcctgcagac
 1020
 cactggacac tcattagtgg gttgccaaca tatgttgctg aaaatggatt tatctgtaac
 1080
 atgatgaatg cccctgcgga tgaatacttc acatttcaga aaggacctgt agacgaaact
 1140
 ggttgggtca ttaagaatgt tttgtccctg cctattgtca acaagaaaaga agatattgtg
 1200
 ggagtggcta cattttacaa caggaaggat ggaaaacctt tcgatgagca tgatgaatac
 1260

attaccgaga ctctcacaca atttcttgg a ggtctcttt taaatactga cacctacat
 1320
 aagatgaata agctagaaaa cagaaaggac attgctcagg aaatgctcat gaaccaaacc
 1380
 aaagccactc ctgaagaaat taagtccatt ttgaaatttc aagagaagtt aaatgttgat
 1440
 gtaattgacg actgtgaaga aaaacaactt gttgcaattt tgaaagagga cttgccagac
 1500
 ccacgctcag cagaactgta cgaattccgc ttcagtgact tcccccttac agagcacgga
 1560
 ttgattaaat gtggaatacg actgtttttt gaaataaaatg tggggagaa attcaaagta
 1620
 cctgttagagg ttcttaccag atggatgtac actgtgagga aagggtaccg agctgtcact
 1680
 taccacaatt ggccgcattgg gttcaacgtg gggcagacca tgtttacttt gctgatgaca
 1740
 ggaagattaa agaagtacta cacagatctc gaagccttgc ccatgcttgc tgctgcttgc
 1800
 tgccatgata ttgaccacag aggaccaat aatttgcattt agatgaaatc cacgtctcca
 1860
 ttagcaagac ttcatggttc ttctatttt gggaggcacc acctggagta cagtaagact
 1920
 ctgttgcagg atgagagttt aaacatcttc cagaacctaa ataagcggca gtttgaaca
 1980
 gttattcatt tgttcgaggt cgcaataata gcaactgacc tggcttata tttcaagaag
 2040
 aggaccatgt ttcaaaaaat tggatgcc tgtgaacaaa tgcaaacgga agaagaagcc
 2100
 atcaaatatg taactgttga tccaaaccaag aaagagatta tcattggcaat gatgatgacg
 2160
 gcatgtgact tgtctgctat taccaagccc tggggaggtgc aaagtcaggt agcacttatg
 2220
 gttgcaaatg aattttggaa acaaggagat ctggagagaa cagtgttgca gcaacaaccc
 2280
 attcctatga tggacagaaaa caaaagagat gaattaccta aacttcaagt tggatttatt
 2340
 gattttggtt gtactttgt atataaggag ttctcacggt ttcacaaaga aatcacacac
 2400

atgctgagtg gtcttcagaa taacagagta gaatggaaat cactagctga tgagtatgtat
2460

gcaaagatga aggtcattga agaggaggca aaaaagcaag aaggaggagc cgaaaaagct
2520

gctgaagatt caggaggtgg tcatgacaaa aagtccaaaa catgttaat gttgtaa
2577

<210> 10

<211> 252

<212> ADN

<213> Trình tự nhân tạo

<220>

<223> PDE6H cADN, NM_006205.2

<400> 10

atgagtgaca acactactct gcctgctcca gcttcaaacc agggtcctac caccccacgc
60

aaaggccctc ccaagttcaa gcagaggcag actcgccaat tcaagagtaa acctccaaag
120

aaaggtgtga aaggatttgg agatgacatt ccaggaatgg aggggctagg aacagatatc
180

acagtgattt gtccatggga ggcattcagc cacctggaat tgcattgact cgctcagttt
240

gggatttatct ga

252

<210> 11

<211> 1065

<212> ADN

<213> Trình tự nhân tạo

<220>

<223> GNAT2 cADN, NM_005272.3

<400> 11

atggaaagtgc gagccagtgc tgaggacaaa gaactggcca agaggtccaa ggagctagaa
60

aagaagctgc aggaggatgc tgataaggaa gccaaagactg tcaagctgct actgctgggt
120

gctggggagt cagaaagag caccatcgac aaacagatga agatcattca ccaggatggc
180

tattcaccag aagaatgcct ggagttcaag gctatcatct atggaaatgt gctgcagtcc
240

atcctggcta tcattccgggc catgaccaca ctgggcattcg attatgctga accaagctgt
300

gcggatgacg ggcgacagct caacaacctg gctgactcca ttgaggaggg aaccatgcct
360

cctgagctcg tggaggtcat taggaggttg tggaaaggatg gtggggtgca agcctgcttc
420

gagagagctg cagaatacca gcttaatgac tccgcattt actacactgaa ccaatttagaa
480

cgaattacag accctgagta cctccctagt gagcaagatg tgctccgatc cagagtcaaa
540

accacgggca tcattgaaac caagtttcc gtcaaagact tgaatttcag gatgtttgat
600

gtggggagggc agagatccga gagaaagaag tggatccact gcttcgaggg agtcacctgc
660

atcattttct gtgcagccct cagtcctat gatatggtgc tggtggaaga tgacgaagtg
720

aatcgatgc atgagtcttt gcatctgttc aacagcatat gtaaccacaa attctttgcg
780

gctacttcca ttgtccttct tctcaacaag aaggacctct ttgagggaaaa aatcaagaaaa
840

gtccatctca gcatttgttt tccagagtat gatggtaaca actcctatga tgatgcgggg
900

aattacataa agagccagtt cttgacccctc aatatgcgaa aagatgtcaa agaaatctac
960

agtacatgc cctgtgctac agatacacag aatgtcaaattt tggtgtttga tgcagttaca
1020

gatattatca tcaaagaaaa cctcaaggac tgccgcctct tctaa
1065

<210> 12

<211> 1638

<212> ADN

<213> Trình tự nhân tạo

<220>

<223> KCNV2 cADN, NM_133497.3

<400> 12

atgctcaaac agagtgagag gagacggtcc tggagctaca ggccctggaa cacgacggag
60

aatgagggca gccaacaccg caggagcatt tgctccctgg gtgcccggttc cggctcccag
120

gccagcatcc acggctggac agagggcaac tataactact acatcgagga agacgaagac
180

ggcgaggagg aggaccagtg gaaggacgac ctggcagaag aggaccagca ggcaggggag
 240
 gtcaccaccc ccaagcccga gggccccagc gaccctccgg ccctgtgtc cacgctaat
 300
 gtgaacgtgg gtggccacag ctaccagctg gactactgctg agctggccgg cttccccaaag
 360
 acgcgcctag gtcgcctggc cacctccacc agccgcagcc gccagctaag cctgtgcac
 420
 gactacgagg agcagacaga cgaataacttc ttgcaccgctg acccgccgt cttccagctg
 480
 gtctacaatt tctacctgtc cggggtgctg ctggtgctcg acgggctgtg tccgcgcgc
 540
 ttccctggagg agctgggcta ctggggcgtg cggctcaagt acacgccacg ctgctgcgc
 600
 atctgcttcg aggagcggcg cgacgagctg agcgaacggc tcaagatcca gcacgagctg
 660
 cgcgcgcagg cgcaggctcgaa ggaggcggag gaactttcc gcgcacatgcg cttctacggc
 720
 cccgcaggcgc gcccctctg gaacctcatg gagaagccat ttcctcggt ggccgccaag
 780
 gccatcgaaaa tggcctccag cacttcgtg ctctgttccg tggggcgct ggccgtcaac
 840
 accgtggagg agatgcagca gcactcgaaa cagggcgagg gcggccaga cctgcggccc
 900
 atcctggagc acgtggagat gctgtcatg ggcttcttca cgctcgagta cctgctgcgc
 960
 ctagcctcca cgcggcacct gagggcgcttc gcgcgcagcg ccctcaacct ggtggacctg
 1020
 gtggccatcc tgccgctcta ctttcagctg ctgctcgagt gttcacggg cgagggccac
 1080
 caacgcggcc agacgggtgg cagcgtgggt aaggtgggtc aggtgttgct cgtcatgcgc
 1140
 ctcatgcgca tcttcgcat cctcaagctg ggcgcacact ccaccggact gcgtgccttc
 1200
 ggcttcacgc tgcgcctgtc ctaccagcg gtgggctgcc tgctgttctt catgcctatc
 1260
 ggcattttca ctttctctgc ggctgtctac tctgtggagc acgatgtgcc cagcaccaac
 1320

ttcactacca tccccactc ctggtgtgg gccgcggta gcatctccac cgtgggctac
1380

ggagacatgt acccagagac ccacctggc aggtttttg cttcctctg cattgcttt
1440

gggatcattc tcaacggat gcccattcc atcctctaca acaagtttc tgattactac
1500

agcaagctga aggcttatga gtataccacc atacgcaggg agaggggaga ggtgaacctc
1560

atgcagagag ccagaaagaa gatagcttag tggggcttg gaagcaaccc acagctcacc
1620

ccaagacaag agaattag
1638

<210> 13

<211> 3414

<212> ADN

<213> Trình tự nhân tạo

<220>

<223> CACNA2D4 cADN, NM_172364.4

<400> 13

atggctgtg gctgctctgc ctccttccc ctccccaaacc ccaggccac catgcctgca
60

actccccact tcctcgaaa ccccaagctcc agcagccgct ggattccct ccagccaatg
120

cccggtggcct gggccttgc gcagaagacc tcggccctcc tgtggctgct gcttcttaggc
180

acctccctgt cccctgcgtg gggacaggcc aagattcctc tggaaacagt gaagctatgg
240

gctgacacct tcggggggaa cctgtataac actgtgacca aataactcagg ctctctcttg
300

ctgcagaaga agtacaagga tgtggagtcc agtctgaaga tcgaggaggt ggatggcttg
360

gagctggta ggaagttctc agaggacatg gagaacatgc tgcggaggaa agtcgaggcg
420

gtccagaatc tgggtggaaagc tgccgaggag gccgacctga accacgaatt caatgaatcc
480

ctgggtttcg actattacaa ctgggtcctg atcaacgaga gggacgagaa gggcaacttc
540

gtggagctgg gcgccgagtt ctcctggag tccaatgctc acttcagcaa ctcgggtg
600

aacacctcca tcagcagcgt gcagctgcc accaacgtgt acaacaaaga cccagatatt
660
ttaaatggag tctacatgtc tgaagccttg aatgctgtct tcgtggagaa cttccagaga
720
gacccaacgt tgacctggca atatttggc agtgcactg gattcttcag gatctatcca
780
ggtataaaaat ggacacctga tgagaatgga gtcattactt ttgactgccc aaaccgcggc
840
tggcacattc aagctgctac ttctcccaag gacatagtga ttttggtgga cgtgagcggc
900
agtatgaagg ggctgaggat gactattgcc aagcacacca tcaccaccat cttggacacc
960
ctgggggaga atgacttcat taatatcata gcgtacaatg actacgtcca ttacatcgag
1020
ccttgtttta aaggatcct cgccaggcg gaccgagaca atcgagagca tttcaaactg
1080
ctggtgagg agttgatggt caaagggtgtg ggggtcgtgg accaagccct gagagaagcc
1140
ttccagatcc tgaagcagtt ccaagaggcc aagcaaggaa gcctctgcaa ccaggccatc
1200
atgctcatca gcgacggcgc cgtggaggac tacgagccgg tgtttgagaa gtataactgg
1260
ccagactgta aggtccgagt tttcacttac ctcattggga gagaagtgtc ttttgctgac
1320
cgcatgaagt ggattgcatg caacaacaaa ggctactaca cgcatctc aacgctggcg
1380
gacaccagg agaacgtgat ggaatacctg cacgtgctca gccgccccat ggtcatcaac
1440
cacgaccacg acatcatctg gacagaggcc tacatggaca gcaagctcct cagctcgcag
1500
gctcagagcc tgacactgct caccactgtg gccatgccag tcttcagcaa gaagaacgaa
1560
acgcgatccc atggcattct cctgggtgtg gtgggctcag atgtggccct gagagagctg
1620
atgaagctgg cgccccggta caagcttggaa gtgcacggat acgcctttct gaacaccaac
1680
aatggctaca tcctctccca tcccgacctc cggccctgt acagagaggg gaagaaacta
1740

aaacccaaac ctaactaca cagtgtggat ctctccgaag tggagtggaa agaccaggct
1800
gaatctctga gaacagccat gatcaatagg gaaacaggta ctctctcgat ggatgtgaag
1860
gttccgatgg ataaaggaa gcgagttctt ttctctgacca atgactactt cttcacggac
1920
atcagcgaca cccctttcag tttgggggtg gtgctgtccc gggccacgg agaatacatc
1980
cttctggggaa acacgtctgt ggaagaaggc ctgcattgact tgcttcaccc agacctggcc
2040
ctggccggtg actggatcta ctgcattcaca gatattgacc cagaccacccg gaagctcagc
2100
cagctagagg ccatgatccg cttcctcacc aggaaggacc cagacctgga gtgtgacgag
2160
gagctgggcc gggaggtgct gtttgcgcg gtgggtacag cccccatgga agcctactgg
2220
acagcgctgg ccctcaacat gtccgaggag tctgaacacg tggtgacat ggccttcctg
2280
ggcacccggg ctggcctcct gagaagcagc ttgttcgtgg gctccgagaa ggtctccgac
2340
aggaagttcc tgacacctga ggacgaggcc agcgtgttca ccctggaccc cttcccgatc
2400
tggtaccgccc aggccctcaga gcattcctgct ggcagcttcg tcttcaacct ccgctggca
2460
gaaggaccag aaagtgcggg tgaacccatg gtgggtacgg caagcacacg tgtggcggtg
2520
accgtggaca agaggacacg cattgctgca gccgcggggc tccaaatgaa gctggaaattc
2580
ctccagcgca aattctgggc ggcaacgcgg cagtgcagca ctgtggatgg gccgtgcaca
2640
cagagctgca aggacagtga tctggactgc ttctgtcatcg acaacaacgg gttcatctg
2700
atctccaaga ggtcccgaga gacggaaaga tttctggggg aggtggatgg tgctgtcctg
2760
acccagctgc tcagcatggg ggtgttcagc caagtgcacta tgtatgcacta tcaggccatg
2820
tgcaaaccct cgagtcacca ccacagtgcg gcccagcccc tggcagccc aatttctgccc
2880

ttcttgacgg cgaccaggtg gctgctgcag gagctggtgc ttttcctgct ggagtggagt
 2940
 gtctggggct cctggtaga cagaggggcc gaggccaaaa gtgtcttcca tcactcccac
 3000
 aaacacaaga agcaggaccc gctgcagccc tgacacacgg agtaccccg ttcgtgtac
 3060
 cagccggcca tccgggaggc caacgggatc gtggagtgcg ggccctgcca gaaggtattt
 3120
 gtgggtcagc agattccaa cagtaacctc ctccctctgg tgacagaccc cacctgtcac
 3180
 tgcatct tccaccagt gctgcaggag gcgcacagaag tcaaataaa tgcctctgtc
 3240
 aaatgtgacc ggtatgcgctc ccagaagctc cggccggcgcac cagactcctg ccacgccttc
 3300
 catccagagg agaatgcccga ggactgcggc ggccgcctcg acacccctc ctcgcccggc
 3360
 ctactcctgc tgcctgtgtg tgcctggggg ctactgcctt aactcctgcg gtga
 3414

<210> 14
 <211> 2430
 <212> ADN
 <213> Trình tự nhân tạo

 <220>
 <223> CNGB3 cADN, NM_019098.4

 <400> 14
 atgtttaat cgctgacaaa agtcaacaag gtgaagccta taggagagaa caatgagaat
 60
 gaacaaagtt ctcgtcgaa tgaagaaggc tctcacccaa gtaatcagtc tcagcaaacc
 120
 acagcacagg aagaaaacaa aggtgaagag aaatctctca aaaccaagtc aactccagtc
 180
 acgtctgaag agccacacac caacatacaa gacaaactct ccaagaaaaa ttccctctgga
 240
 gatctgacca caaacccctga ccctcaaaat gcagcagaac caactggaac agtgcgcagag
 300
 cagaaggaaa tggaccccg gaaagaaggt ccaaacagcc cacaaaacaa accgcctgca
 360
 gtcctgtta taaatgagta tgccgatgcc cagctacaca acctggtgaa aagaatgcgt
 420

caaagaacag ccctctacaa gaaaaagttg gtagagggag atcttcctc acccgaagcc
 480
 agcccacaaa ctgcaaagcc cacggctgta ccaccagtaa aagaaagcga tgataagcca
 540
 acagaacatt actacaggct gttgtggttc aaagtcaaaa agatgcctt aacagagttac
 600
 ttaaagcgaa ttaaacttcc aaacagcata gattcataca cagatcgact ctatctcctg
 660
 tggctttgc ttgtcactct tgcctataac tggaaactgct ggtttataacc actgcgcctc
 720
 gtcttccat atcaaaccgc agacaacata cactactggc ttattgcgga catcatatgt
 780
 gatatcatct acctttatga tatgctattt atccagccca gactccagtt tgtaagagga
 840
 ggagacataa tagtgattc aaatgagcta agaaaacact acaggacttc tccaaaattt
 900
 cagttggatg tcgcatcaat aataccattt gatatttgct acctttctt tgggttaat
 960
 ccaatgttta gagcaaataag gatgttaaag tacacttcat ttttgaatt taatcatcac
 1020
 ctagagtcta taatggacaa agcatatatac tacagagtta ttcgaacaac tggataacttg
 1080
 ctgtttattc tgcacattaa tgcctgtgtt tattactggg cttcaaacta tgaaggaatt
 1140
 ggcactacta gatgggtgta tcatggggaa ggaaacgagt atctgagatg ttattattgg
 1200
 gcagttcgaa cttaattac cattggtggc ctaccagaac cacaacttt atttggaaatt
 1260
 gttttcaac tcttgaattt ttttctgga gttttgtgt tctccagttt aattggtcag
 1320
 atgagagatg tgattggagc agctacagcc aatcagaact actccgcgc ctgcatggat
 1380
 gacaccattg cctacatgaa caattactcc attcctaaac ttgtcaaaa gcgagttcgg
 1440
 acttggatg aatatacatg ggactctcaa agaatgctag atgagtctga tttgcttaag
 1500
 accctaccaa ctacggtcca gtttagccctc gccattgatg tgaacttcag catcatcagc
 1560

aaagtgcact tttcaagggg ttgtgataca cagatgattt atgacatgtt gctaagattg
1620

aaatccgttc tctatttgcc tggtgacttt gtctgaaaaa agggagaaaat tggcaaggaa
1680

atgtatatca tcaagcatgg agaagtccaa gttctggag gccctgatgg tactaaagtt
1740

ctggttactc tgaaagctgg gtcgggttt ggagaaatca gccttctagc agcaggagga
1800

ggaaaccgtc gaactgccaa tgtggtgcc cacgggttg ccaatcttt aactctagac
1860

aaaaagaccc tccaagaaat tctagtgcattatccagatt ctgaaaggat cctcatgaag
1920

aaagccagag tgctttaaa gcagaaggct aagaccgcag aagcaacccc tccaagaaaa
1980

gatcttgccc tcctcttccc accgaaagaa gagacacccca aactgtttaa aactctccta
2040

ggaggcacag gaaaagcaag tcttgcaaga ctactcaaatt tgaagcgaga gcaagcagct
2100

cagaagaaag aaaattctga aggaggagag gaagaaggaa aagaaaatga agataaaacaa
2160

aaagaaaatg aagataaaca aaaagaaaaat gaagataaag gaaaagaaaa tgaagataaa
2220

gataaaggaa gagagccaga agagaagcca ctggacagac ctgaatgtac agcaagtcct
2280

attgcagtgg aggaagaacc ccactcagtt agaaggacag ttttacccag agggacttct
2340

cgtcaatcac tcattatcag catggctcct tctgctgagg gcggagaaga gtttcttact
2400

attgaagtca aagaaaaggc taagcaataa
2430

<210> 15

<211> 1786

<212> ADN

<213> Trình tự nhân tạo

<220>

<223> cấu trúc hG1.7, mảnh LCR 1,2 kb M/L opsin, mảnh 500 bp M opsin,
có đột biến M8

<400> 15

taggaataga agggtgggtg caggaggctg aggggtgggg aaagggcatg ggtgtttcat
60

gaggacagag cttccgttcc atgcaatgaa aagagttgg agacggatgg tggtaactgg
 120

actatacact tacacacggt agcgatggta cactttgtat tatgtatatt ttaccacat
 180

cttttaaag tgtcaaaggc aaatggccaa atgggtcctt gtcctatagc tgttagcagcc
 240

atcggctgtt agtgacaaag cccctgagtc aagatgacag cagccccat aactccta
 300

cggtctccc gcgtggagtc atttaggat agtcgcatta gagacaagtc caacatctaa
 360

tcttccaccc tggccagggc cccagctggc agcgagggtg ggagactccg ggcagagcag
 420

agggcgctga cattggggcc cggcctggct tgggtccctc tggcctttcc ccaggggcc
 480

tcttccttg gggctttctt gggccggcac tgctcccgct cctctcccc catccaccc
 540

ctcacccccc tcgttctca ttccttctc tagtgctccc tccactttca tccacccctc
 600

tgcaagagtg tgggaccaca aatgagttt cacctggcct ggggacacac gtgccccac
 660

aggtgctgag tgactttcta ggacagtaat ctgctttagg ctaaaatggg acttgatctt
 720

ctgttagccc taatcatcaa ttagcagagc cggtgaaggt gcagaaccta ccgcctttcc
 780

aggccctccctc ccacctctgc cacctccact ctccttcctg ggttgtggg gctggcacac
 840

gtgtggccca gggcattggt gggattgcac tgagctgggt cattagcgta atcctggaca
 900

agggcagaca gggcgagcgg agggccagct ccggggctca ggcaaggctg ggggatccc
 960

ccagacaccc cactcctct ctgctggacc cccacttcat agggcacttc gtgttctcaa
 1020

agggcttcca aatagcatgg tggccttggaa tgcccagggaa agcctcagag ttgcttatct
 1080

ccctctagac agaaggggaa tctcggtcaa gagggagagg tcggccgtt caaggccacc
 1140

cagccagctc atggcggtaa tggacaagg ctggccagcc atcccaccc cagaaggac
 1200

ccgggtggggc aggtgatctc agaggaggct cacttctggg tctcacatcc ttggatcaca
1260

ggtatttgcc actaagccca gctaattgtt ttttatggtag tagaaacggg gtttcaccat
1320

gttagtcagg ctggtcggga actcctgacc tcaggagatc tacccgcctt ggcctccaa
1380

agtgctggga ttacaggcgt gtgccactgt gcccagccac ttttttttag acagagtctt
1440

ggtctgttgc ccaggctaga gttcagtggc gccatctcag ctcactgcaa cctccgcctc
1500

ccagattcaa gcgattctcc tgccctgacc tcccagtagc tgggattaca ggtttccagc
1560

aaatccctct gagccgcccc cgggggctcg cctcaggagc aaggaagcaa ggggtgggag
1620

gaggaggtct aagtcccagg cccaattaag agatcagatg gtgttaggatt tgggagcttt
1680

taaggtgaag aggcccgggc tgatcccact ggccggata aagcaccgtg accctcaggt
1740

gacgcaccat ctagagctgc cgtcggggac agggctttcc atagcc
1786

<210> 16

<211> 6

<212> ADN

<213> Trình tự nhân tạo

<220>

<223> đột biến M8

<400> 16

tctaga

6

<210> 17

<211> 1970

<212> ADN

<213> Trình tự nhân tạo

<220>

<223> mảnh gen khởi động 2,0 kb M opsin có đột biến M8

<400> 17

taaaaagcaa gtcttgccag ggcagtggtg tgcacctgtg gtcccagcta ctcaggatgc
60

tgaggcagga ggattacttg tgcccagcaa gtagaggctg cagtgacctg tgactgtgct
120

actgccctcc aacctgggtg acagagttag accttgtctc aaaaaaaaaa gagcgaaaaaaa
 180
 gggggggccgg gccgggcgtg gtggctcaca gctgtaatcc cagcactttg ggaagccaag
 240
 gcgggtggat cacttgaggt caggagttt agaccatcat ggtcaacact gcgaaacact
 300
 gtcctacta aaaataaaaa aattagccgg gcatggtggc acacacctgt aatcccagct
 360
 actggggagg ctgaggcagg agaattgctt gagccggggg gacggagggtt gcagttagcc
 420
 gagactgcgc cactgcactc cagcctgact gacaagagtg agattgtctc aaaaaaaaaa
 480
 aaaaagtaat cactagaaaa gaagctacat atgtacataa catccaaata accaagagga
 540
 gaaaaaaaaatg ggacttgatt aatcaaaaca aaaacaaaaa agaaagaaag aaagggggag
 600
 aaaataaaac aagggctggg tgtgctggct catgcctgta atcccagcac tttggaagcc
 660
 aaggtgggtg gatctttga gtcaggagg tcaagaccag cctggcaac atggcgaaac
 720
 cccgtctcta ttaaaaaaaaa aattaataca acaattatcc tggagtggtg gtgcacacct
 780
 gtagtcccag ctacccagga cgctgagacg ggaggatcgc ttgatcccg ggatgtcgag
 840
 gctgccgtga tcgcaccact gcccctccagc cagggtggca gactgagacc ccatctcaaa
 900
 aaataaataa ataaaagcaa acaagaaaaa aaaaggcttg aaacatatct gatagataaa
 960
 gggctaatca acacaatata taaagaactg caaatcagta aactaagagc aaataaccca
 1020
 atataaagac attaaagggt agccacggac atctcagacg acgaaaaaca aaagacagta
 1080
 aacgtataat aaaacatgta attgcaaggt gatccggaa tagtaagcga aaagcaacaa
 1140
 ttaataacta ttttctcatc caccagaacg ccaaaaatta aaaagctaa caatgtccag
 1200
 ggctggcgag aatgtggcag aaggtgatgt cacataccct gcaagtggga atctaaacag
 1260

atcagggtt ttggaaaa ttaatcgca attaggtggc ctgtaaatt tttttcttg
1320
agacagagtt ttgctcttgt tgcccaggct ggagtgcata ggctcgatct tggctcaccg
1380
caacctcgac ctcccaggtt caagcgattc tcctgtctca gcctcccaag tagctggag
1440
tacaggtatt tgccactaag cccagctaatt tgtttttat ttagtagaaa cggggttca
1500
ccatgttagt caggctggtc gggaaactcct gacctcagga gatctacccg cttggcctc
1560
ccaaagtgcgtt gggattacag gcgtgtgccatctgtgcccag ccactttttt ttagacagag
1620
tcttggtctg ttgcccaggc tagagttcag tggcgccatc tcagctcaact gcaacacctc
1680
cctcccaat tcaagcgatt ctcctgcctc gacctcccaag tagctggat tacaggttc
1740
cagcaaatcc ctctgagccg cccccggggg ctcgcctcag gagcaaggaa gcaagggttg
1800
ggaggaggag gtctaagtcc caggccaaat taagagatca gatggtgttag gatttggag
1860
cttttaaggt gaagaggccc gggctgatcc cactggccgg tataaagcac cgtgaccctc
1920
aggtgacgca ccatctagag ctgccgtcgg ggacagggtt tccatagcc
1970